



Przyspieszacze, detektory i radioaktywność w medycynie



[Sparks! Prezentacja o przyszłości detekcji i obrazowania](#)

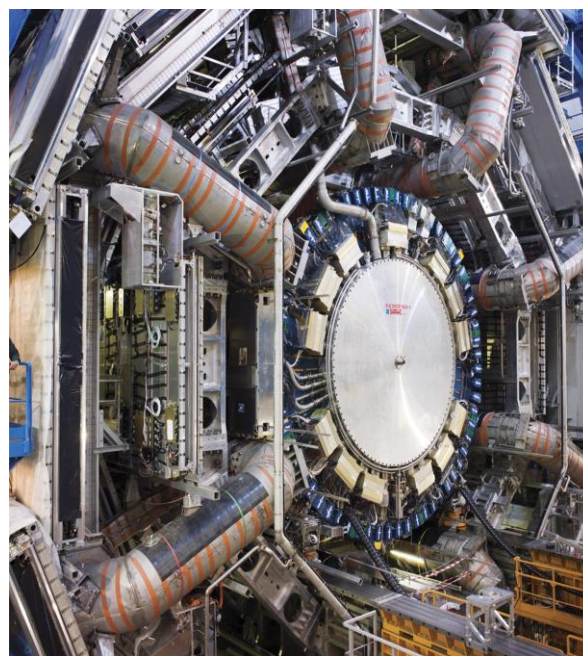
Magdalena Kowalska
CERN i Uniwersytet Genewski

Zastosowania badań podstawowych w CERN

- CERN = największe laboratorium badań podstawowych na świecie
- Zrozumienie z czego się składa i jak powstał Wszechświat, wymaga:



Przyspieszaczy



Detektorów



Promieniowania

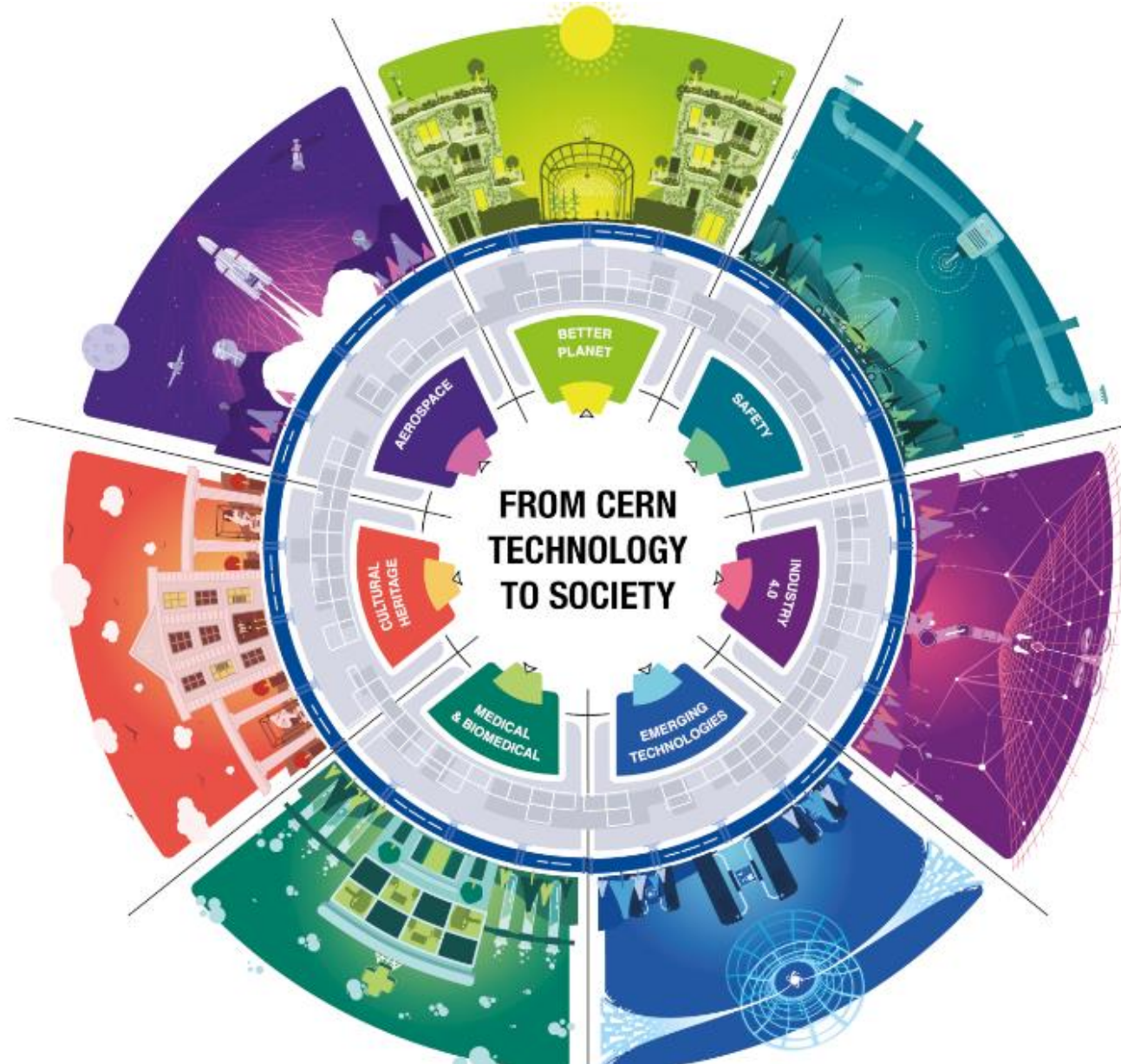
(i technik informatycznych)

Te techniki mogą zostać ,przetłumaczone' w różne przydatne technologie:

Transfer wiedzy z CERN

Dziedziny:

- Przestrzeń powietrzna i kosmiczna
- Opieka zdrowotna
- Techniki cyfrowe
- Środowisko
- Technologie kwantowe



CERN Knowledge Transfer:

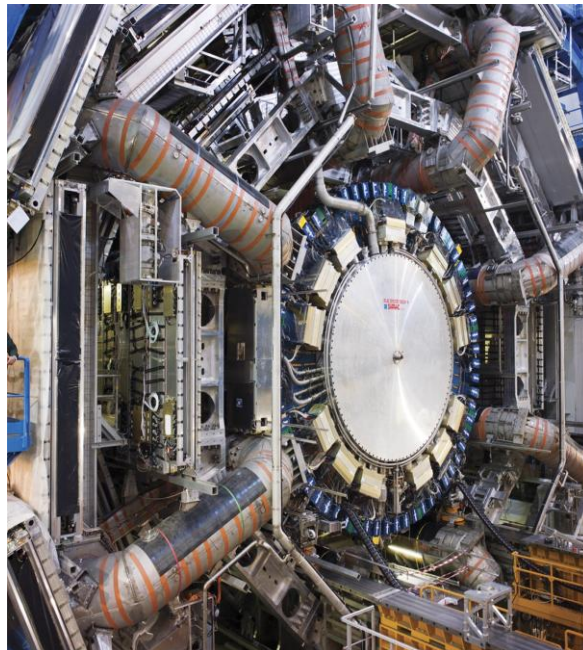
<https://kt.cern/>

Zastosowania w medycynie

- Użycie narzędzi CERN do polepszenia diagnozy i leczenia różnych chorób:



Przyspieszaczy



Detektorów

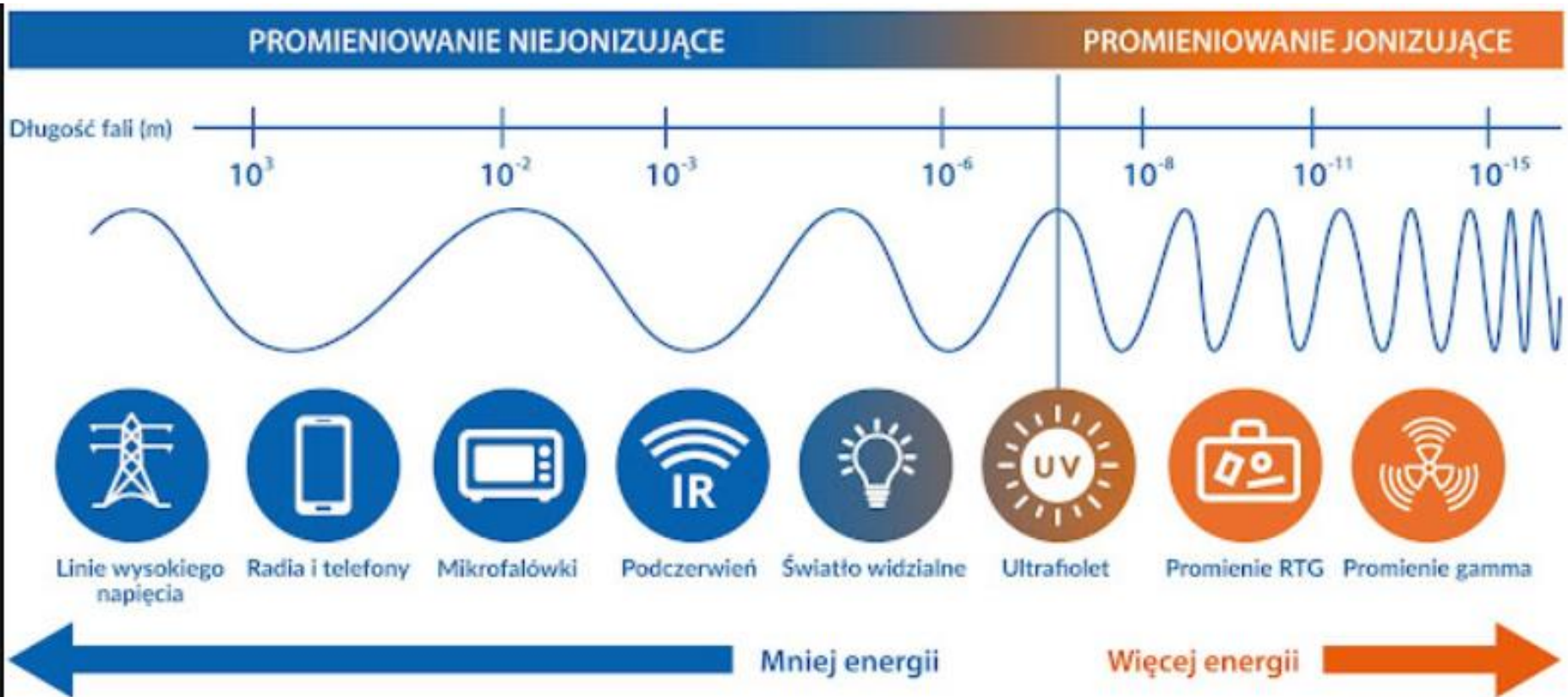


Promieniowania

- Silne strony:

- Czuła detekcja promieniowania w celach diagnostycznych
- Precyzyjne leczenie cząsteczkami i promieniowaniem

Promieniowanie jonizujące



Cząstki :

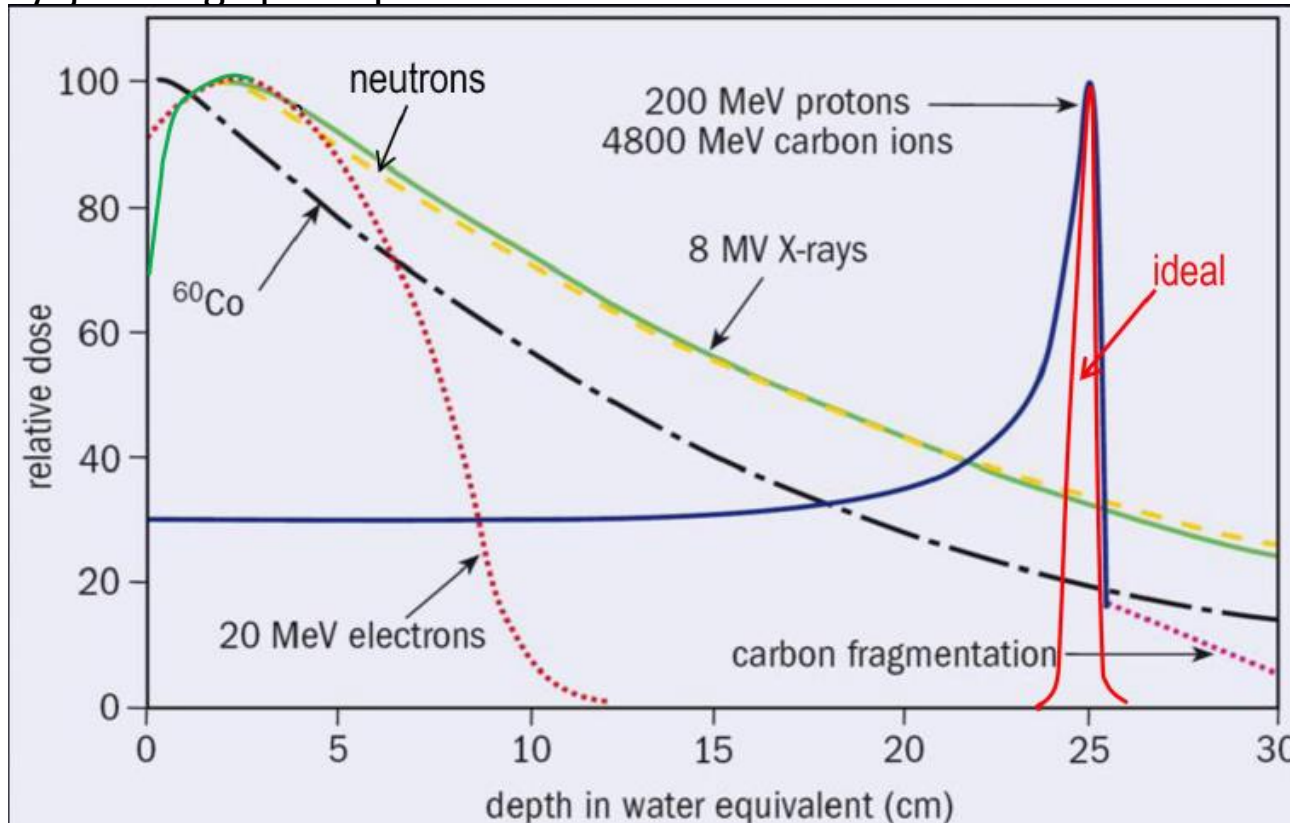
- Beta (e^- i e^+)
- Protony, neutrony, cząstki alfa
- 'ciężkie jony' (^{12}C , ^{16}O , w przyszłości może nawet niestabilny ^{11}C)



Przyspieszacz

Leczenie (raka) z wiązkami zewnętrznymi

- Depozycja energii przez promieniowanie w materii:



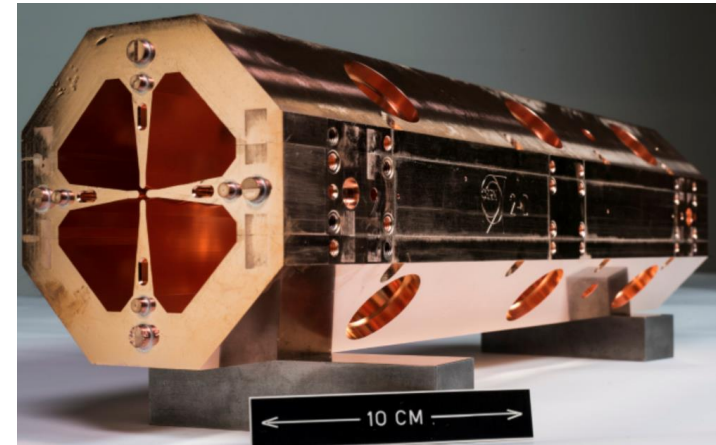
- Metoda:

- Napromienianie z kilku stron, aby zmaksymalizować dawkę w objętości, która ma zostać wyleczona
- Protony i „ciężkie jony” są najbardziej selektywne: największa dawka na końcu ścieżki cząstki

Diagnostyka i leczenie z przyspieszaczami

Przyspieszacze cząstek (z CERN):

- Produkcja izotopów PET i SPECT (cyklotrony przyszpitalne) do diagnostyki w medycynie nuklearnej
- Już używane do terapii hadronowej:
 - Leczenie raka i problemów z sercem z użyciem energetycznych wiązek protonów, jader deuteru, a nawet węgla
 - Energia deponowana cm w głąb ciała, na końcu 'trasy' cząstki



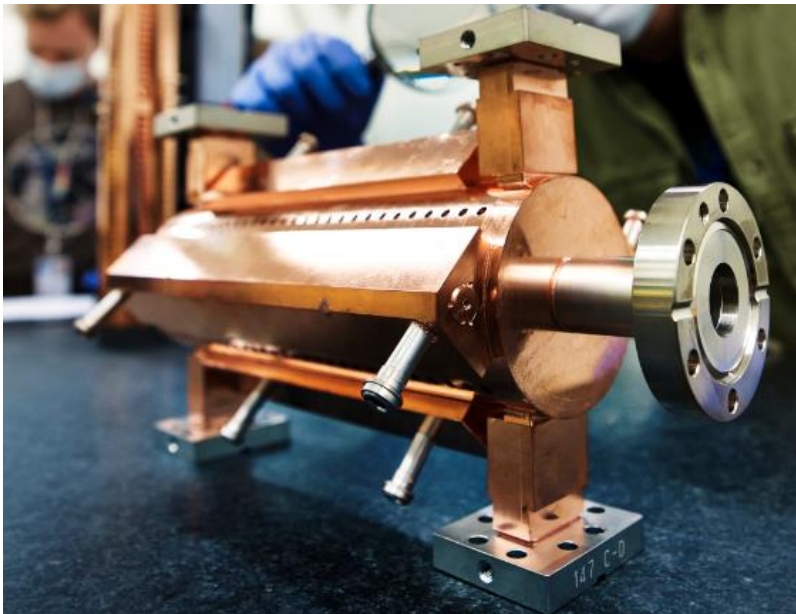
CNAO Pavia, IT
The National Center for Oncological Hadrontherapy

Połowa przyspieszaczy na świecie jest używana do zastosowań w medycynie

Diagnostyka i leczenie z przyspieszaczami

Kompaktowy przyspieszacz elektronów:

- W oparciu o R&D technologii CLIC (compact linear collider) w CERN
- FLASH: radioterapia w krótkich pulsach
- Gotowy do zbudowania w Lozannie



CLIC high-performance linear
electron accelerator technology

FLASH
treatments of
large and
deep-seated
tumours



< 200 ms

Full dose
is delivered by a beam
of electrons
in less
than **200 ms**

More healthy
tissue
spared



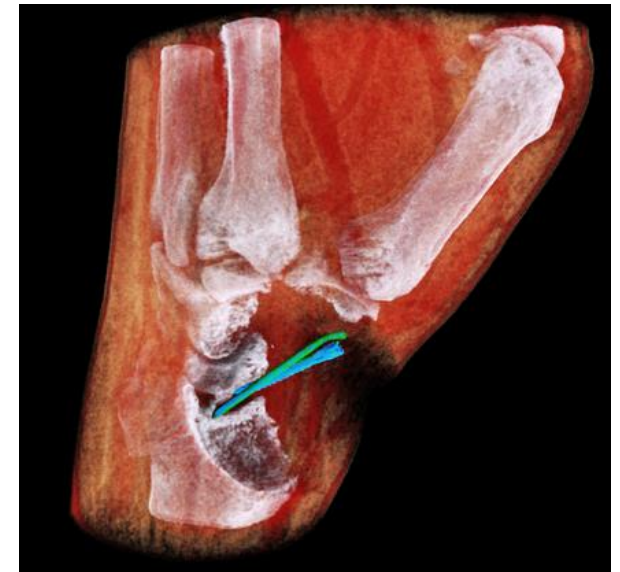
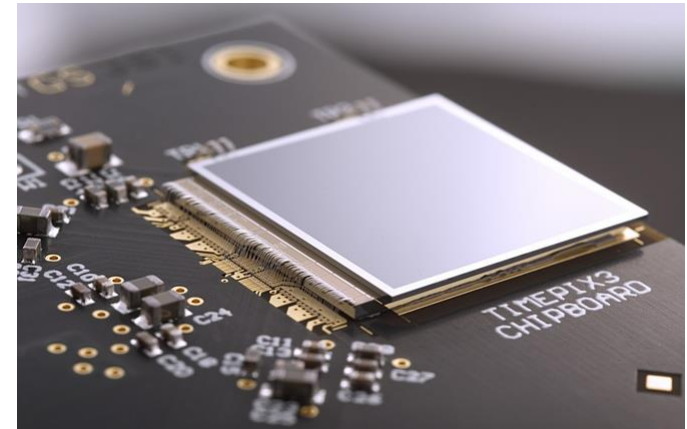
Video: <https://videos.cern.ch/record/2295068>



Detektory

Diagnoza z detektorami zliczającymi kwanty promieniowania Roentgenowskiego

- Kolaboracja MEDIPI i TIMEPIX w CERN
- Hybrydowe detektory o wysokiej zdolności rozdzielczej stworzone do śledzenia cząstek w LHC
- Aplikacje w wielu dziedzinach
- Zliczanie fotonów Rentgenowskich w diagnozie medycznej z użyciem tomografii komputerowej:
 - Niższe dawki
 - Wyższa rozdzielczość przestrzenna
 - Rozdzielczość w energii promieniowania
- 1st przenośny skaner CT w Europie

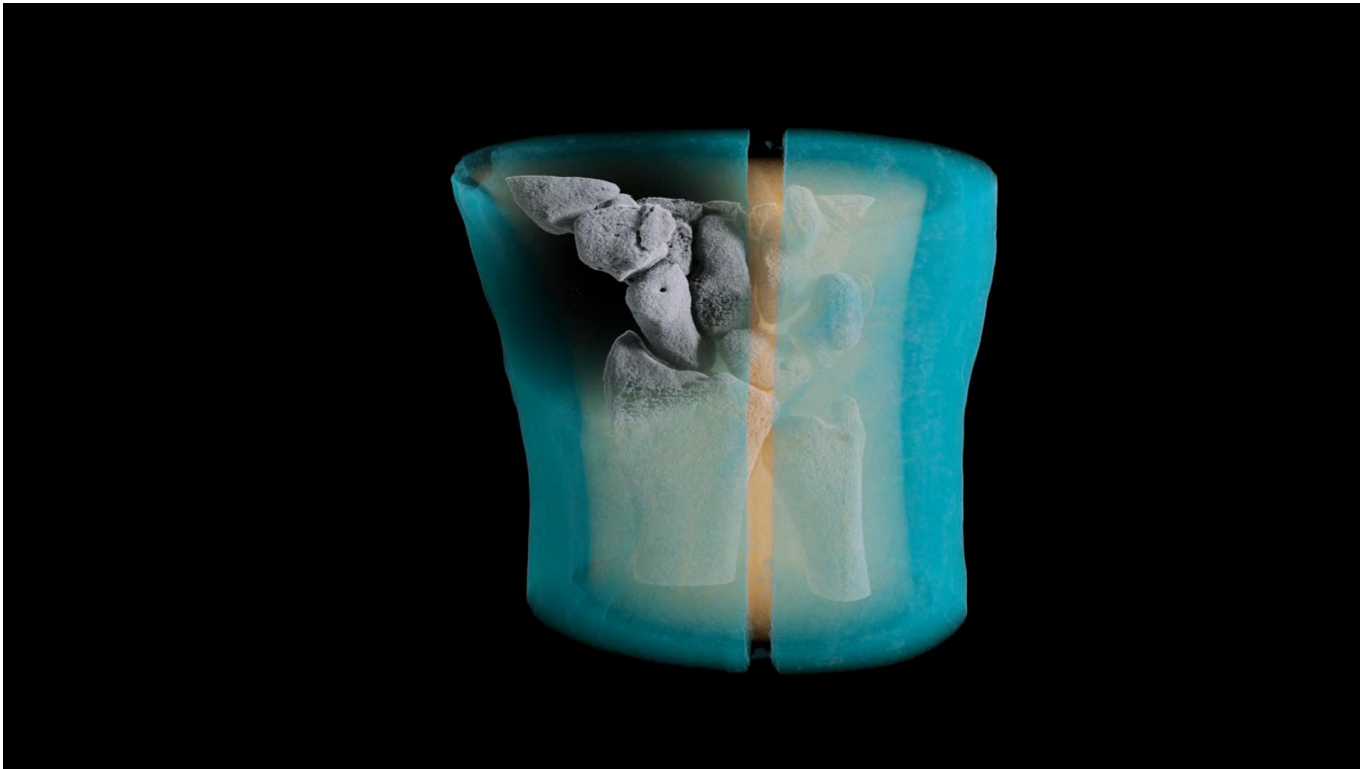


Śruba metalowa (niebieski), K- (zielony)



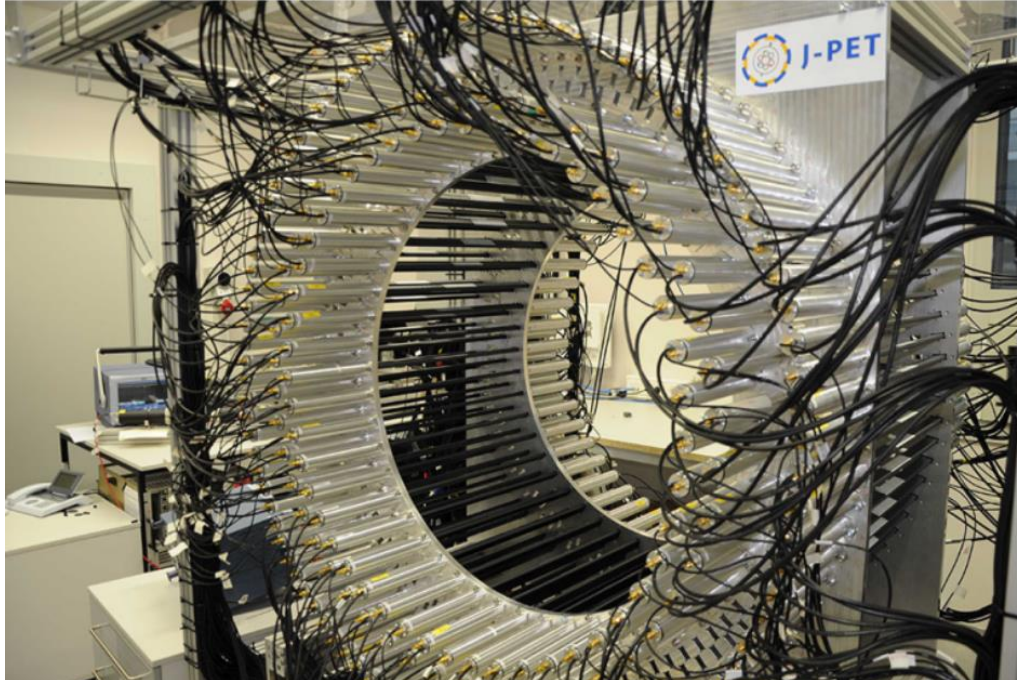
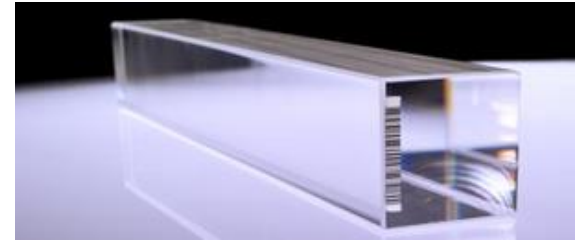
Tomografia komputerowa ze zliczaniem fotonów

- Obraz przegubu:



Detektory PET dla kwantów 511 keV

- Detektory z ns i ps rozdzielczością czasową – lepsza lokalizacja źródła fotonów anihilacyjnych:
 - Jak w trackerze ATLASu: monolityczne detektory krzemowe - projekt TT-PET UNIGE
 - Szybkie scyntylujące kryształy z CMSu: CrystalClear w CERN
 - Jak w szybkiej jądrowej spektroskopii : U Complutense Madrid
- Tańsze materiały:
 - Scyntylatory organiczne: J-PET w Krakowie





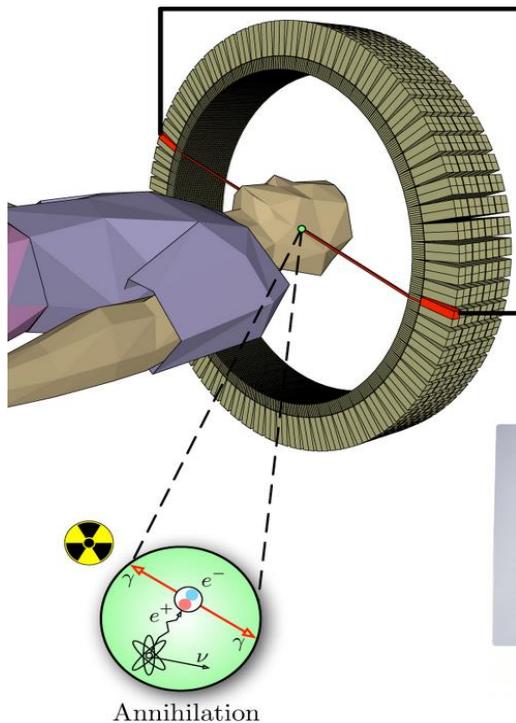
Jądra niestabilne

Diagnostyka medyczna z izotopami niestabilnymi

- Diagnostyka z jądrami radioaktywnymi:
 - Jądro radioaktywne zwykle połączone chemicznie z biologicznym „ligandem”
 - „ligand” znajduje obszary do diagnozy: cukry lub peptydy trafiają do komórek, które ich najbardziej potrzebują, np. komórki rakowe
 - Emitowane promieniowanie wskazuje lokalizację interesującego regionu
 - Wydajne detektory cząstek wykrywają bardzo niskie, nieszkodliwe stężenia radioligandu (nM/ pM)
- Odpowiednie izotopy:
 - Izotop pierwiastka, który może wiązać się z ligandami biologicznymi
 - Czas życia wystarczająco długi do dostarczenia i wystarczająco krótki dla organizmu: godziny do dni
 - Odpowiedni rodzaj promieniowania i jego energia
- Wykrywanie: promieniowanie, nie cząstki, bo jest ono mniej zatrzymywane w ciele:
 - Promienie gamma z deksycytacji/rozpadu jądra lub z anihilacji emitowanej cząstki beta+
- Podejścia (medycyna nuklearna):
 - PET
 - SPECT

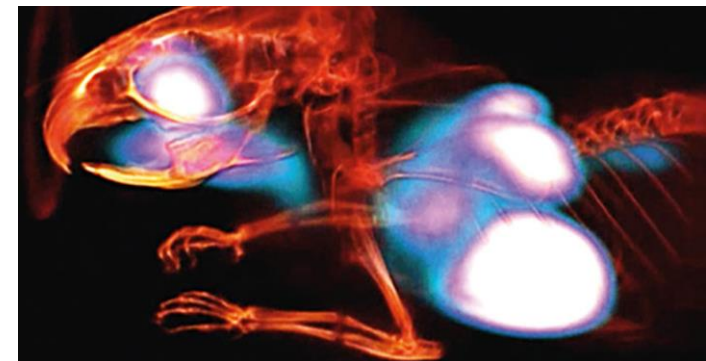
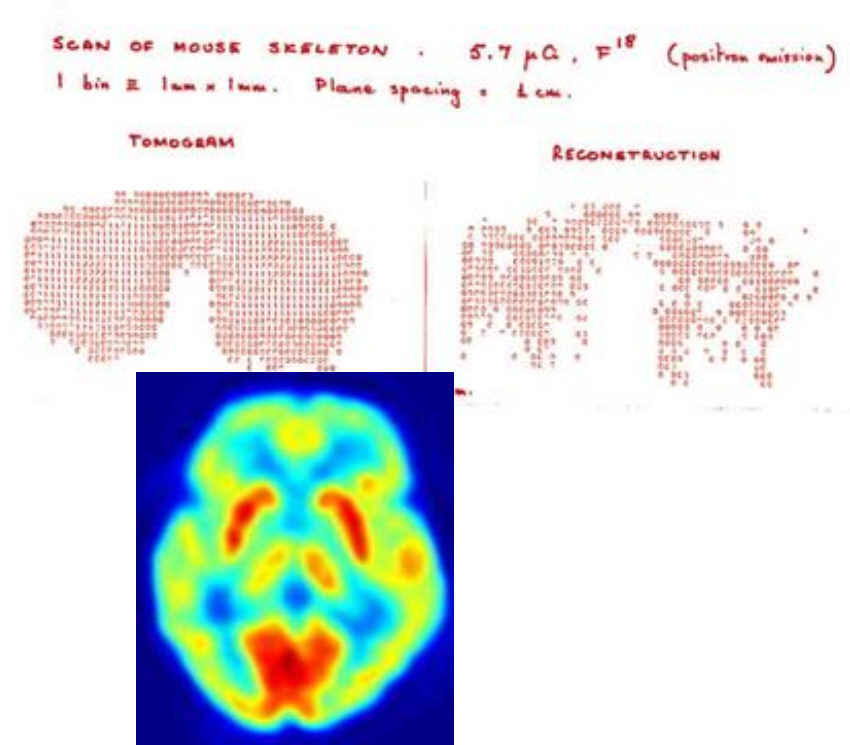
PET: pozytonowa tomografia emisyjna

- Sygnał z jąder emitujących beta+ (pozyton)
 - Emitowany pozyton zatrzymuje się po przebyciu kilku mm w tkance
 - Pozyton = antimateria, więc anihiluje z elektronem z sąsiedniej cząsteczki ($E=mc^2$)
 - 2 promienie gamma o energii 511 keV są emitowane pod kątem 180 stopni
- Wykrywanie:
 - Na podstawie czasu i położenia trafień w detektorach identyfikuje się miejsce anihilacji



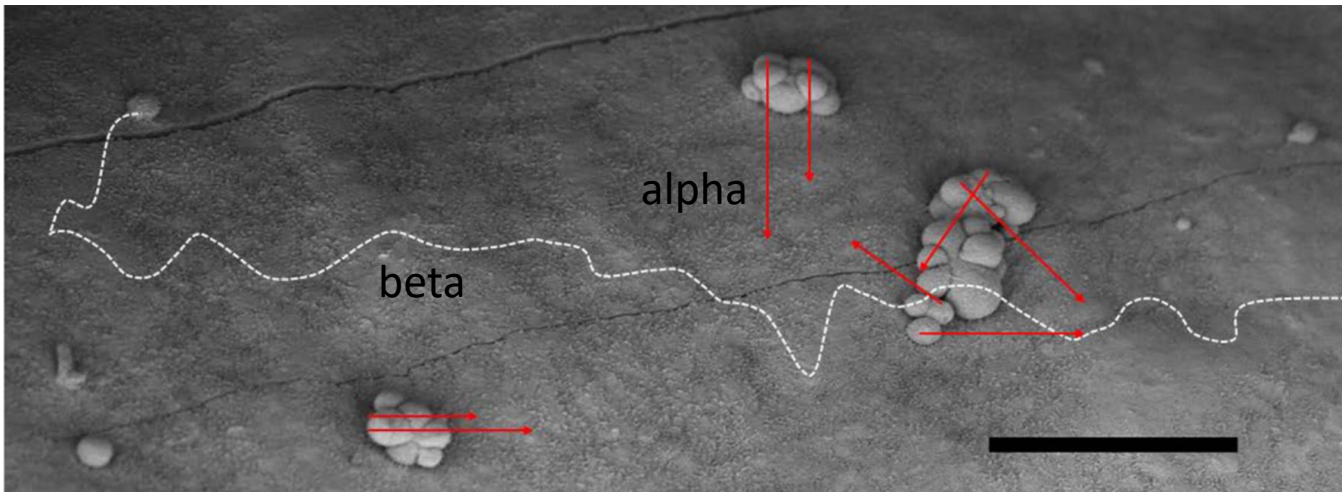
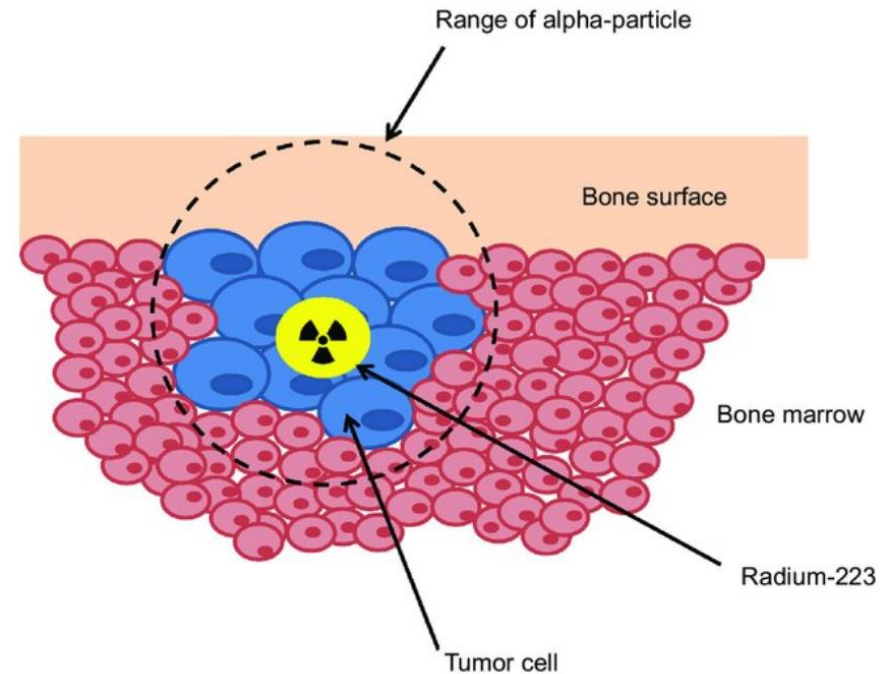
PET i CERN

- PET opracowano w Szpitalu Genewskim w 1977 r.
 - Pierwsze izotopy wyprodukowano w CERN
- Rozwój detektorów w CERN i okolicach
 - Działalność związana z CMS: CrystalClear
 - Szybka odpowiedź detektora -> lepsza lokalizacja
 - Tańsze, bardziej wydajne
- Nowe izotopy PET:
 - ISOLDE i MEDICIS (siostra ISOLDE)
- Mocne strony:
 - Niezwykle czuła technika
- Względne słabości :
 - Rozdzielczość czasowa detektorów jest kluczowa -> można lepiej określić miejsce anihilacji
 - Koincydencja między 2 gamma: stosunkowo złożona rekonstrukcja maszyny i zdarzenia
 - e^+ może przebyć kilka milimetrów przed anihilacją: ograniczenie rozdzielczości



Leczenie raka za pomocą radio-izotopów

- Leczenie poprzez uszkodzenie komórek (głównie DNA):
 - Promieniowania beta o wysokiej dawce
 - Promieniowanie alfa: cięższe, więc krótszy zasięg, ale wyższa śmiertelność (dwuniciowe uszkodzenie DNA)
- Dostarczanie izotopów do nowotworu – jak w diagnostyce: połączenie z ligandem
- Izotop:
 - Odpowiedni okres półtrwania
 - Emisja alfa

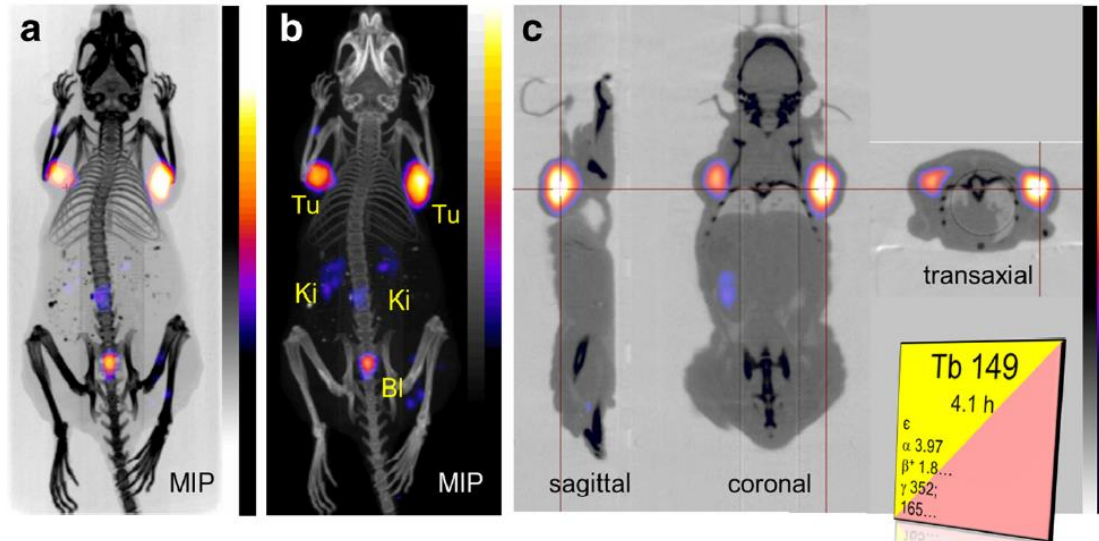


Teranostyka z izotopami niestabilnymi

- Teranostyka = terapia i diagnostyka
 - Jeden izotop służy do diagnozy (np. PET)
 - Inny izotop tego samego pierwiastka: leczenie

After U. Koster, C Müller et al. 2012 J. Nucl. Med. 53, 1951

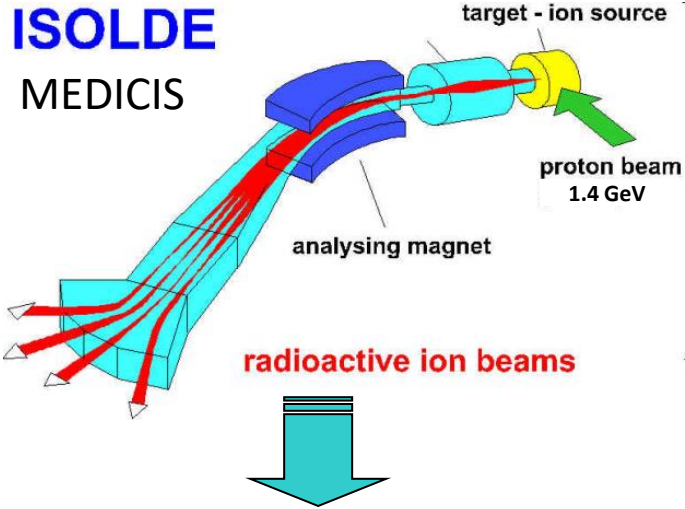
At ISOLDE and Medicis



Dy 150 7.2 m ϵ ; β^+ α 4.23 γ 387	Dy 151 17 m ϵ ; α 4.07 γ 389; 49; 546; 176... g; m	Dy 152 2.4 h ϵ α 3.83 γ 257	Dy 153 6.29 h ϵ ; β^+ α 3.46... γ 81; 214; 100; 254	Dy 154 $3.0 \cdot 10^6$ a α 2.87	Dy 155 10.0 h ϵ β^+ 0.9; 1.1... γ 227...	Dy 156 0.056 ϵ 33 β^+ ; α <0.009	Dy 157 8.1 h ϵ 326...	Dy 158 0.095 ϵ 33 β^+ ; α <0.006	Dy 159 144.4 d ϵ γ 58; α^- α 8000	Dy 160 2.329 ϵ 50 β^+ ; α <0.0003	Dy 161 18.889 ϵ 600 β^+ ; α <1E-6	Dy 162 25.475 ϵ 170
Tb 149 4.2 m β^+ α 3.90 γ 796; 165...	Tb 150 5.8 m β^+ α 3.97 γ 58; 18...	Tb 151 25 s β^+ α 3.41 γ 252; 344; 101...	Tb 152 4.2 m β^+ α 3.28 γ 111...	Tb 153 2.34 d β^+ α 2.12; 170; 110; 102; 83...	Tb 154 23 h β^+ α 2.48; γ 248; 1420; 248; 129; 640...	Tb 155 5.32 d β^+ α 2.87; γ 87; 105; 180; 262...	Tb 156 4 h β^+ α 2.87; γ 54; 196; 1222	Tb 157 99 a β^+ α (54) γ (54)	Tb 158 10.5 s β^+ α 180 a β^+ α 105; 90...	Tb 159 100 ϵ 23.2	Tb 160 72.3 d β^- 0.6; 1.7... γ 879; 299; 966... α 570	Tb 161 6.90 d β^- 0.6; 0.6... γ 26; 49; 76... α^-
Gd 148 74.6 a α 3.183 α 14000	Gd 149 9.28 d ϵ ; α 3.016 γ 150; 299; 347...	Gd 150 $1.8 \cdot 10^8$ a α 2.72	Gd 151 120 d ϵ ; α 2.60 γ 154; 243; 175...	Gd 152 0.20 $1.1 \cdot 10^{14}$ a α 2.14; α 700 β^+ ; α <0.007	Gd 153 239.47 d ϵ γ 97; 103; 70... α 20000 β^+ ; α 0.03	Gd 154 2.18 ϵ 60	Gd 155 14.80 ϵ 61000 β^+ ; α 0.00008	Gd 156 20.47 α -2.0	Gd 157 15.65 ϵ 254000 β^+ ; α <0.05	Gd 158 24.84 ϵ 2.3	Gd 159 18.48 h β^- 1.0... γ 384; 58...	Gd 160 21.86 α 1.5

Nowe izotopy medyczne z CERN

i. Produkcja na ISOLDE



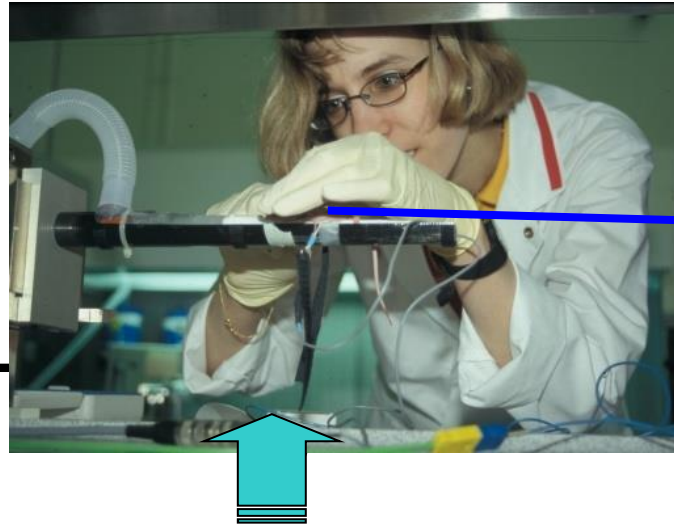
ii. Transport do laboratorium PSI



od U. Koster

C Müller et al. 2012 J. Nucl. Med. 53 1951

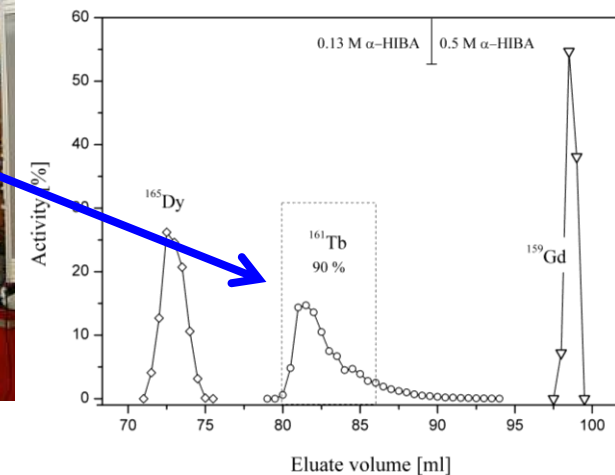
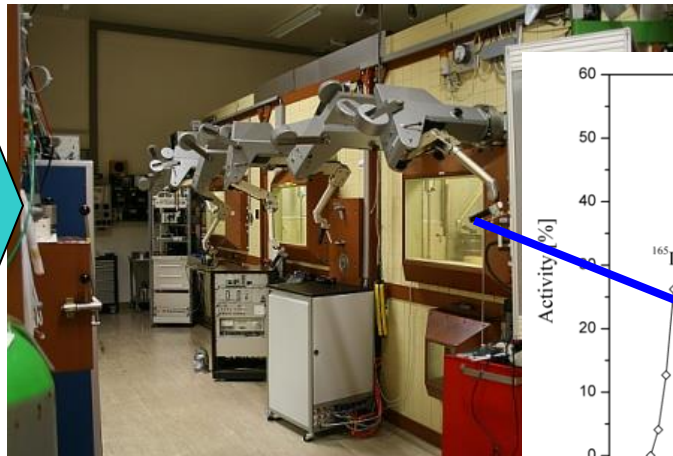
iv. Wstrzyknięcie do myszy



v. Obrazowanie PET/SPECT i leczenie nowotworów

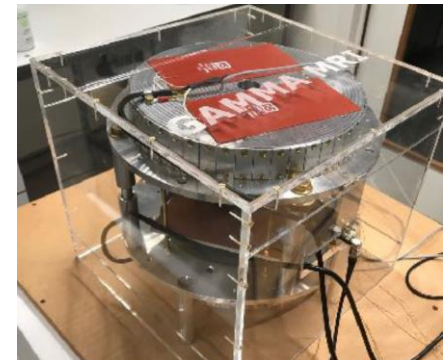
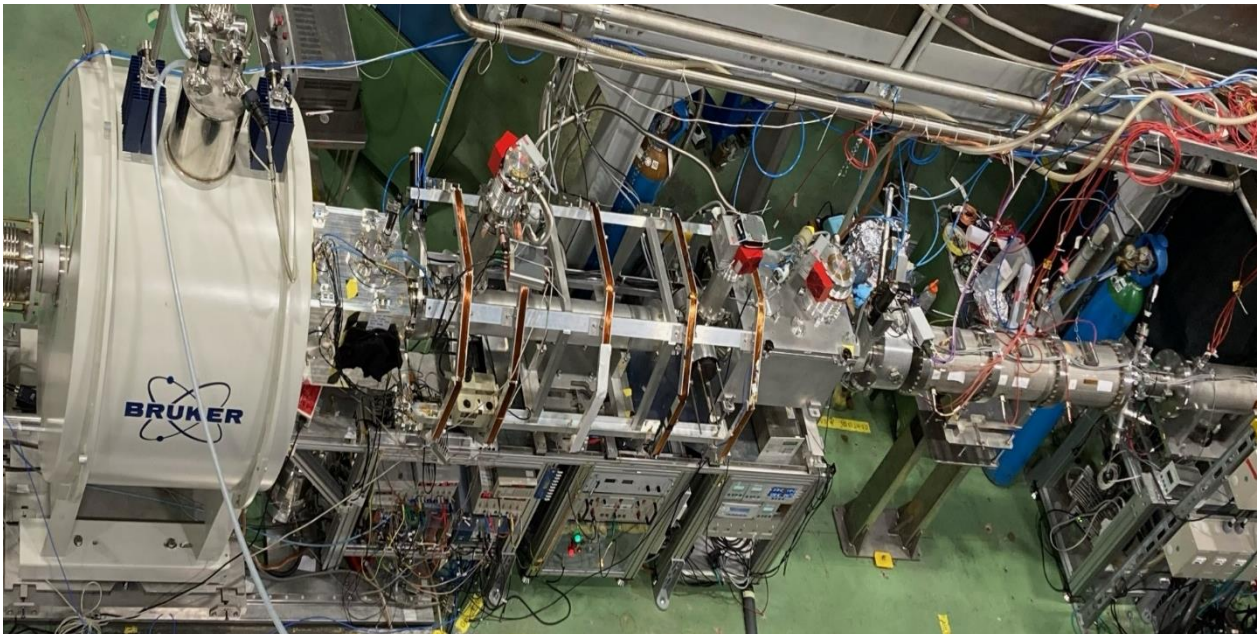


iii. Oczyszczanie i znakowanie radiochemiczne



Ultra-czuły rezonans magnetyczny

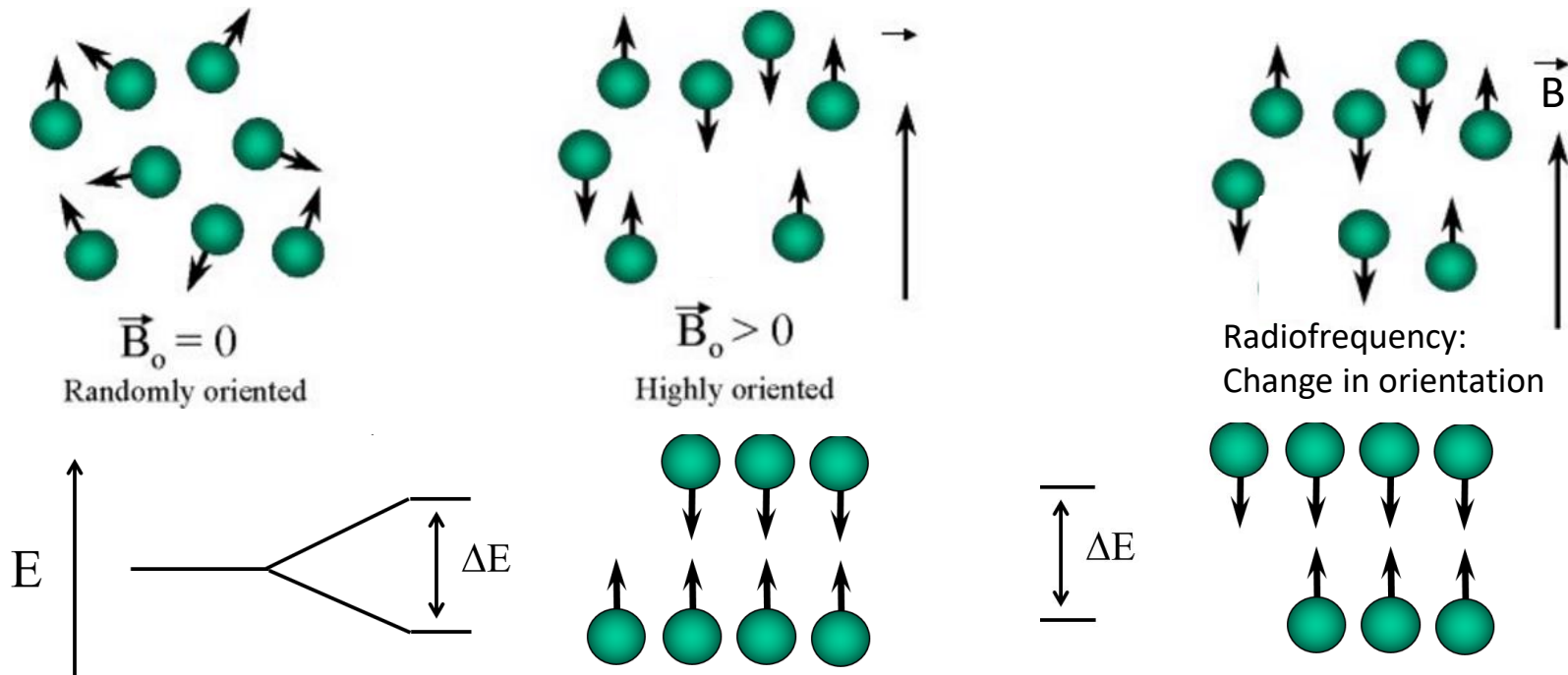
- Moje własne projekty
- Magnetyczny rezonans jądrowy (NMR) i obrazowanie (MRI) z detekcją promieniowania
 - Zastosowanie niestabilnych jąder
 - Wykrywanie sygnału poprzez kierunek promieniowania, a nie odbiór sygnału w cewce
 - Do 10^{10} razy bardziej czuły niż konwencjonalny NMR
- Interdyscyplinarny zespół
 - Współpraca (np. z UAM Poznań)
 - Zastosowania w różnych dziedzinach



Linia na ISOLDE

Zasady magnetycznego rezonansu jądrowego

- Uczestnicy:
 - Jądra o spinie różnym od 0
 - Próbka/środowisko
- Pole magnetyczne
 - Silne pole statyczne (B_0)
 - Słabsze pole prostopadłe (B_1) oscylujące na częstotliwości radiowej (MHz)



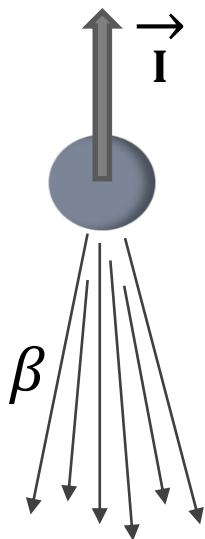
Otoczenie wpływa na częstotliwość Larmora w polu magnetycznym (elektrony w cząsteczkach)

Spolaryzowane jądra niestabilne są specjalne

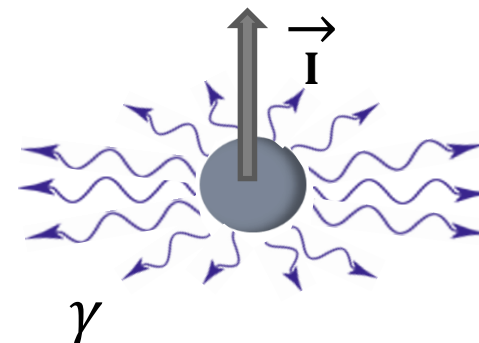
- Ich rozpad beta i gamma jest anizotropowy w przestrzeni

Emisja czastki beta,
dla jąder ze spinem >0

Niezachowanie parzystości
w oddziaływaniach słabych,
eksperyment Pani Wu



Emisja kwantu gamma,
dla jąder ze spinem $>1/2$



zależą od poziomu i 'stopnia' polaryzacji spinu oraz
szczegółów przejścia jądrowego (początkowy spin, zmiana spinu)

- Zaobserwowana asymetria rozpadu może być wykorzystana do czułego magnetycznego rezonansu jądrowego

NMR jąder niestabilnych w cieczech

betaDropNMR

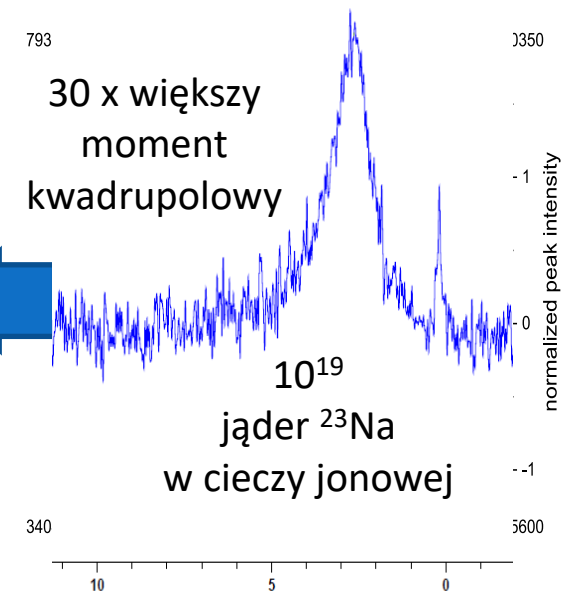
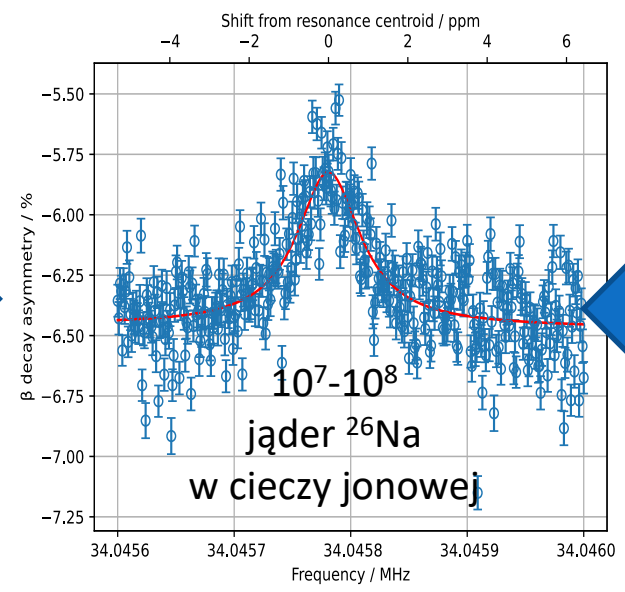
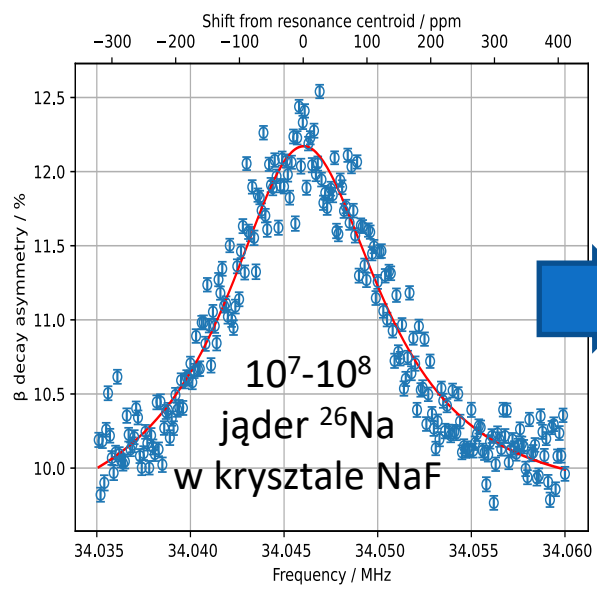


NMR z detekcją cząstek beta (b-NMR) w próbkach ciekłych:

- NMR: zmiana częstotliwości Larmora jądra przez sąsiednie molekuly na poziomie 10^{-6}
- β -NMR: do 10^{10} bardziej czuła niż konwencjonalny NMR (sygnał zbierany z zaledwie 10^6 jąder)
- NMR w cieczech: o wiele węższe rezonanse niż w ciałach stałych: 100-1000 większa precyzja (ok. 1 część na milion)

Może dotyczyć pierwiastków chemicznych i próbek poza zasięgiem konwencjonalnego NMR

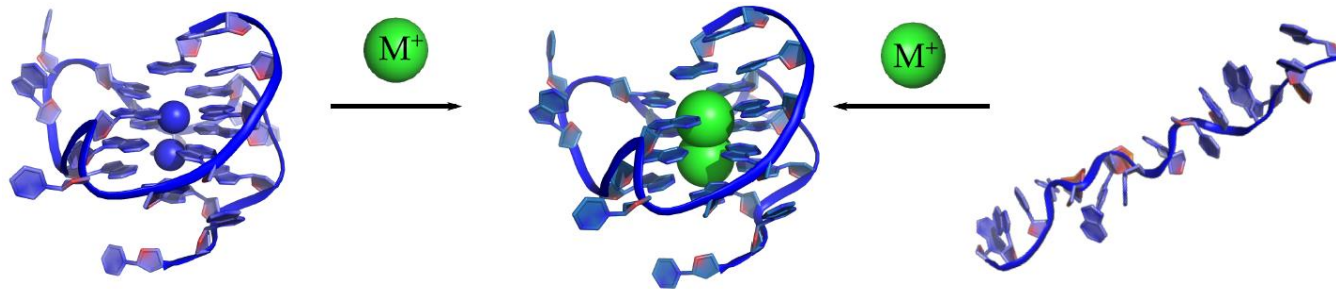
- Np. interakcja jonów metali z biocząsteczkami



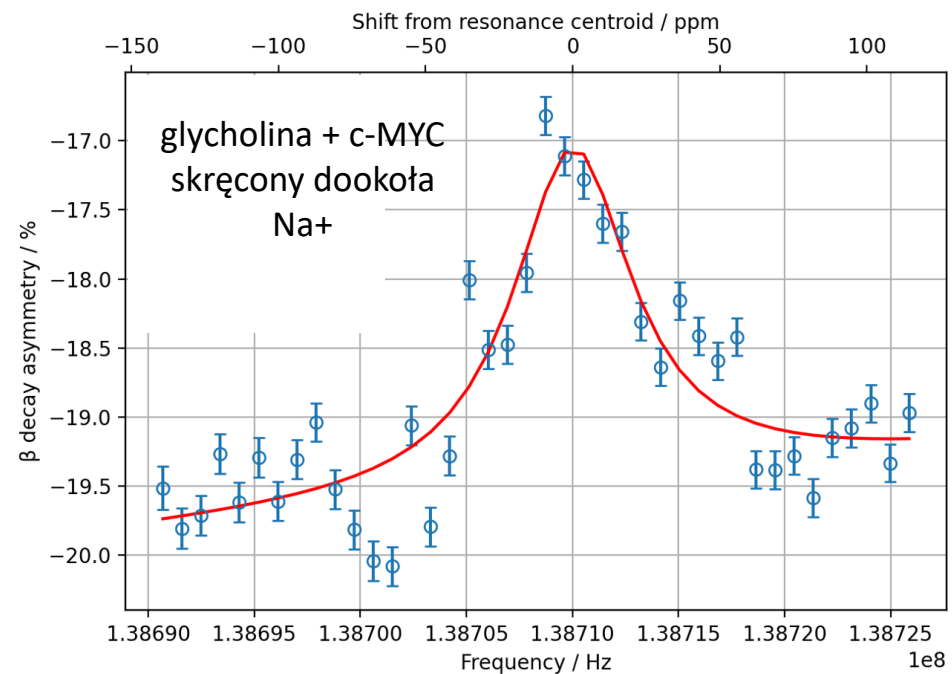
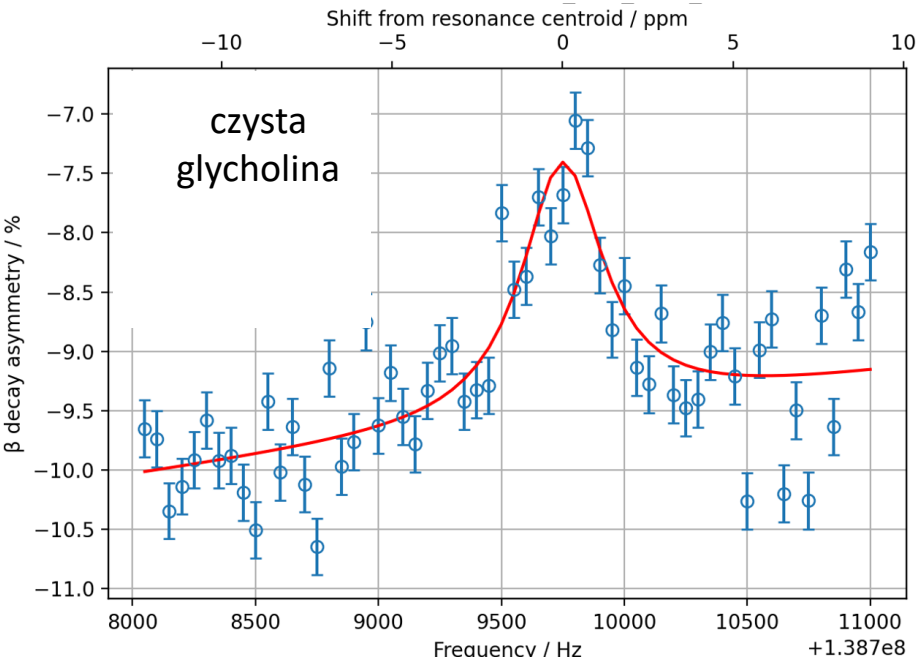
Wiązanie potasu z G-kwadrupleksami DNA

B. Karg

- G-kwadrupleksy:
 - obecne np. w telomerach, kluczowe: wiązanie z metalami alkalicznymi
- eksperymenty β -NMR: ^{47}K w roztworze DNA w glycholinie



47	K	28
19		
17.50 s 1/2 ⁺		
M ⁻ 35712.0 (1.4)		
β^- =100%		



W obecności DNA: rezonans ^{47}K przesunięty i rozszerzony: wszczępiony K zastępuje Na w G-kwadrupleksie?

Rezonans magnetyczny ze stabilnym ^{129}Xe

Dostarcza informacji o:

- wentylacji płuc
- mikrostrukturze tkanek
- wymianie gazowej

Cechy:

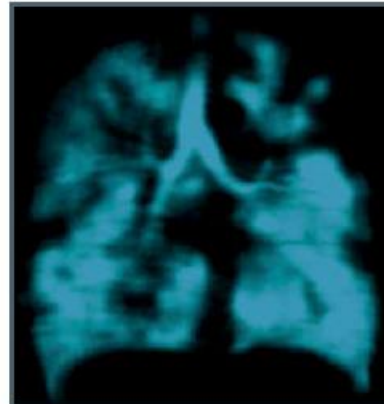
- Czuły
- Szybki (< 10 s)
- Precyzyjny (3 mm)
- Brak tła protonowego
- Informacje chemiczne

Zastosowania:

- Choroby układu oddechowego
- Nowe: obrazy czynnościowe silnie ukrwionych narządów: nerek, mózgu

b)

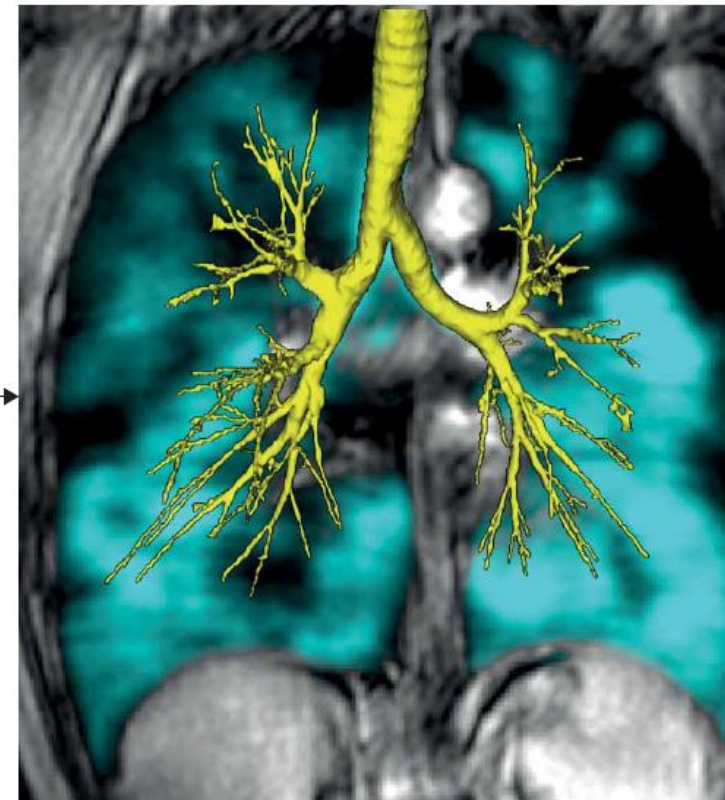
^{129}Xe gas



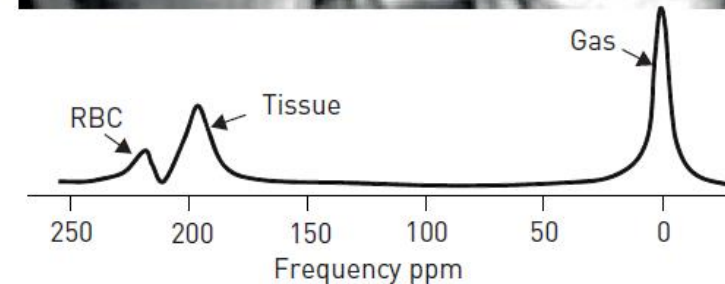
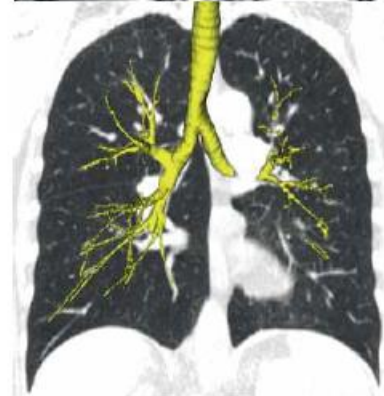
Anatomical ^1H



Co-registered



CT airways



γ -MRI z długo-żyjącymi izomerami Xe

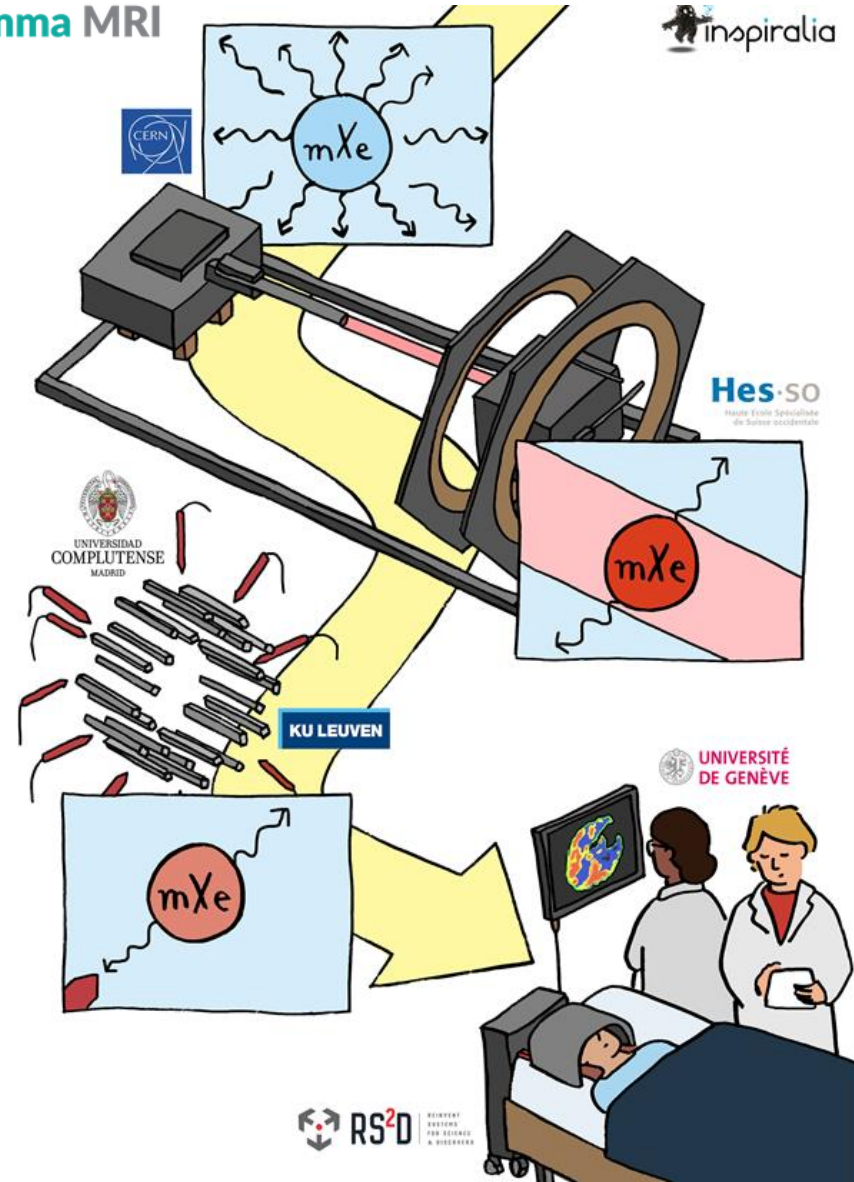
EU FET-OPEN



Jednoczesne wykorzystanie czułości detekcji gamma (γ) + rozdzielczości przestrzennej i elastyczności MRI

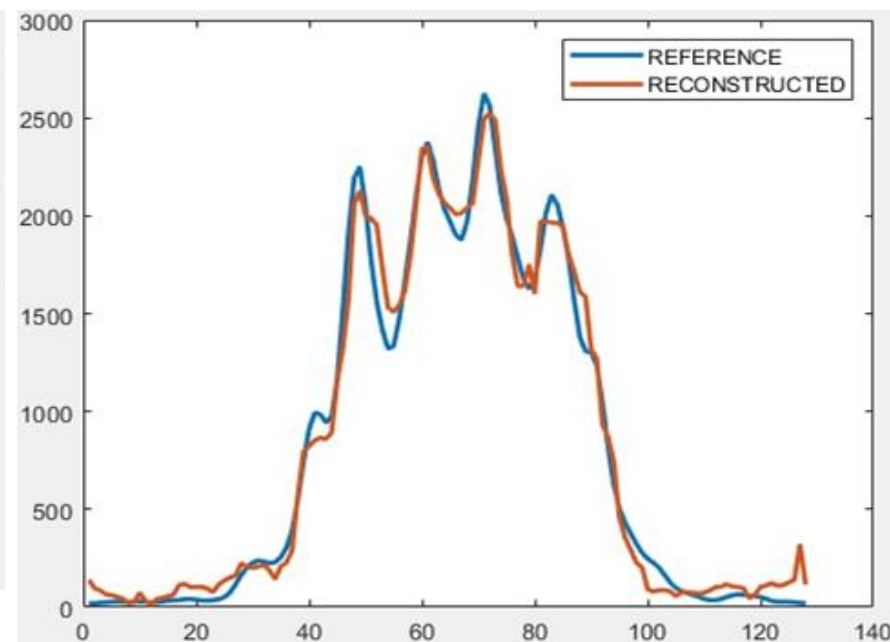
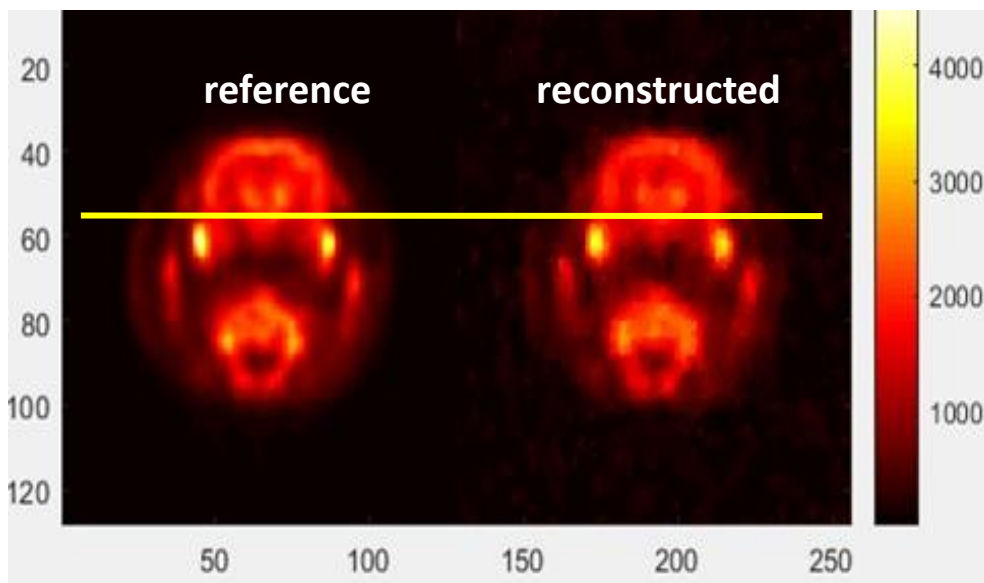
- Zastosowanie spolaryzowanych niestabilnych znaczników
- Zwiększenie czułości MRI i rozdzielczości medycyny nuklearnej
- Pozycjonowanie podane przez sekwencje MRI
- Ilość znacznika podana przez stopień asymetrii emisji γ

Prace nad prototypem trwają



Porównanie PET/SPECT/MRI/ γ -MRI

Technika	Aktywność	Czułość	Rozdzielczość
MRI	0	mM to μ M	< 1 mm
HP ^{129}Xe MRI	0	100s of nM	< 1 mm
PET	~ 400 MBq	pM	1-3 mm
SPECT	500 \sim 1000 MBq	pM	1 mm
γ MRI	1-10 MBq (1 mm rozdzielczość)	pM	< 1 mm (dla 10'tek MBq)



Oczekiwany sygnał w prototypie:

- mózg szczura z infuzją 10 MBq mXe, czas nagrywania 12 s

zrekonstruowany za pomocą skompresowanych strategii wykrywania w pikselach 0.5 mm

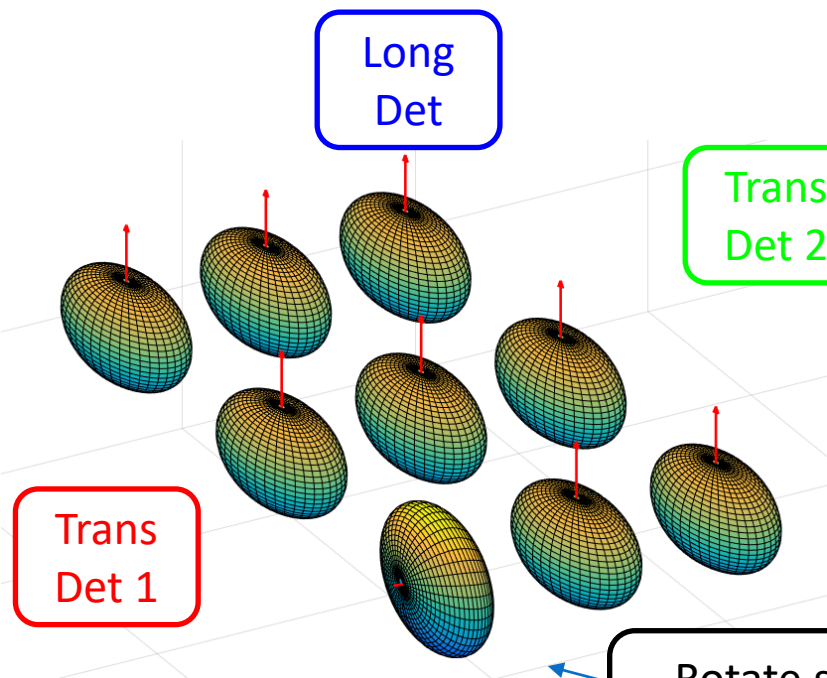
Podsumowanie

- Badania podstawowe CERN prowadzą do aplikacji medycznych z wykorzystaniem:
 - Akceleratorów
 - Detektorów
 - Jąder niestabilnych
- Zainteresowanie: diagnostyka medyczna i leczenie
- Cel – urządzenia medyczne, które są:
 - MNIEJSZE
 - TAŃSZE
 - DOKŁADNIEJSZE
 - BARDZIEJ CZUŁE
- Wiele przykładów na różnych etapach dojrzałości

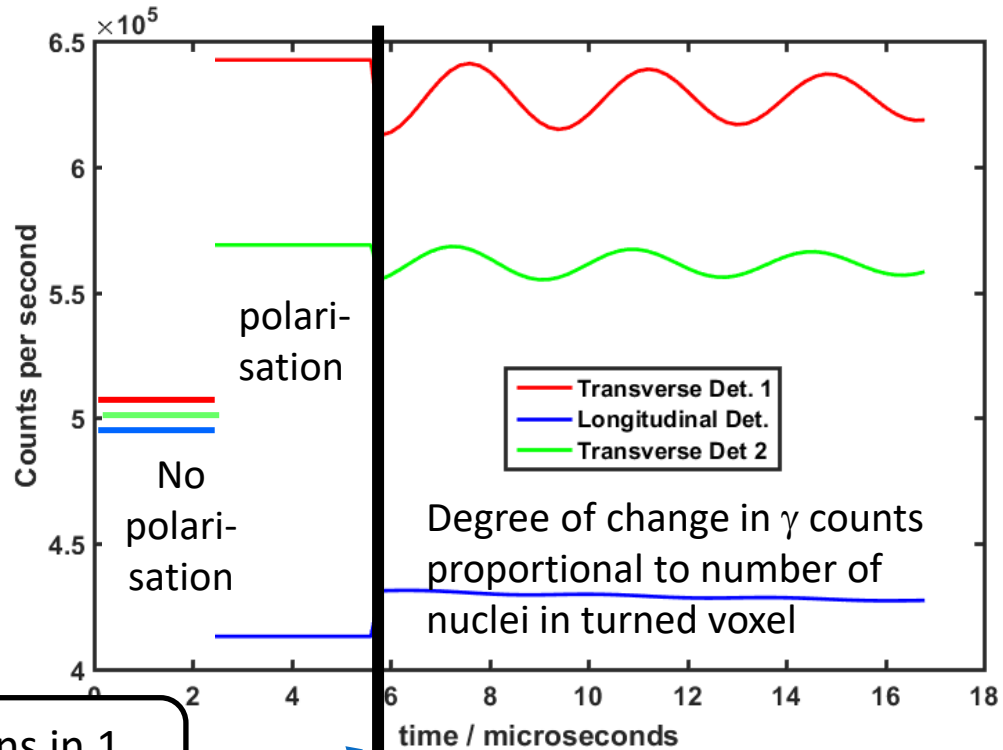


Gamma MRI – spatial resolution

- Pixel size
 - defined by slope of B-field gradients and spectral width of rf pulse
 - more nuclei -> smaller pixels possible up to B gradient and rf limit
- 1 pixel in resonance: change in gamma counts visible in each detector



Rotate spins in 1 pixel by 90°



Simulations: R. Engel



Basic principle

Strength of unstable nuclei for life sciences:

- Efficient detection of decay radiation: PET, SPECT diagnostics with γ radiation
- Strong but localised damage: cancer therapy with α , β radiation
- Possibility to combine therapy and diagnostics: terranostics
 - PET/SPECT diagnosis + α , β treatment, e.g. ^{155}Tb -SPECT, ^{152}Tb -PET, ^{149}Tb - α therapy
 - hadron therapy (and in-situ PET beam-deposition diagnosis) with ^{11}C

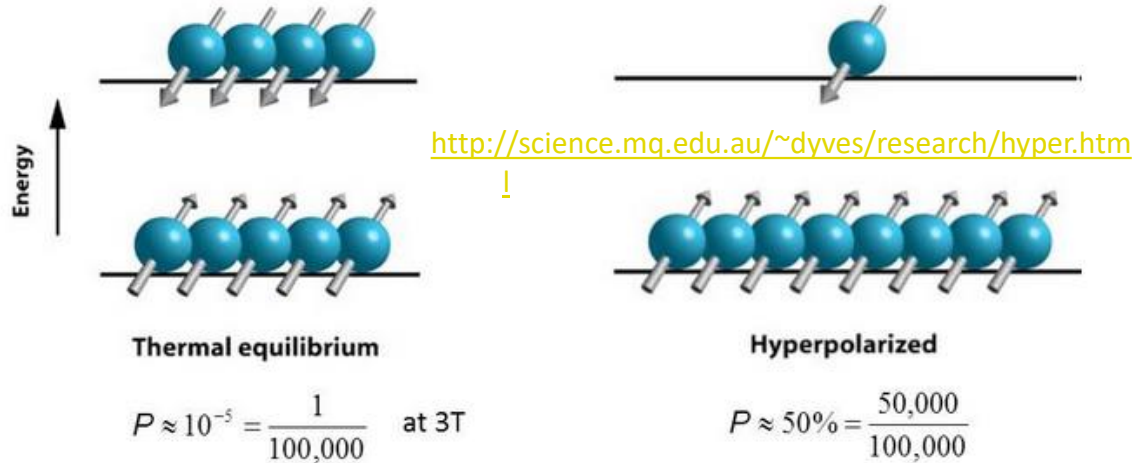
New here: anisotropic emission of radiation from spin-polarised nuclei

- Much higher sensitivity for spin-manipulating techniques:

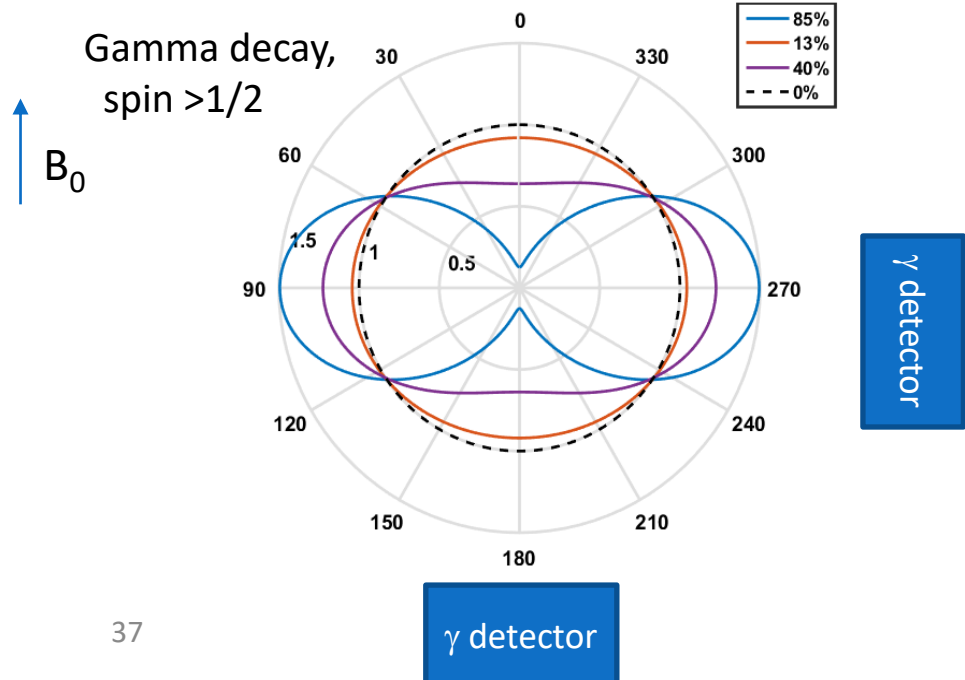
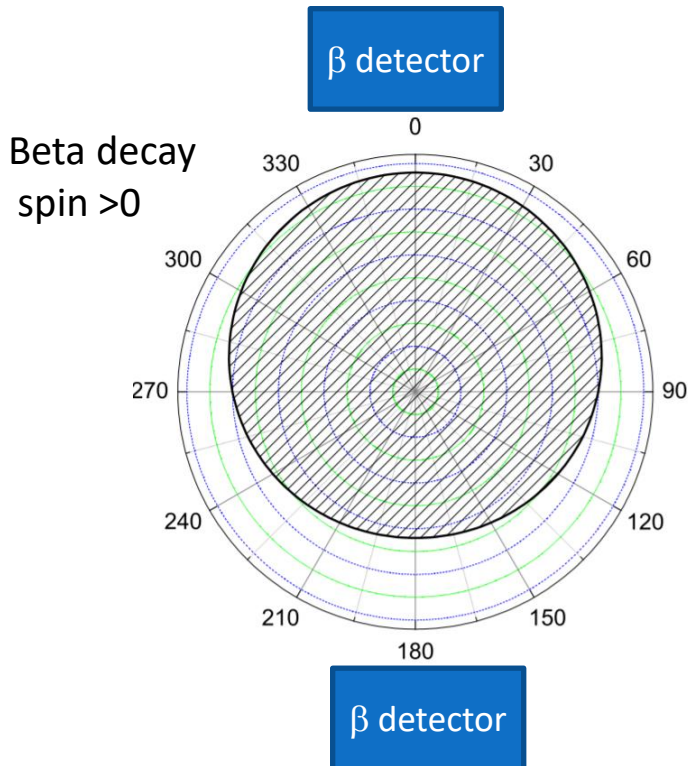
=> Nuclear Magnetic Resonance (NMR) and Magnetic Resonance Imaging (MRI)

Radiation-detected NMR

Spin hyperpolarisation

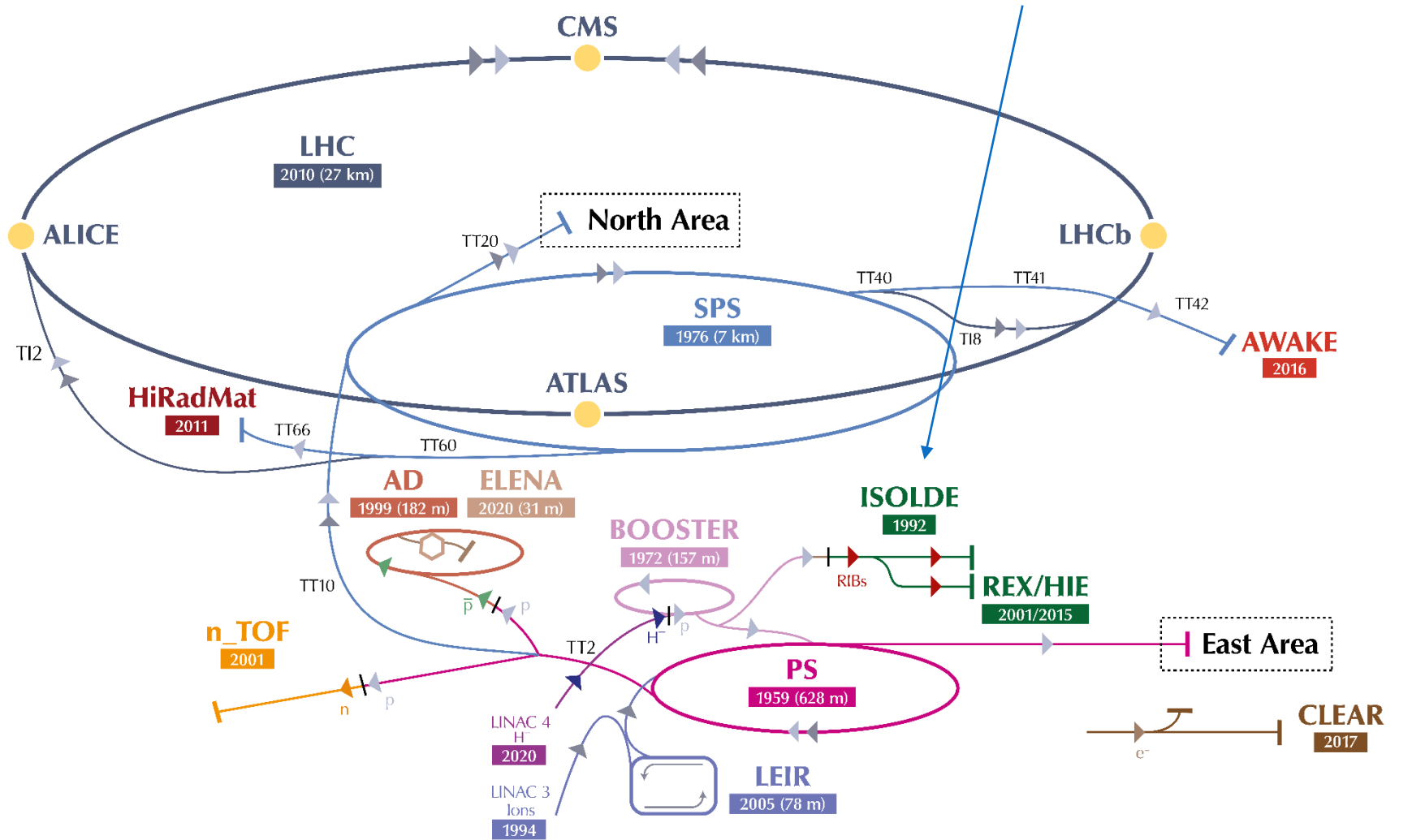


+ Decay anisotropy



Experiments: ISOLDE lab at CERN

CERN facility for production and research with radioactive nuclei



- ▶ H^- (hydrogen anions)
- ▶ p (protons)
- ▶ ions
- ▶ RIBs (Radioactive Ion Beams)
- ▶ n (neutrons)
- ▶ \bar{p} (antiprotons)
- ▶ e^- (electrons)

ISOLDE selection of radio-nuclei

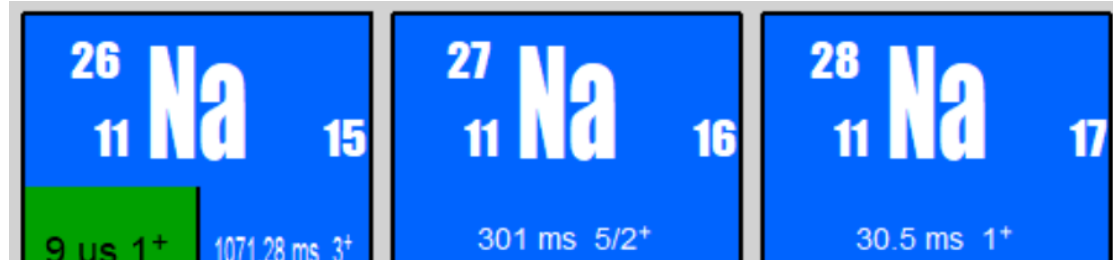
- Over 1000 isotopes from 70 chemical elements used for experiments

- Radioactive half-lives: >10 ms

- Interesting for life sciences with radiation-detected NMR/MRI:

- Already polarized

- Planned

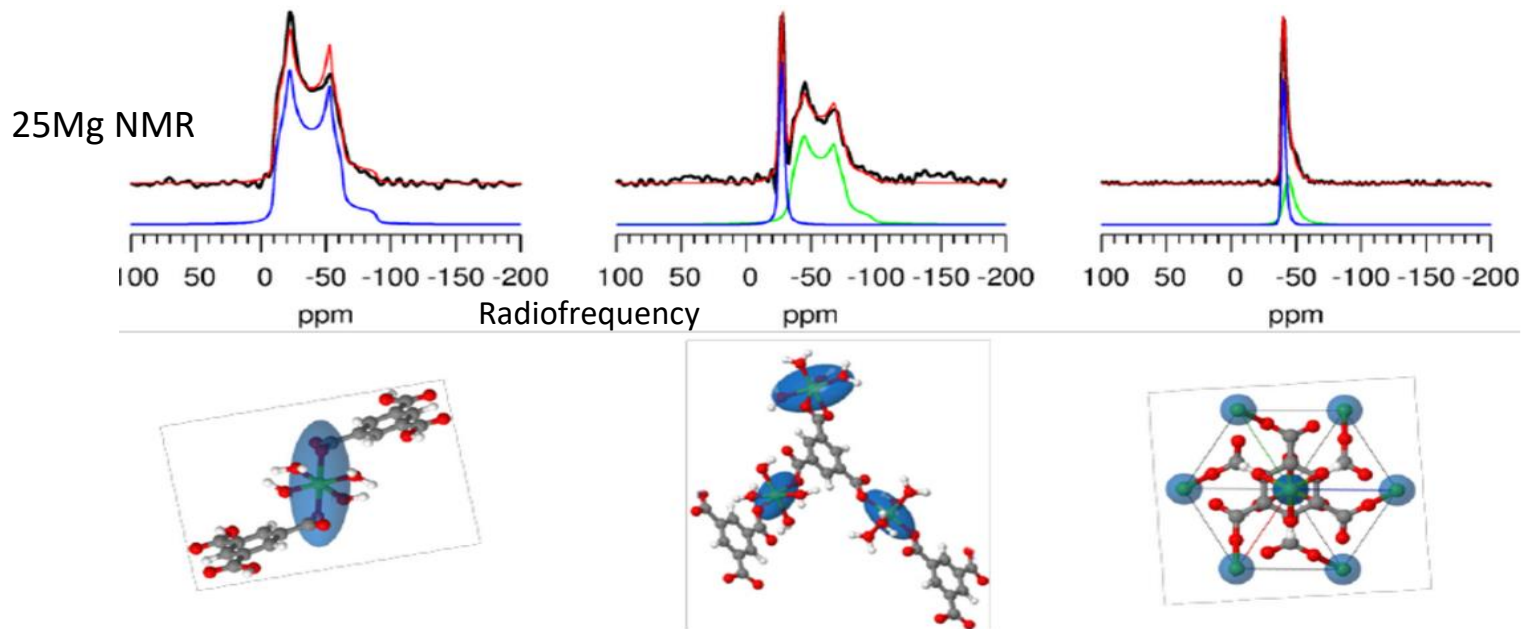


beta-detected NMR

1	1 H																	2 He						
2	3 Li	4 Be																	5 B	6 C	7 N	8 O	9 F	10 Ne
3	11 Na	12 Mg																	13 Al	14 Si	15 P	16 S	17 Cl	18 Ar
4	19 K	20 Ca	21 Sc	22 Ti	23 V	24 Cr	25 Mn	26 Fe	27 Co	28 Ni	29 Cu	30 Zn	31 Ga	32 Ge	33 As	34 Se	35 Br	36 Kr						
5	37 Rb	38 Sr	39 Y	40 Zr	41 Nb	42 Mo	43 Tc	44 Ru	45 Rh	46 Pd	47 Ag	48 Cd	49 In	50 Sn	51 Sb	52 Te	53 I	54 Xe						
6	55 Cs	56 Ba	* 71 Lu	72 Hf	73 Ta	74 W	75 Re	76 Os	77 Ir	78 Pt	79 Au	80 Hg	81 Tl	82 Pb	83 Bi	84 Po	85 At	86 Rn						
7	87 Fr	88 Ra	** 103 Lr	104 Rf	105 Db	106 Sg	107 Bh	108 Hs	109 Mt	110 Ds	111 Rg	gamma-detected MRI												
* Lanthanides		* 57 La	58 Ce	59 Pr	60 Nd	61 Pm	62 Sm	63 Eu	64 Gd	65 Tb	66 Dy	67 Ho	68 Er	69 Tm	70 Yb									
** Actinides		** 89 Ac	90 Th	91 Pa	92 U	93 Np	94 Pu	95 Am	96 Cm	97 Bk	98 Cf	99 Es	100 Fm	101 Md	102 No									

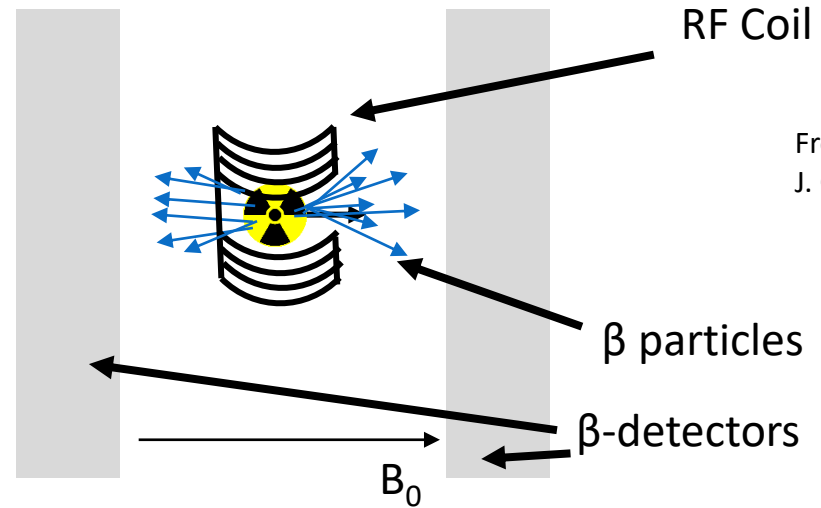
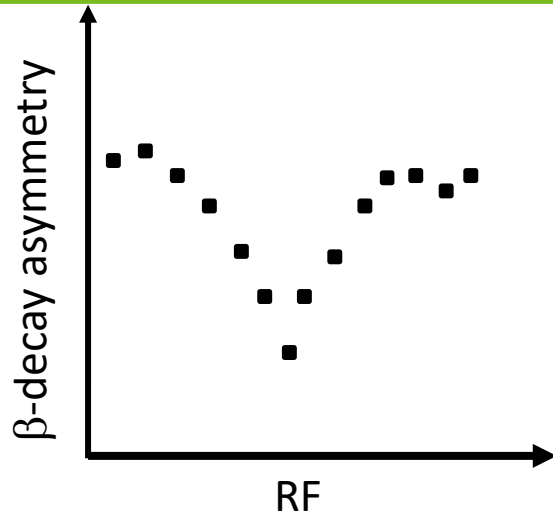
β -detected NMR and metals in biology

- Increase in sensitivity up to 10^9 times compared to conventional NMR
- Short-lived beta-particle-emitting probe nuclei
- Hyperpolarisation using e.g. lasers -> ideal for metals
- NMR can provide info on location & evolution of metal-ion binding to biomolecules
 - NMR on ^{23}Na , ^{25}Mg , ^{63}Cu , ^{67}Zn bound to the biomolecule

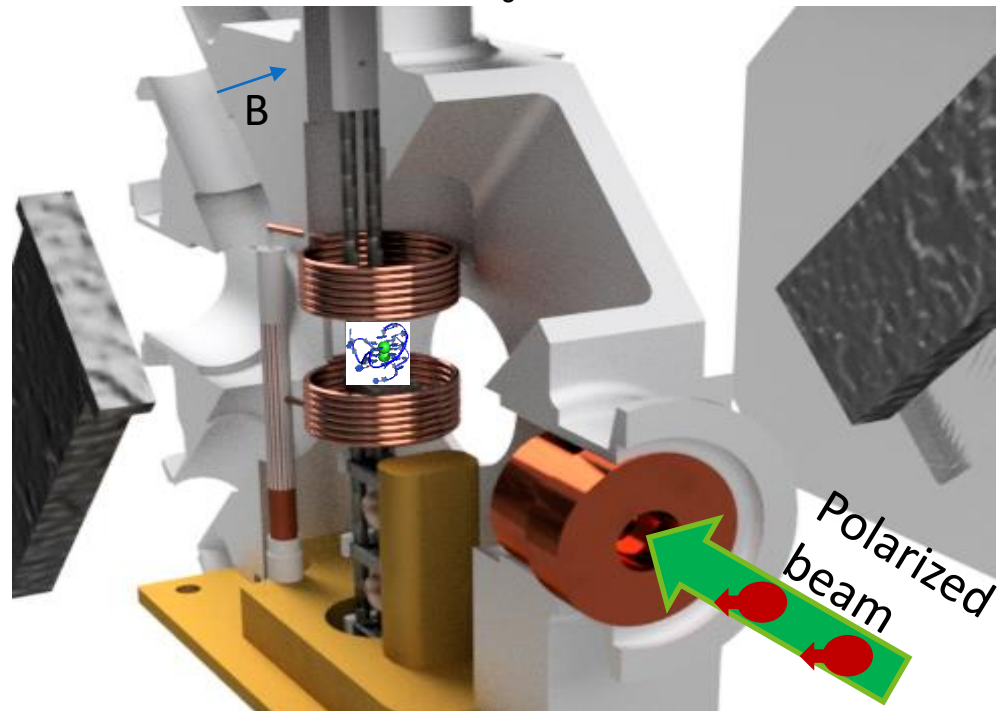
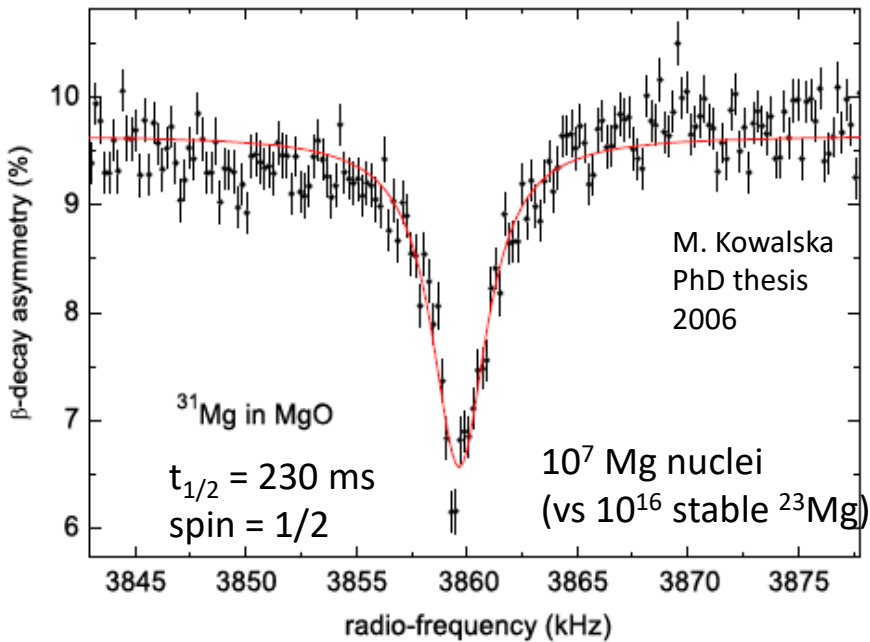


- Challenges: almost invisible signals due to small abundance, spin $>1/2$, and small sensitivity
- Result: metal-ion-NMR used very rarely => **sensitive NMR approach is needed**

β -NMR spectra



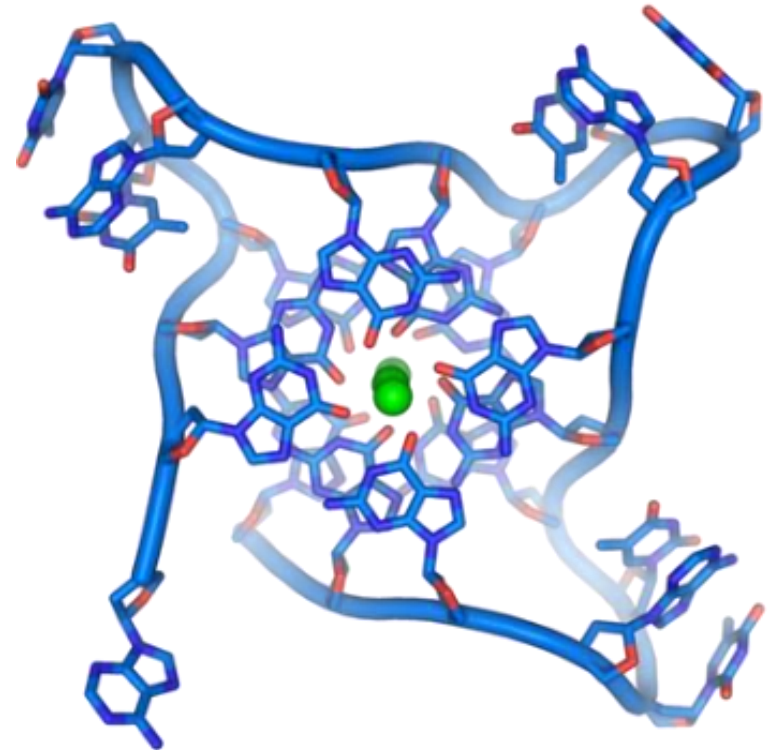
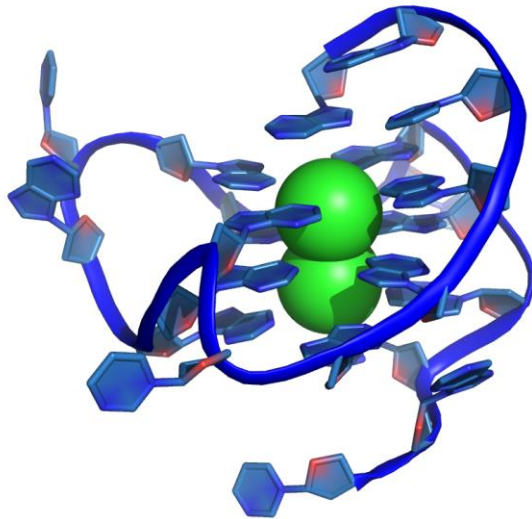
From
J. Croese



β -NMR 1st biological case

DNA G-quadruplexes and alkali metals

- DNA G-quadruplexes:
 - Guanine-rich DNA fragments
 - Found in nature, e.g. in telomeres



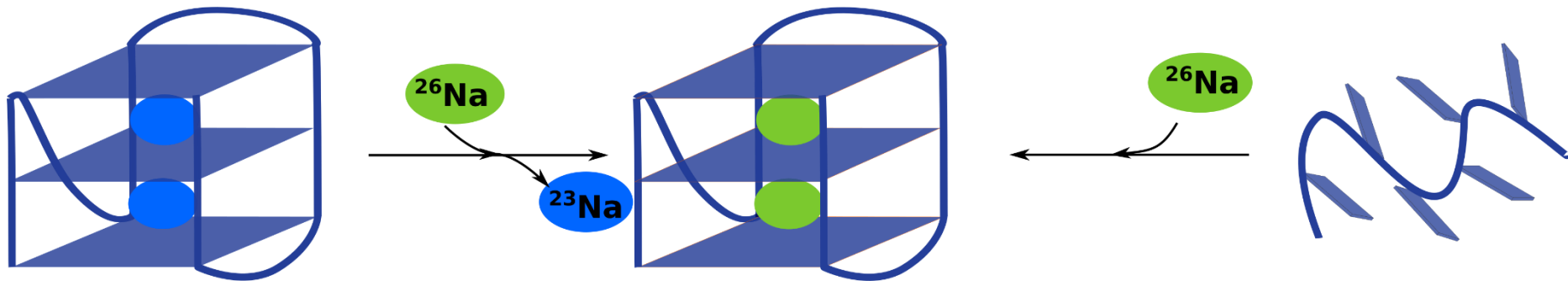
- Alkali metals (Na, K) in G-quadruplexes:
 - Important for their formation, stability and structural polymorphism
 - Until recently considered invisible in conventional Na⁺/K⁺ NMR

β -NMR and G-Quadruplexes

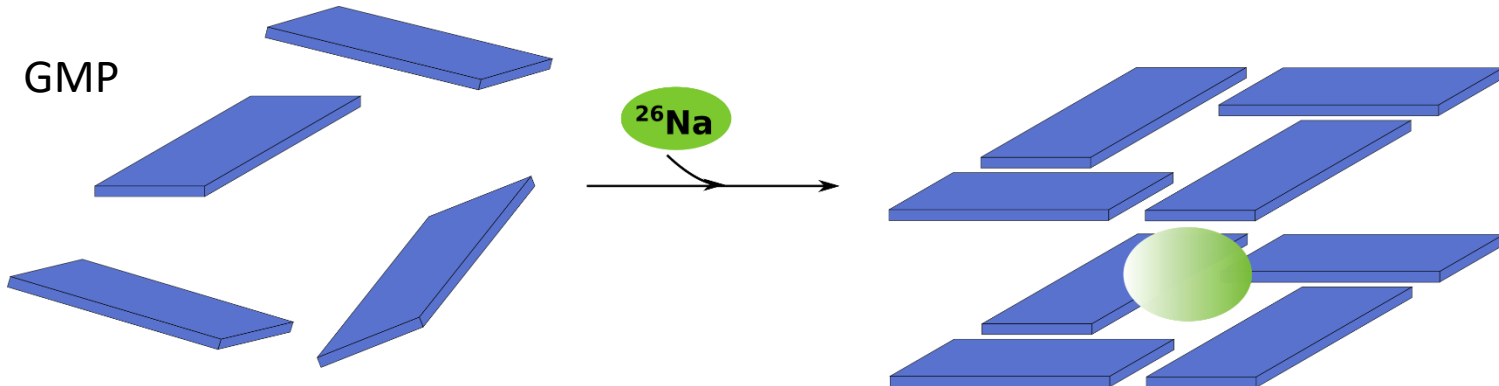
Advantages:

- Sensitivity: metal ions are easily visible, cleaner spectra
- Smaller quadrupole moments -> longer relaxation and narrower spectra
- Real-time: folding intermediates

G-rich DNA



GMP



Experiments planned for summer 2021, after 2.5-year break in radioactive beams



γ -detected MRI and Xe imaging

Aim: combine advantages of nuclear medicine and MRI in one modality

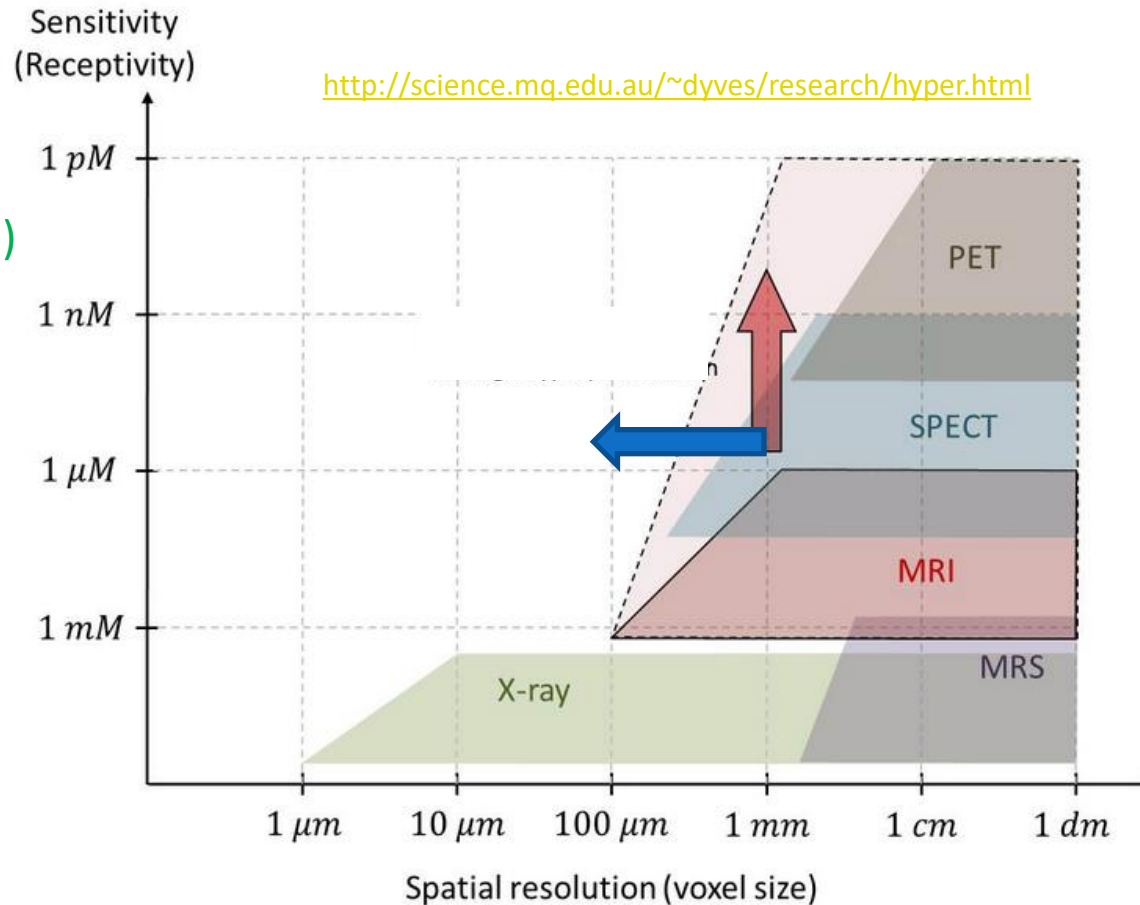
- Record MRI signals from PET/SPECT-type nuclei
- Hyperpolarize spins and observe asymmetry of gamma decay
- Result - **high efficiency (γ detection) and high resolution (MRI)**

● Gamma-MRI Equipment:

- $I > 1/2$ gamma-emitting nuclei
- Spin-polarizer
- MRI magnet
- **Gamma detectors inside B field**

● Shown to work in 2D by:

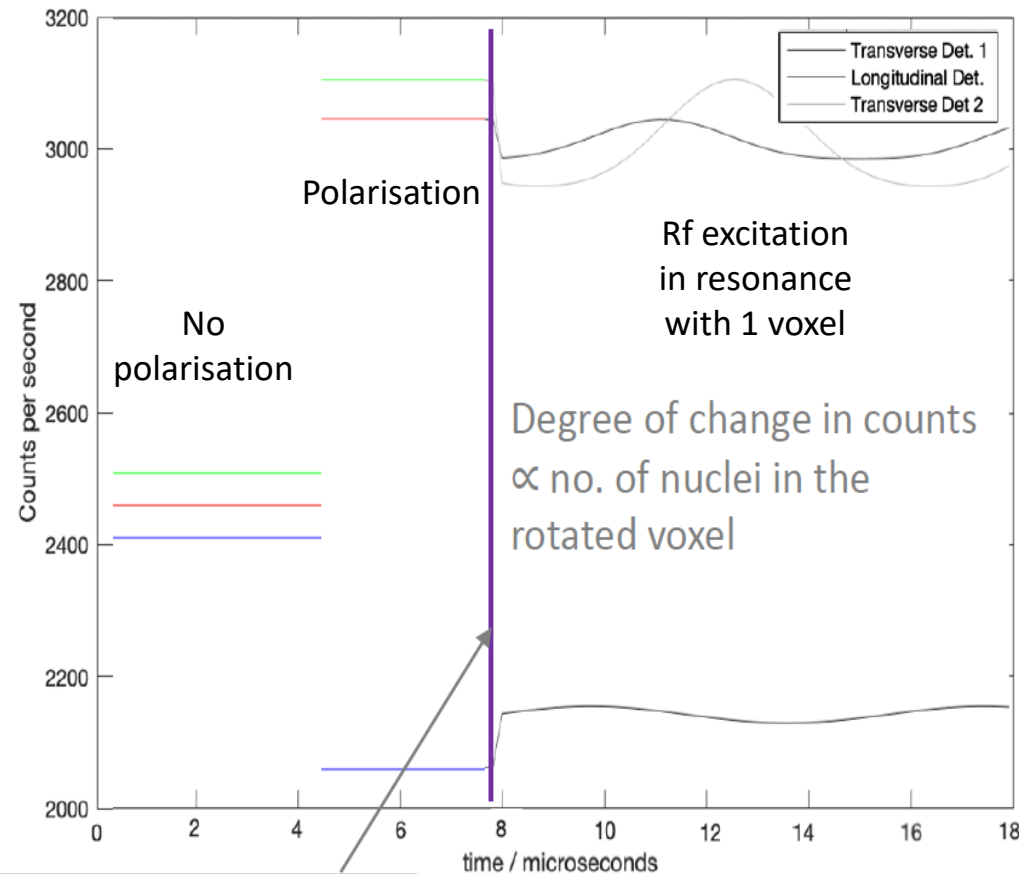
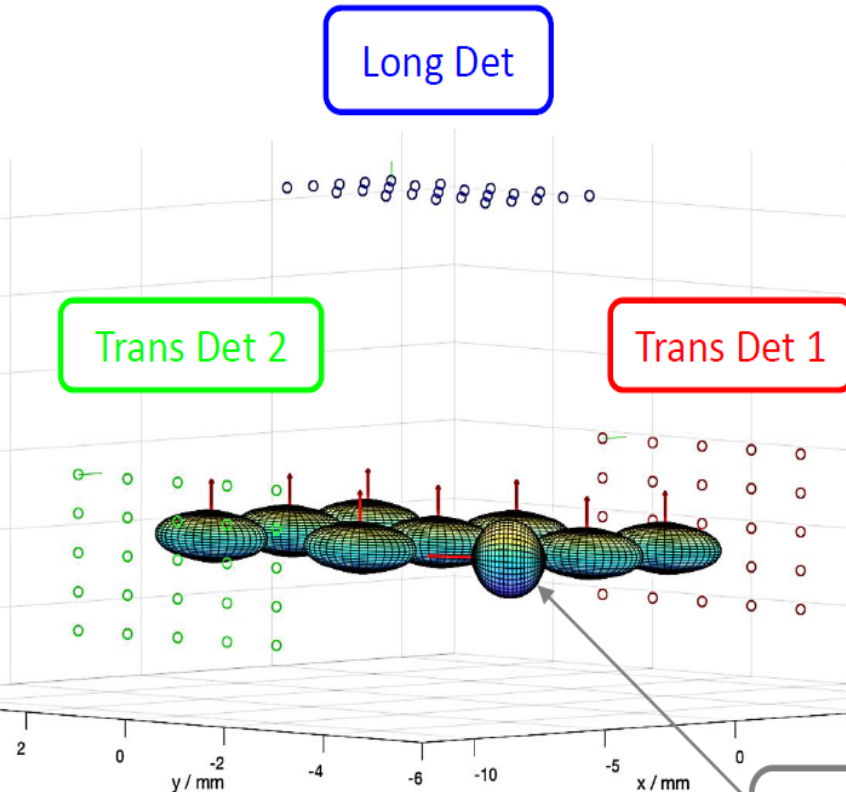
Y. Zheng, G.W. Miller, W.A. Tobias, G.D. Cates, Nature 537, 652 (2016)



γ -detected MRI – spatial resolution

Pixel size

- defined by slope of B-field gradients and spectral width of rf pulse
- more nuclei \rightarrow smaller pixels possible up to B gradient and rf limit

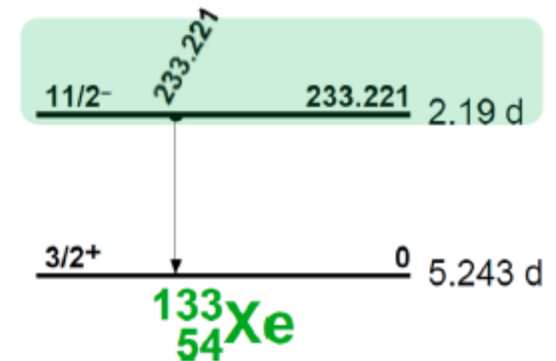
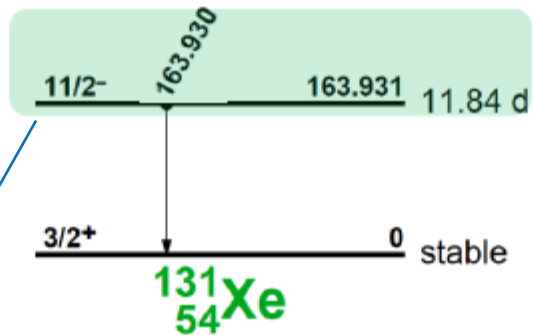
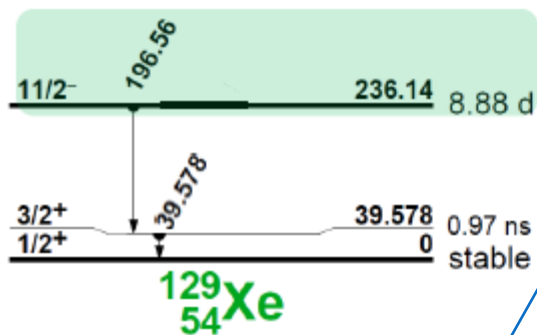


Rotate 1 voxel by 90°
by application of RF pulse

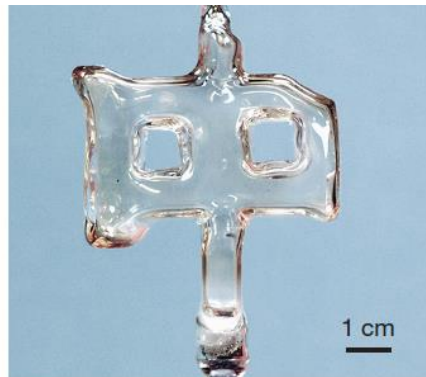
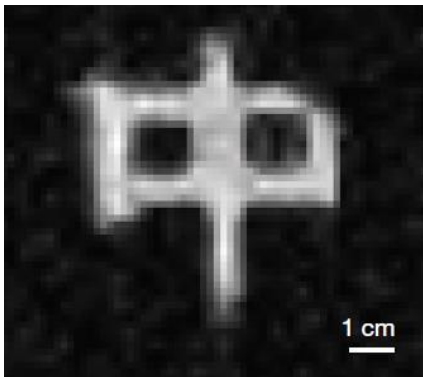
γ -MRI and lung & brain imaging

Imaging using long-lived $^{129\text{m}}, ^{131\text{m}}, ^{133\text{m}}\text{Xe}$ long-lived nuclear states (isomers):

- Xe: biologically neutral, yet binding to biomolecules and passing blood-brain barrier
- Stable ^{129}Xe used for MRI lung (and brain) imaging
- Unstable ^{133}Xe used for SPECT brain imaging



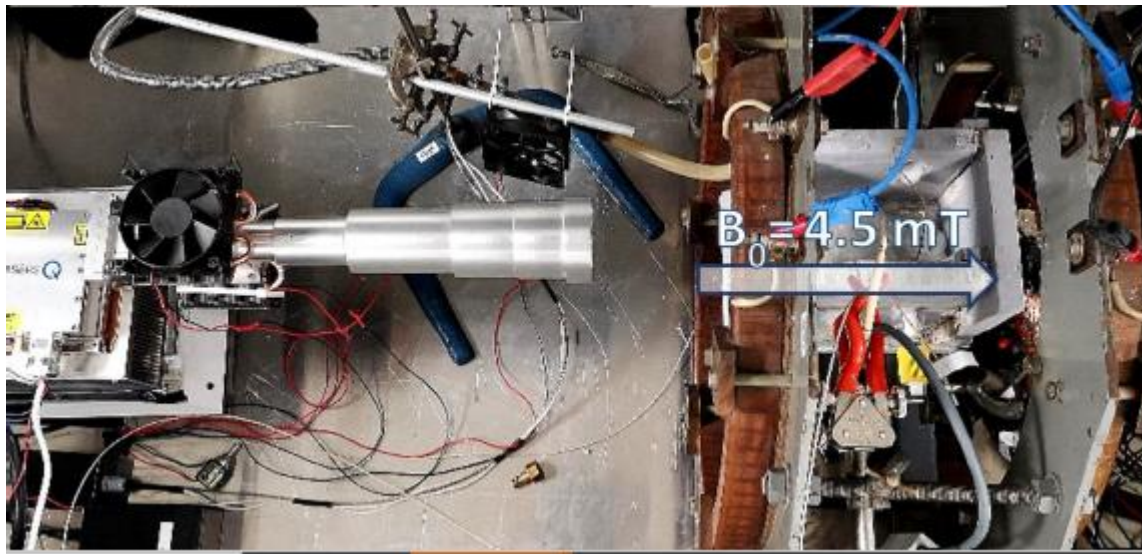
Gain: higher MRI sensitivity or higher nuclear-medicine resolution



Y. Zheng, G.W. Miller, W.A. Tobias, G.D. Cates, Nature 537, 652 (2016)

γ -MRI project status

- Unstable Xe production routes established: ISOLDE, ILL reactor (100-300 MBq)
- 1st tests of Xe polarisation in a compact setup



- 2018-21: CERN seed funding, small team funds from CERN, UNIGE, and HESSO (Geneva), and U Complutense (Madrid)
- April 2021: start of EU Future and Emerging Technologies project (FET-Open)
 - 3.4 MEUR to work on the g-MRI preclinical prototype
 - HESSO (Geneva), U Complutense, UNIGE, CERN, KU Leuven, RS2D, Inspiralia

Summary and outlook

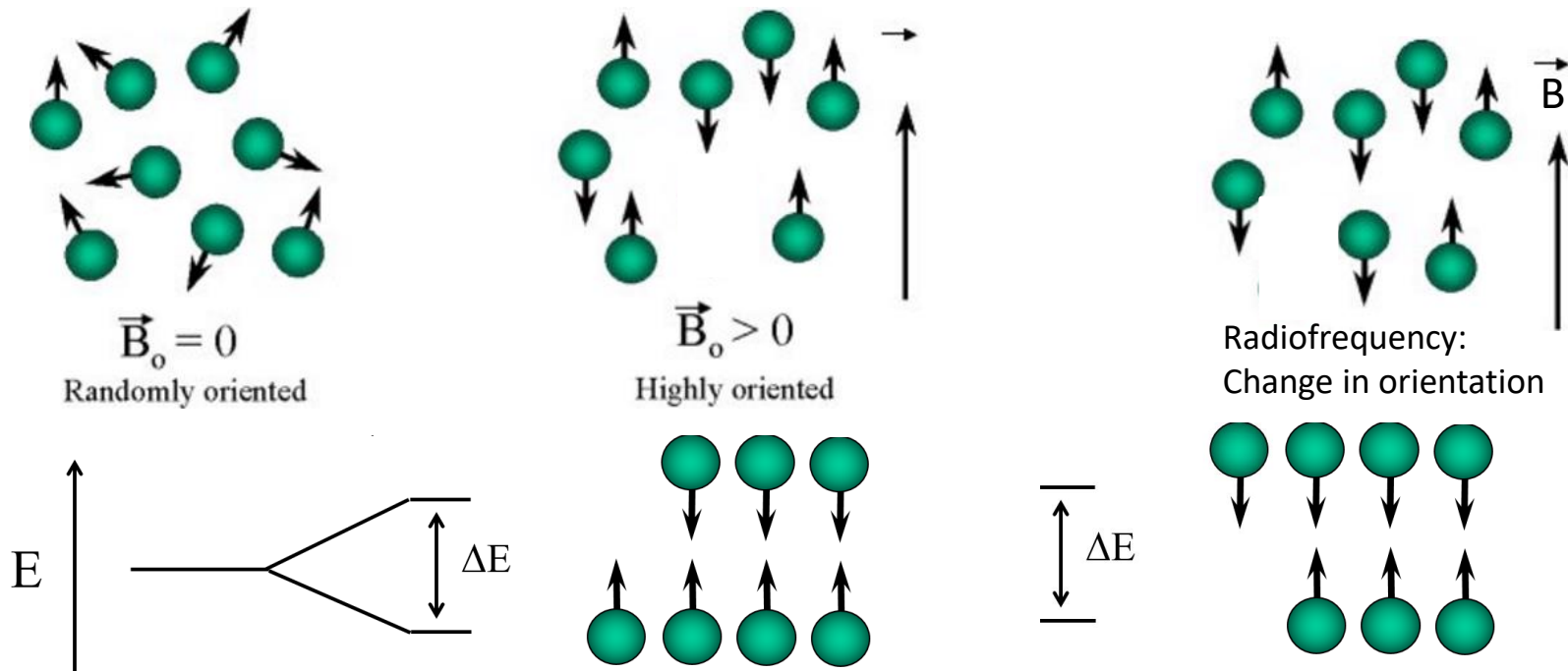
- Unstable nuclei can offer more than diagnosis sensitivity and targeted treatment => decay anisotropy, when their spins are (hyper-)polarised
- Application: strongly increased NMR sensitivity
 - β -detected metal NMR to study metal-ion interaction with biomolecules
 - γ -detected Xe MRI for lung and brain imaging
- Projects in their first stages:
 - Feasibility shown
 - Funding acquired

Stay tuned

Thanks to my collaborators and thank you for your attention

Principles of Nuclear Magnetic Resonance

- Participants:
 - Probe nuclei with spin different from 0
 - Sample/ environment
- Magnetic field
 - Strong static field (B_0)
 - Weaker perpendicular field (B_1) oscillating at radio-frequency (MHz)



NMR in chemistry and biology

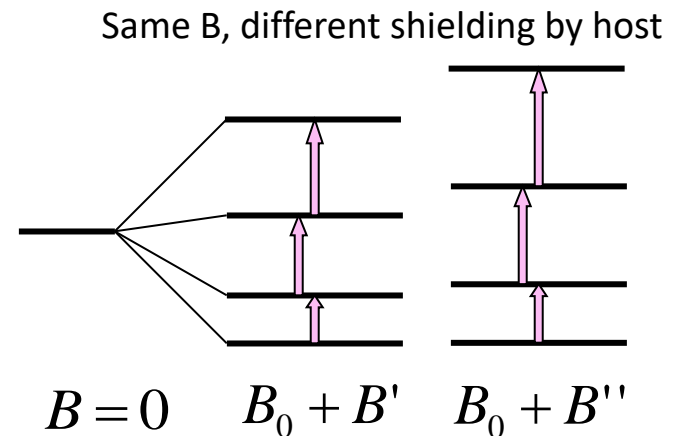
Most versatile method to study structure and dynamics of molecules in solution

- **Observables:** chemical shift (Larmor frequency) and relaxation times in different hosts
- **Determined properties**
 - local electronic environment (i.e. **number and type of coordinating groups**)

Depends on environment

$$\Delta E_{mag} = |g_I| \cdot \mu_N \cdot B + \frac{1}{2} Q \cdot V_{zz}$$

known

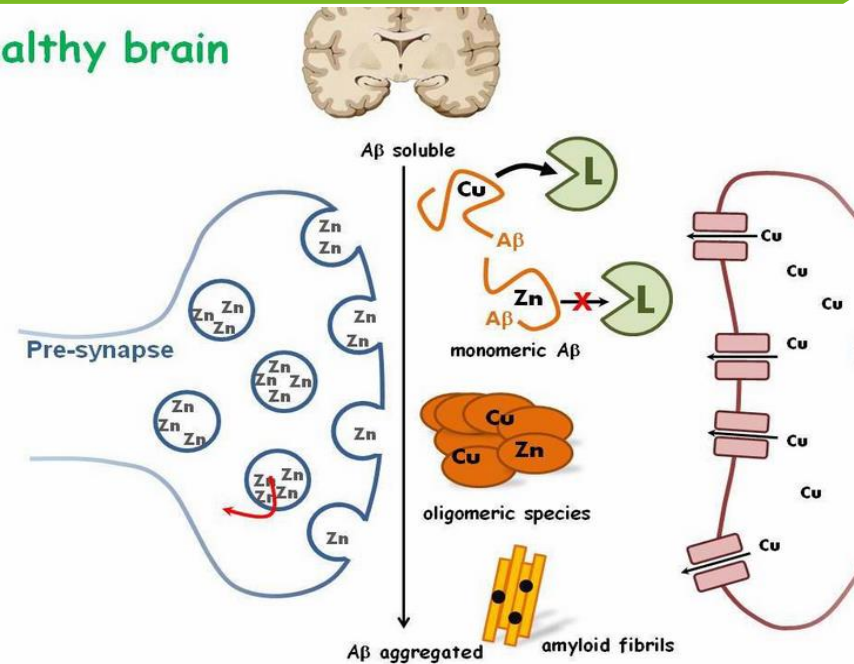


- **Derived information:**
 - Structure and dynamics of different biomolecules
 - kinetics and dynamics and ligand binding of the **metal ions and biomolecules**
 - 3D structure of proteins and **protein-metal complexes**

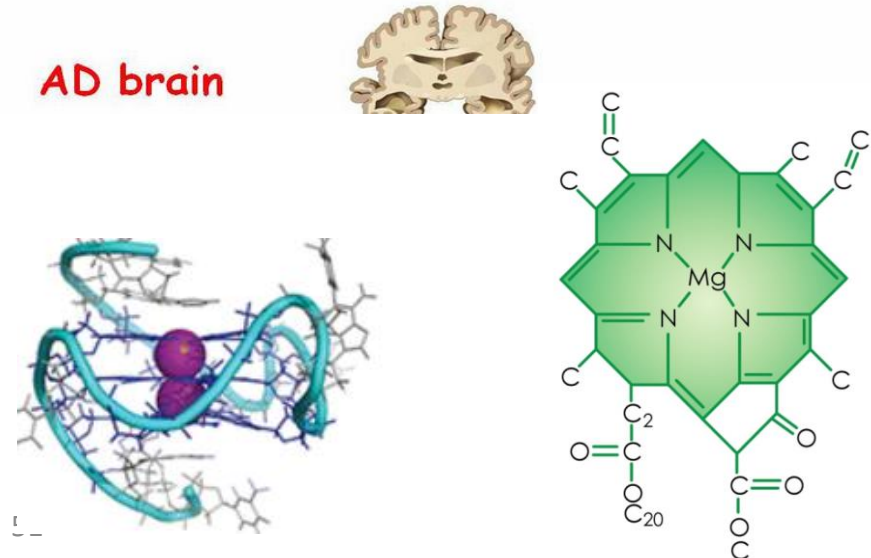
Metal ions in biology

- Role of metal ions in human body depends on adopted coordination environment
- Right concentration crucial for correct functioning of cellular processes
 - Na, K: transport of sugars and amino acids into cells; regulate flow of water across membranes
 - Mg: RNA- and DNA-processing enzymes and ribozymes
 - Cu: present in many enzymes involved in electron transfer and activation of oxygen
 - Zn: 2nd most abundant trace element in human body; catalytic and structural role, regulation of genetic message transcription and translation

healthy brain

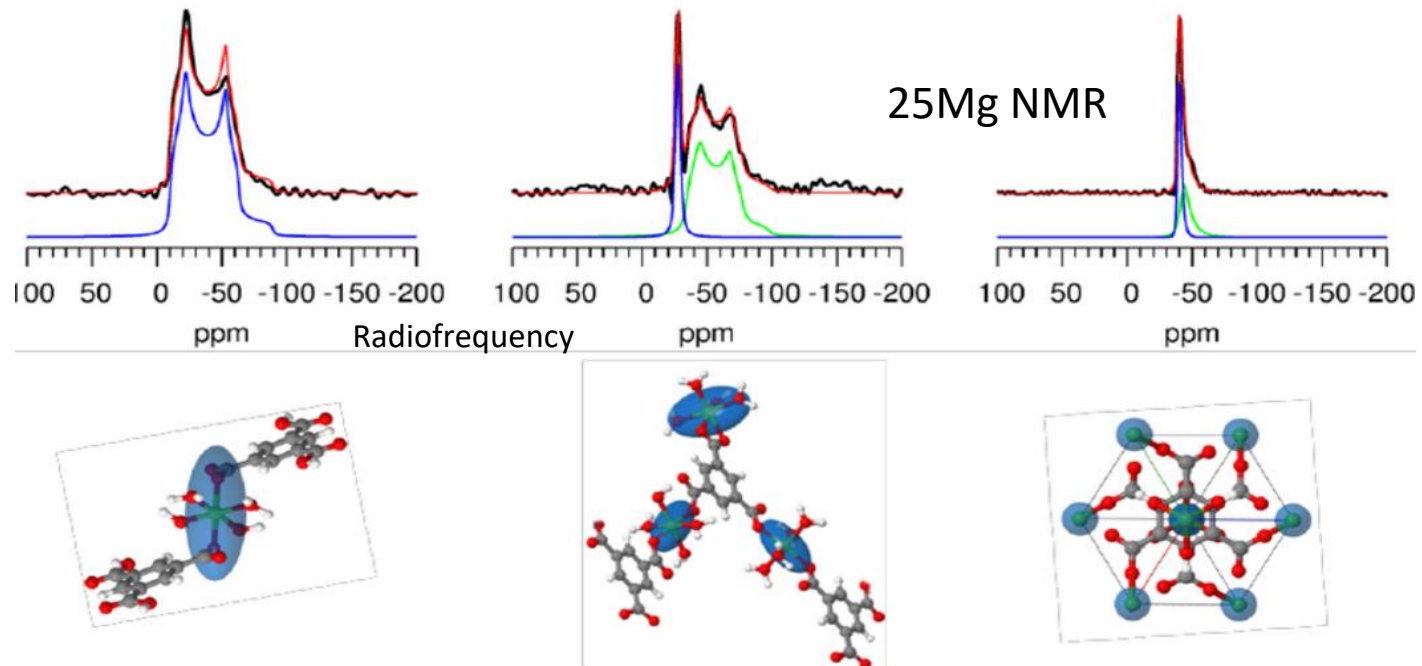


AD brain



Metal ions & NMR

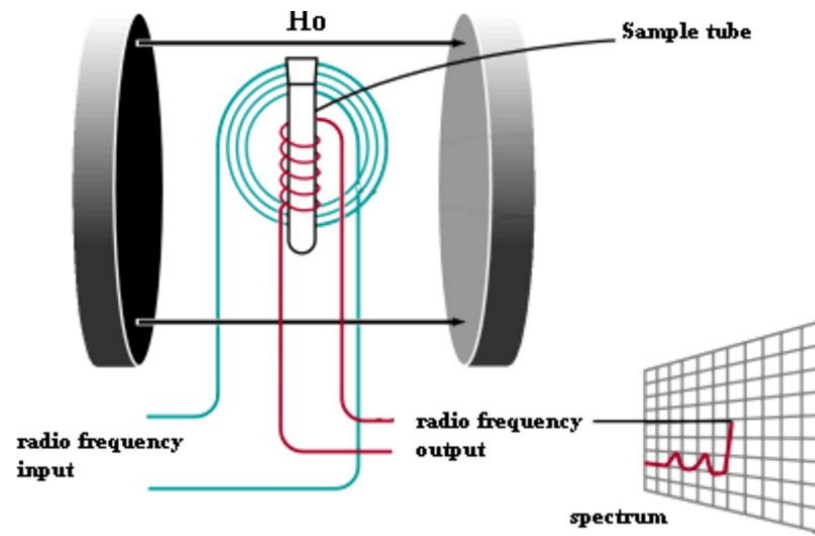
- NMR can provide info on location & evolution of metal-ion binding to biomolecules
 - NMR on ^{23}Na , ^{25}Mg , ^{63}Cu , ^{67}Zn bound to the biomolecule



- Challenges: almost invisible signals due to small abundance, $I > 1/2$, and small sensitivity (due to small magnetic moment)
- Result: metal-ion-NMR used very rarely
- In common with radioactive nuclei:
 - Small amount of nuclei so a sensitive NMR approach is needed

NMR limitation: sensitivity

- NMR is powerful but not sensitive
 - Small degree of spin polarization
 - Inefficient detection
- Our combined paths to increase sensitivity: beta-NMR and gamma-NMR/MRI
 - Hyperpolarization
 - Detection of asymmetry in beta decay



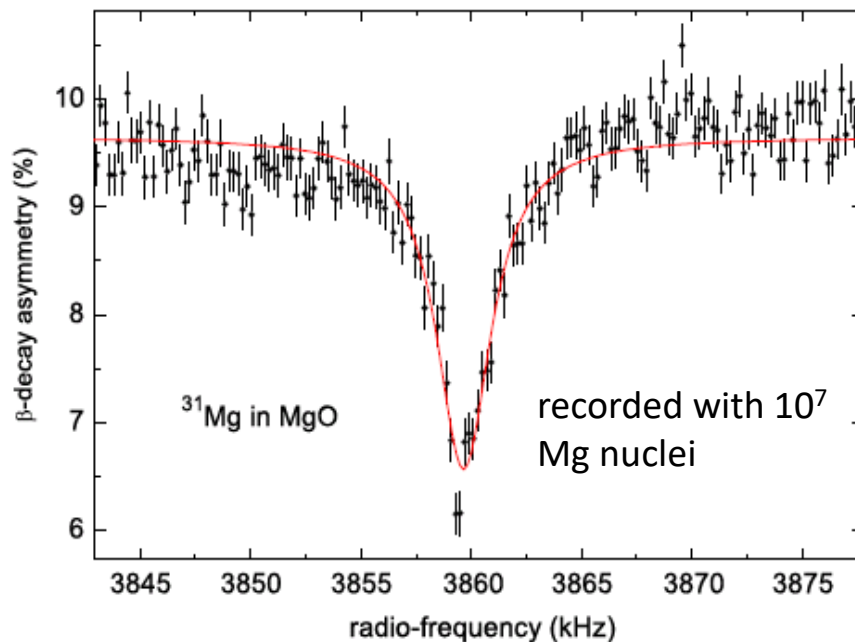
Ultrasensitive beta-detected NMR

- Addresses low sensitivity limitation of conventional NMR:
 - Low degree of polarization -> hyperpolarization
 - Inefficient resonance detection -> particle detection

=> up to **1e10** more sensitive than conventional NMR:

Example:

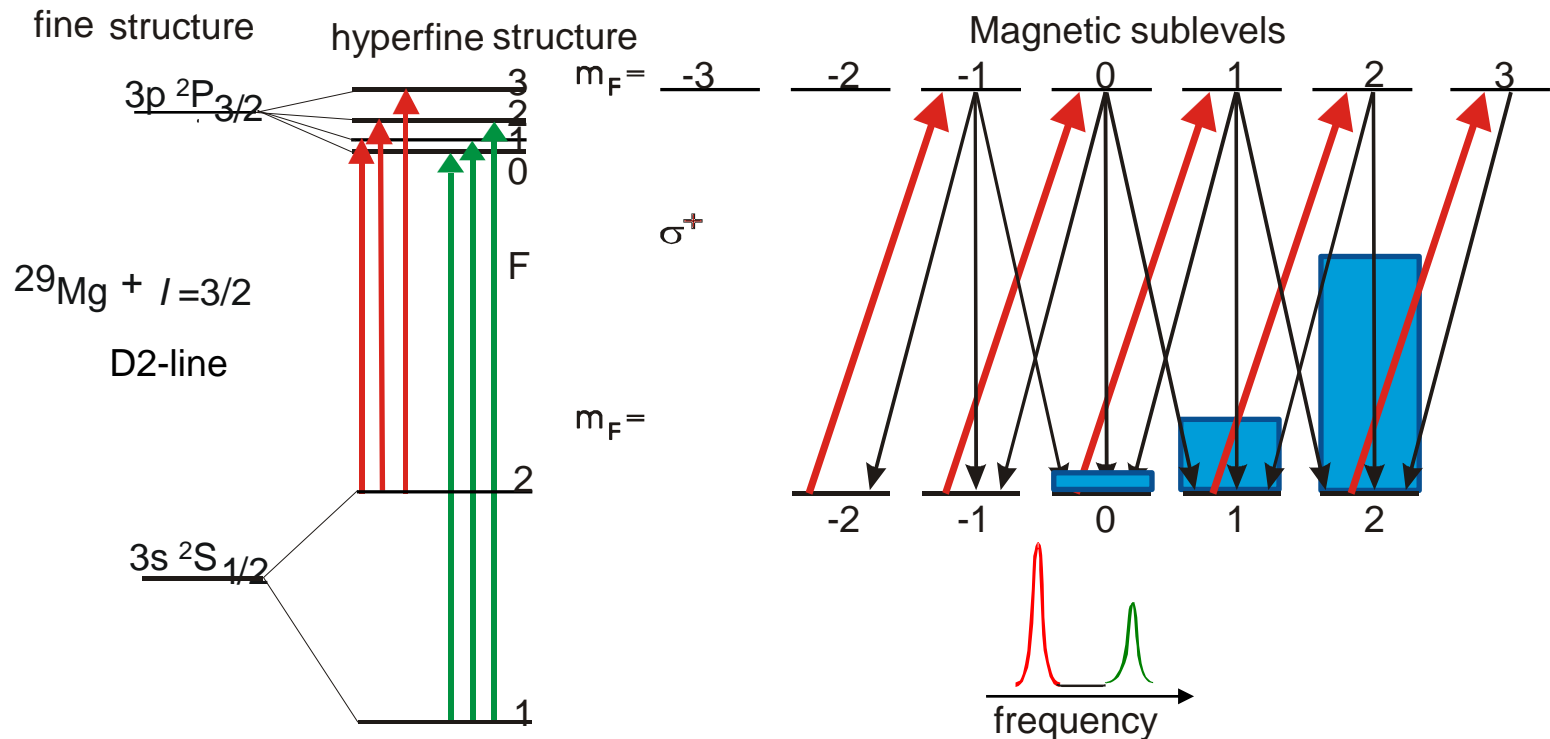
^{31}Mg
 $T_{1/2} = 230 \text{ ms}$
 $I = 1/2$



M. Kowalska
PhD thesis
2006

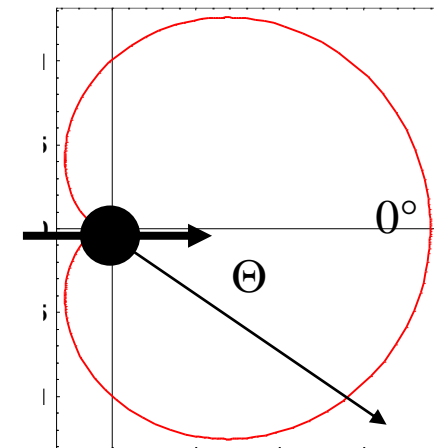
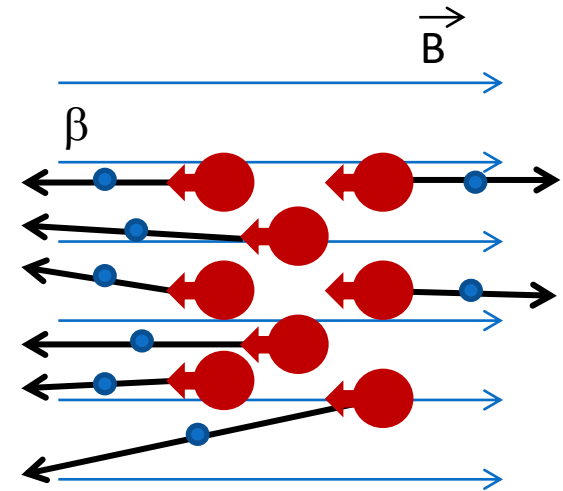
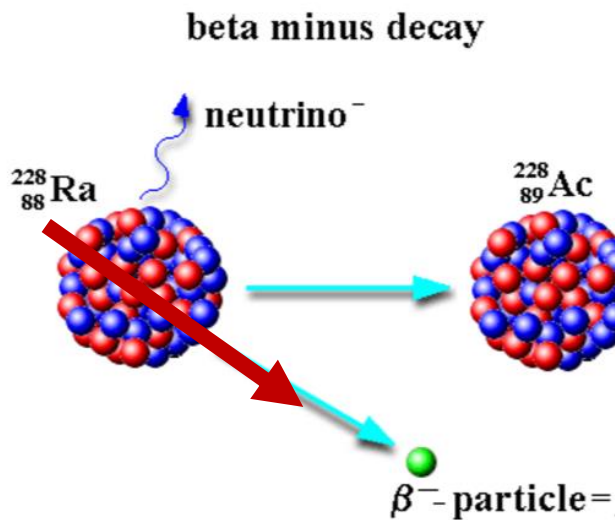
Hyperpolarization: optical pumping

- Multiple excitation cycles with circularly-polarized light
- Photon angular momentum transferred to electrons and then nuclei
 - Works best for 1 valence electron
 - nuclear spin-polarization of 10-90%
 - Polarization buildup time < us

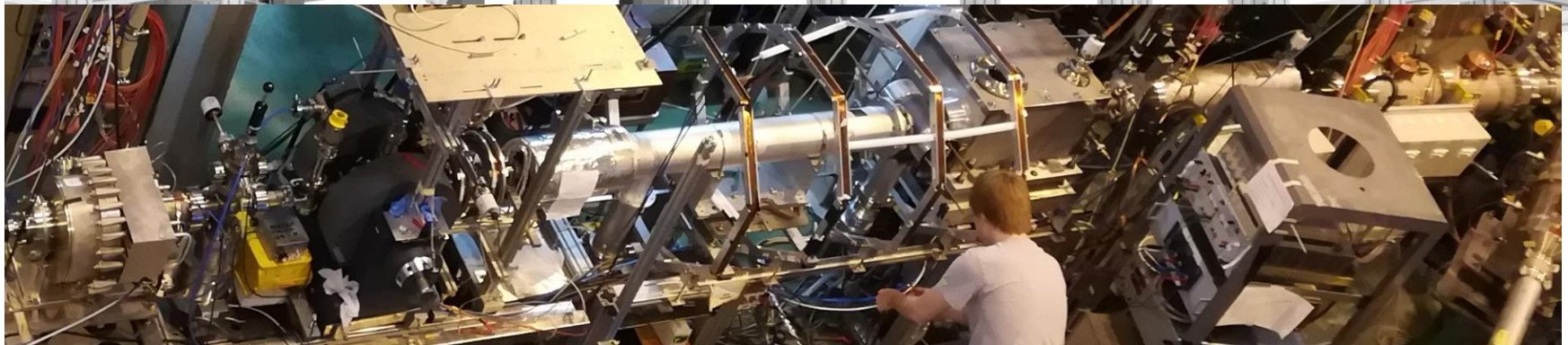
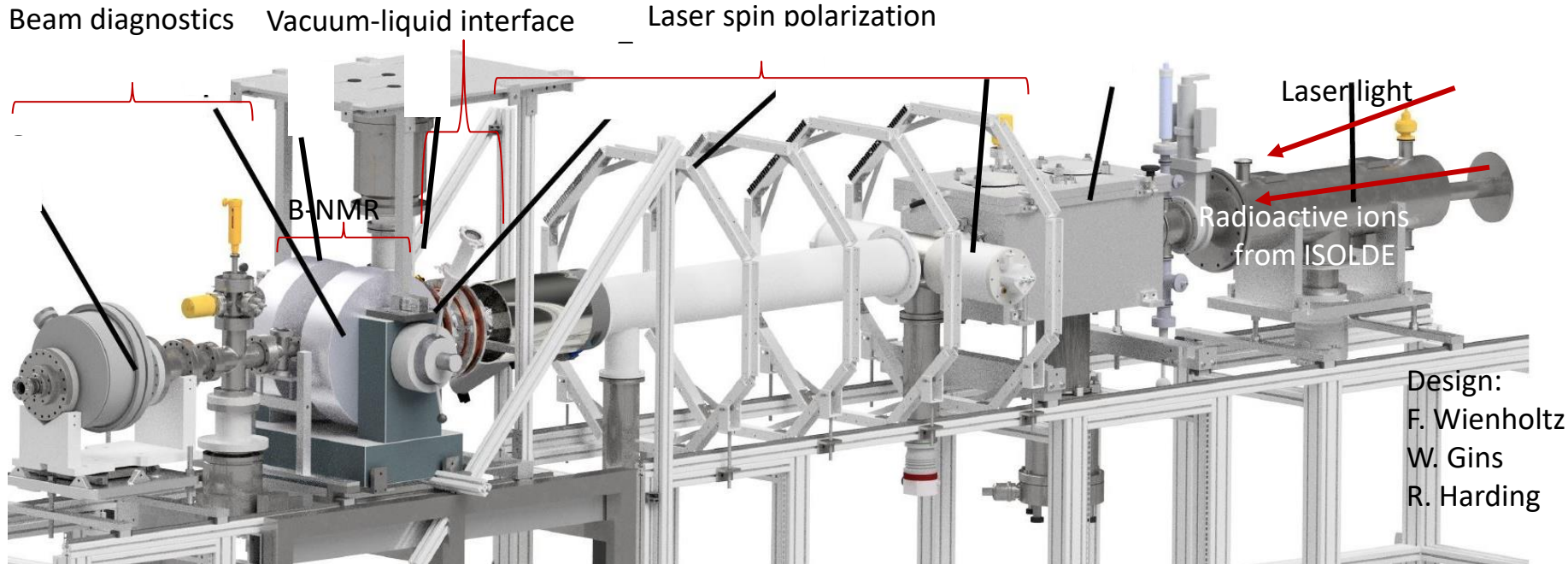


Detection of particles: beta decay

- Many unstable atomic nuclei decay by emitting a β particle (fast electron or positron)
 - **Beta particles are emitted mostly in the direction of the spin**
- => Gain in NMR detection efficiency: up to 10^5



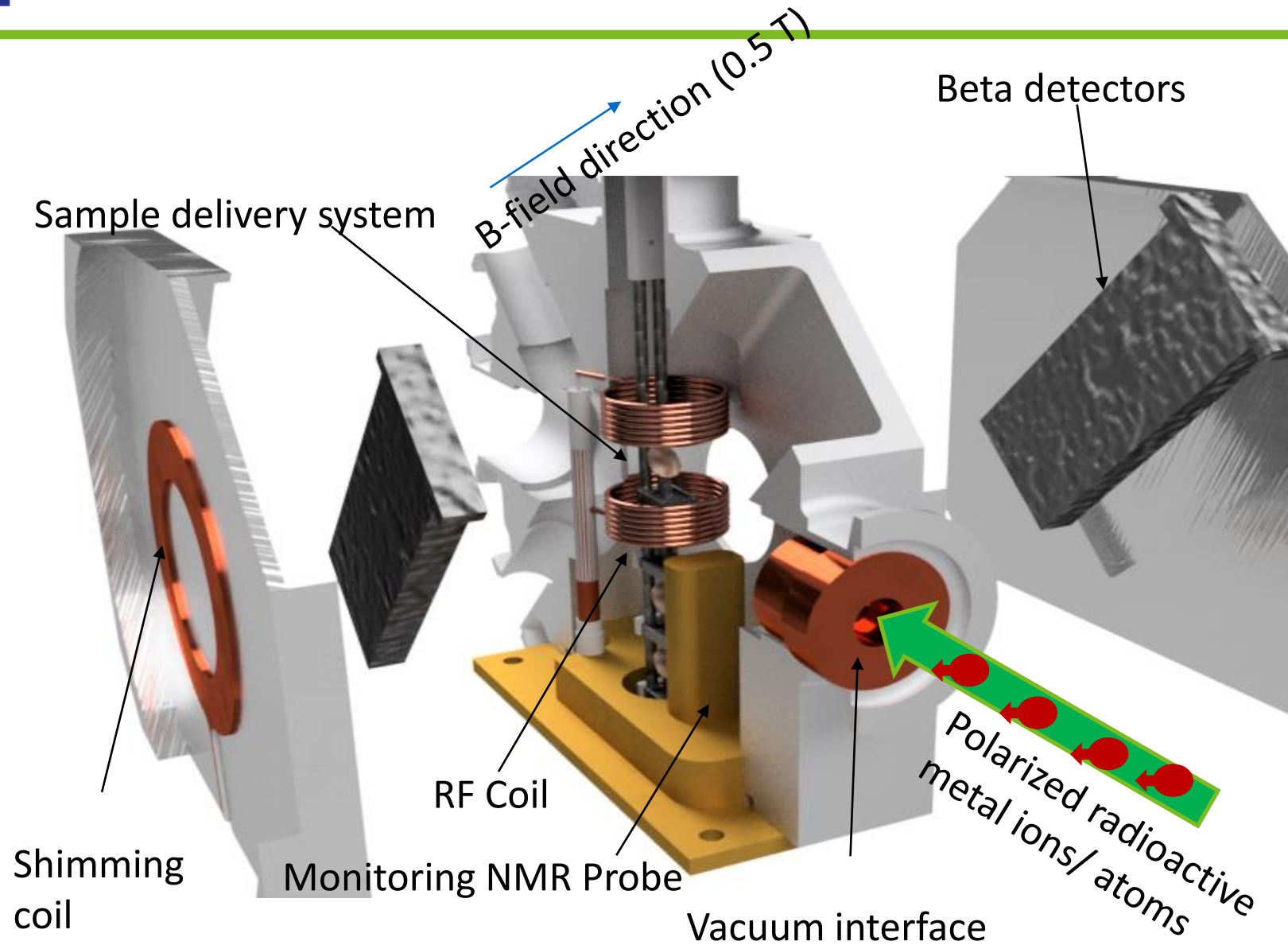
Experimental setup



M. Kowalska et al., J. Phys. G: Nucl. Part. Phys. 44 (2017) 084005
W. Gins et al., to be submitted to Nucl. Instr. and Meth. A

Designed and commissioned in 2016
First physics experiments in 2017
57 First biology-related experiments in 2018

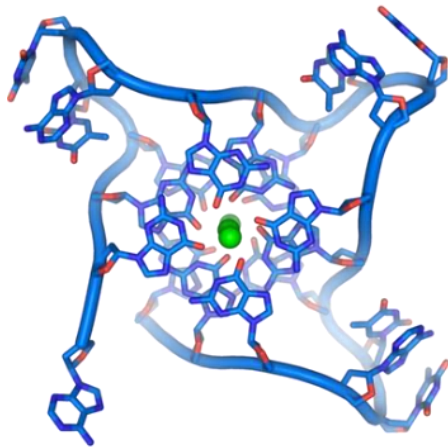
Bio-Beta-NMR chamber



First bio-study: Na⁺ & G-quadruplexes

DNA G-quadruplexes:

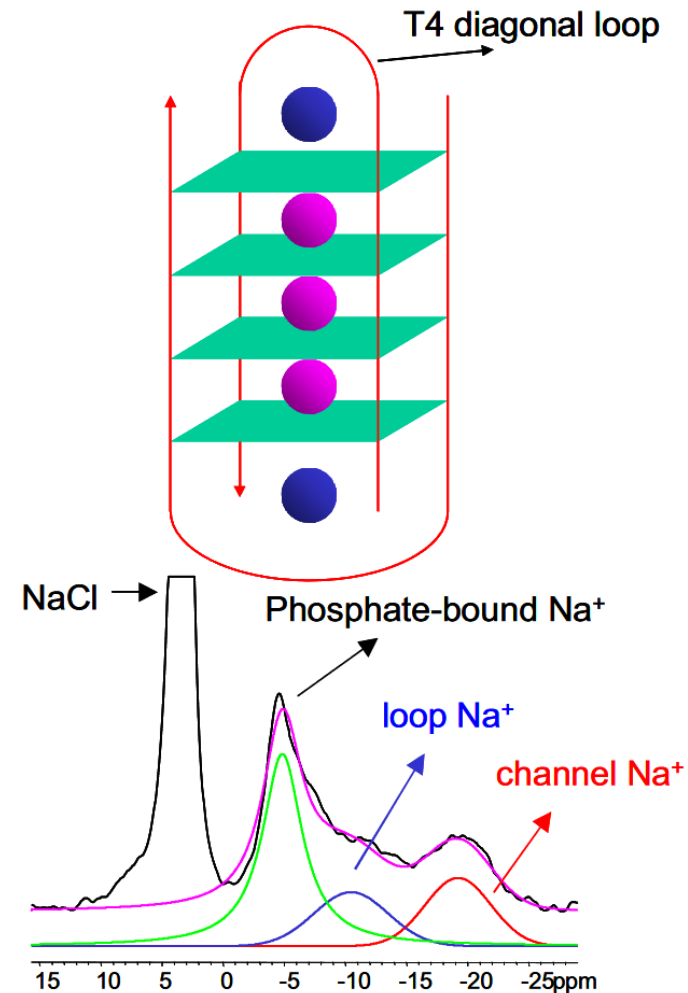
- Guanine-rich DNA fragments
- Found in nature, e.g. in telomeres or oncogenes
- Synthesised for novel applications
- Important in different diseases



Alkali metals in DNA G-quadruplexes

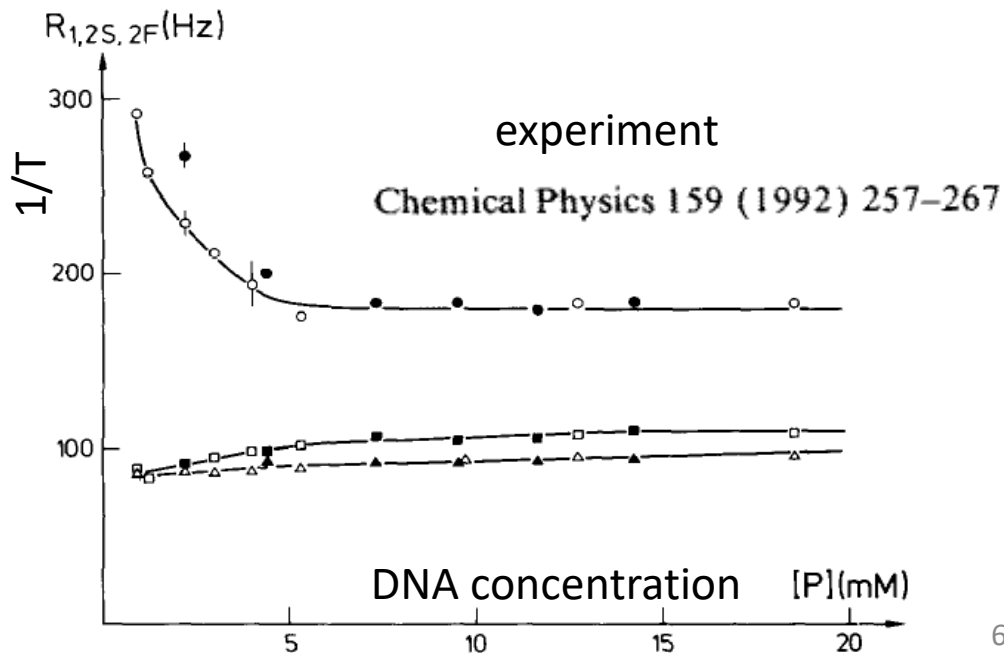
- Important for their formation, stability and structural polymorphism
- Until recently considered invisible in conventional Na⁺/K⁺ NMR

One of few ²³Na NMR GQ studies:
R. Ida, G. Wu, JACS, 2008

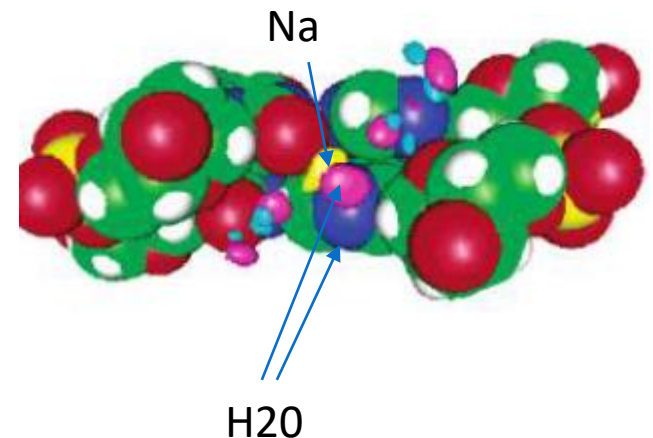


NMR on Na⁺ and DNA interaction

- T1 relaxation measurements:
 - Quadrupole moment of ²³Na interacts with electric-field inhomogeneities (gradients) in the environment
 - Longer T1 relaxation time: more homogenous environment
 - Shorter T1: less homogenous environment
- ²³Na T1 measurements have been used to study:
 - Influence of drugs on DNA folding
 - Na binding site to DNA: grooves or backbone



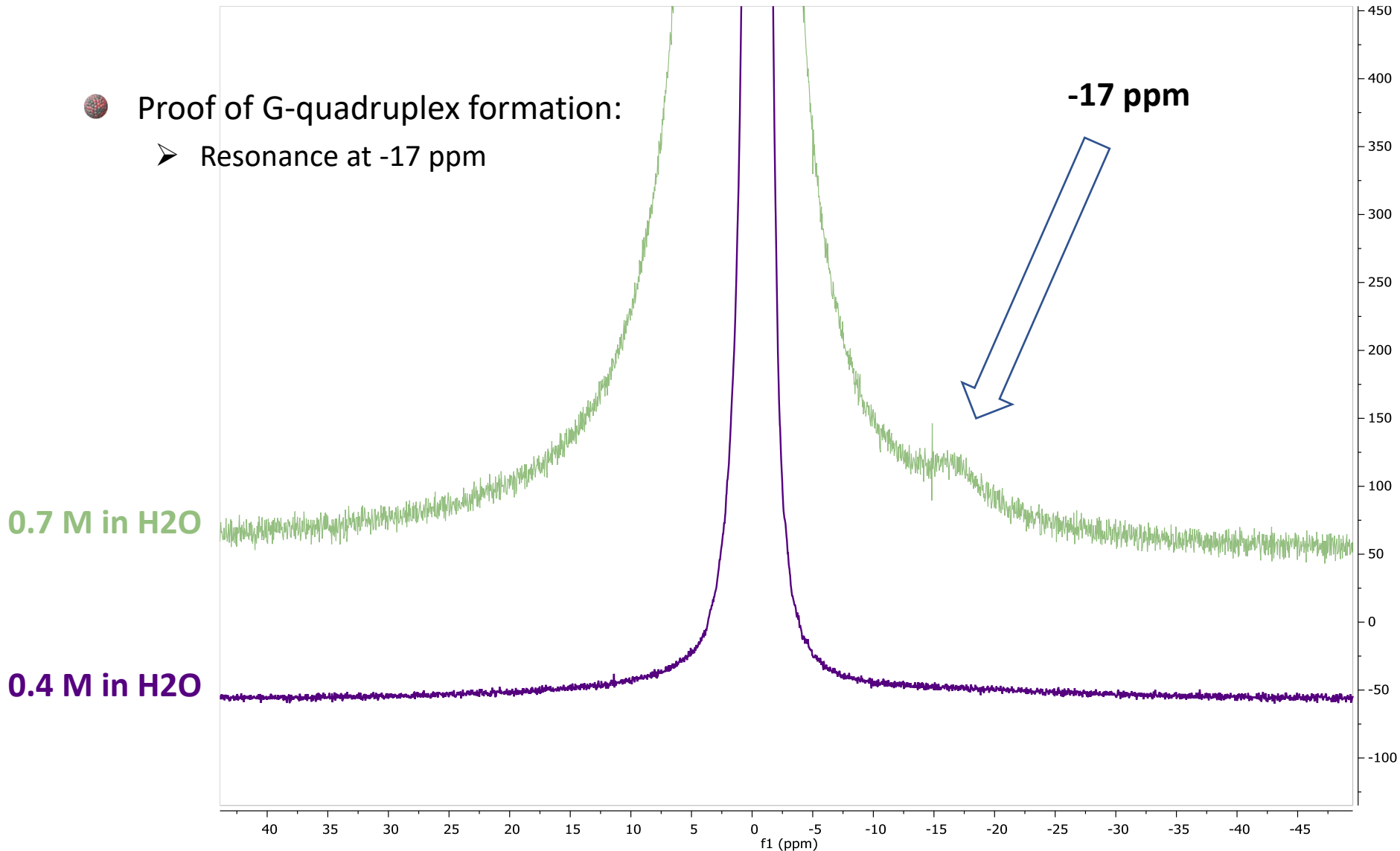
simulations
J. Phys. Chem. B 2004, 108, 16295



NMR on Na⁺ and G Quadruplexes

Conventional ²³Na NMR

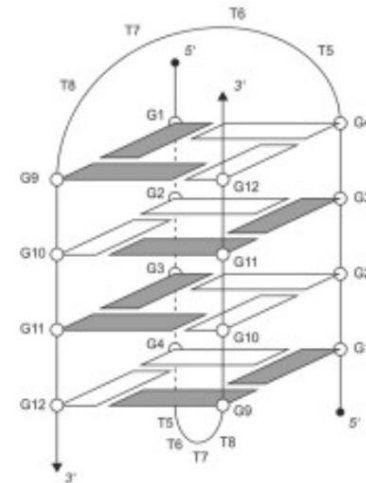
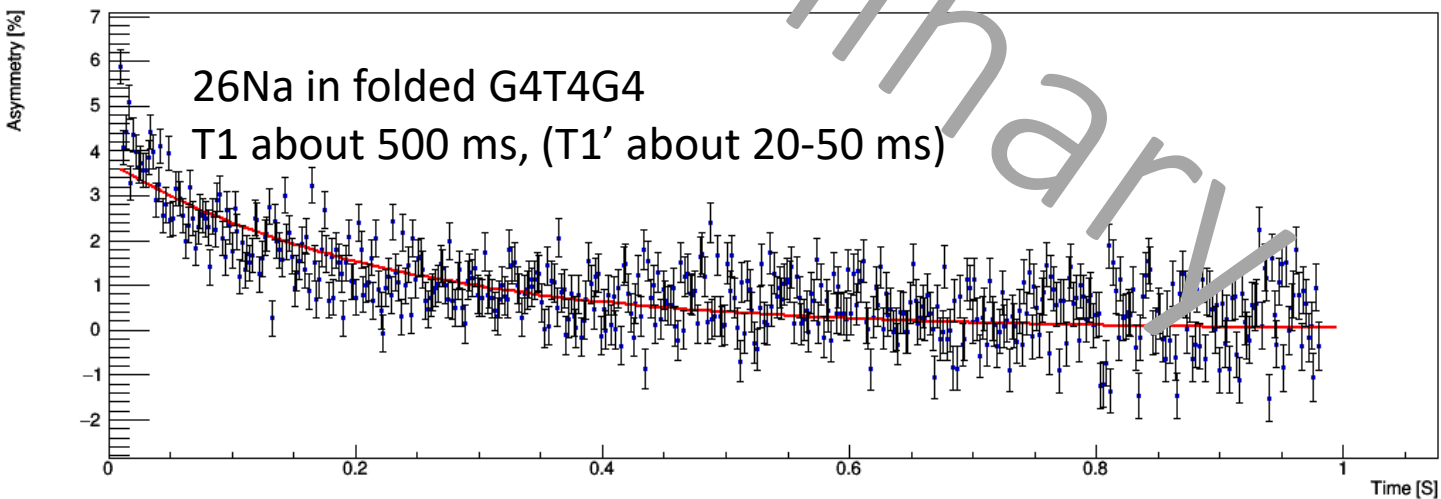
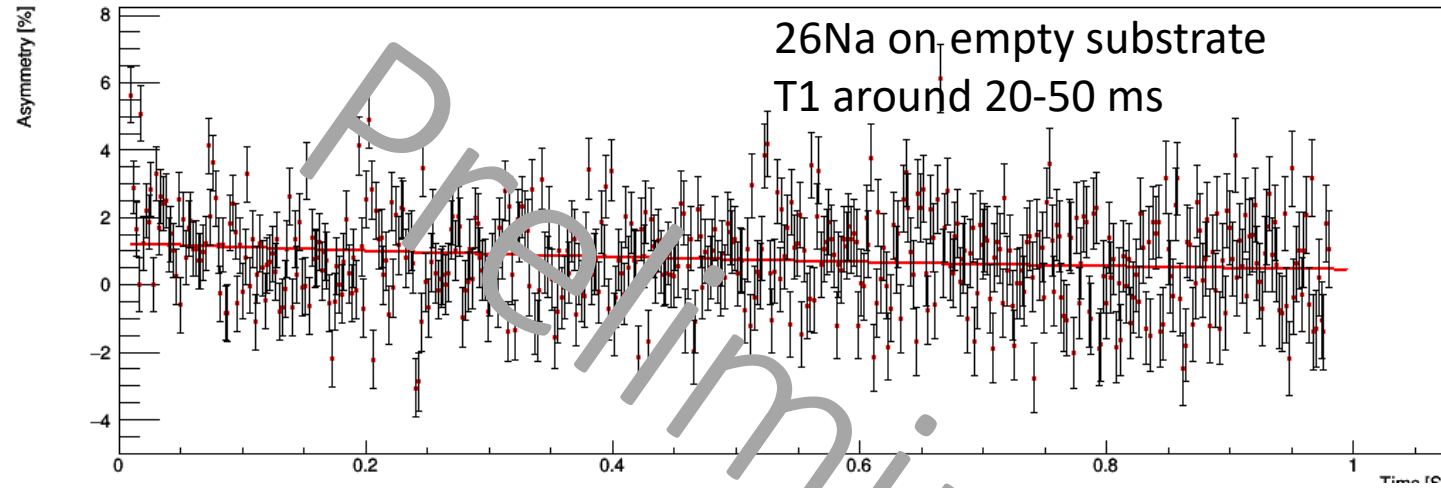
- Proof of G-quadruplex formation:
 - Resonance at -17 ppm



β -NMR: ^{26}Na T1 in G4T4G4 G-quadruplex

May 2018

Folded
G4T4G4
DNA sequence
on substrate



- T1 in presence of GQ quite long (due to relatively symmetric environment of GQ?)
- Calculations should help in more detailed interpretation
- Oct18 NMR spectra under analysis – probably too broad to see -17 ppm shift

Beyond 2018

Already polarized at ISOLDE:

8,9Li

11Be

26-28Na

29,31Mg

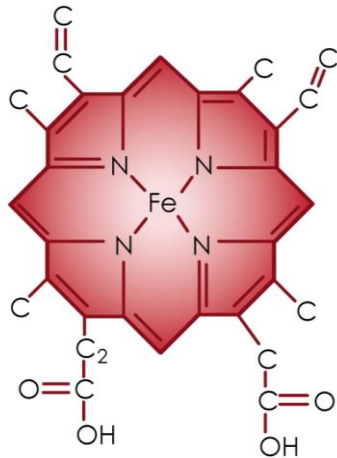
Feasible and planned soon:

37,49K

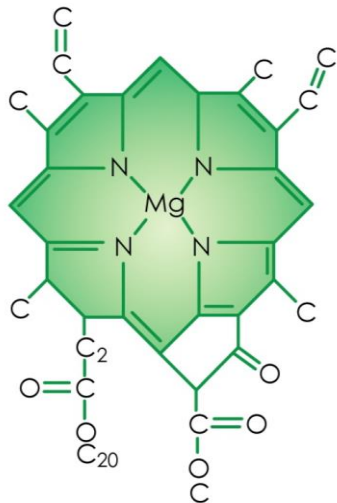
39,51Ca

58,74,75Cu

75,77Zn

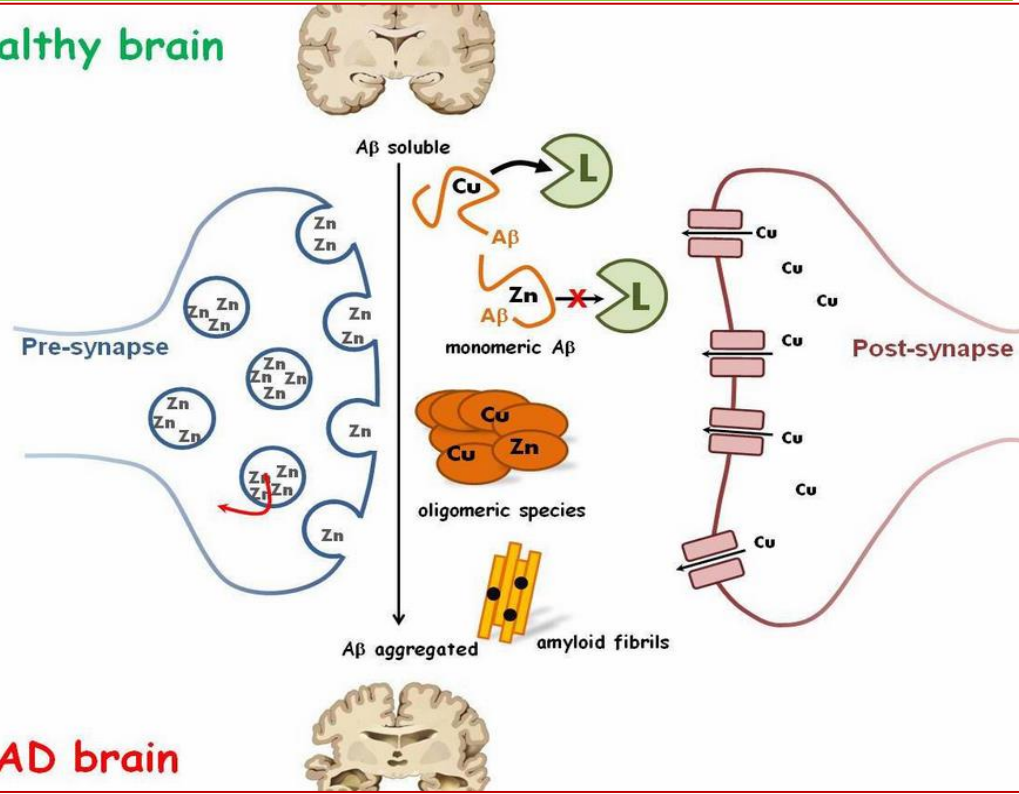


Human Blood
Hemoglobin

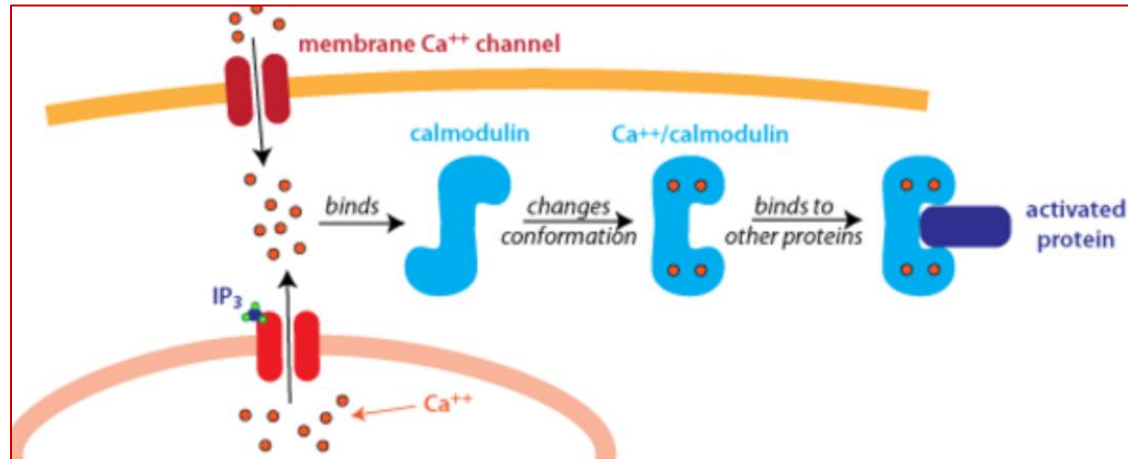


Plant Chlorophyll

healthy brain



AD brain

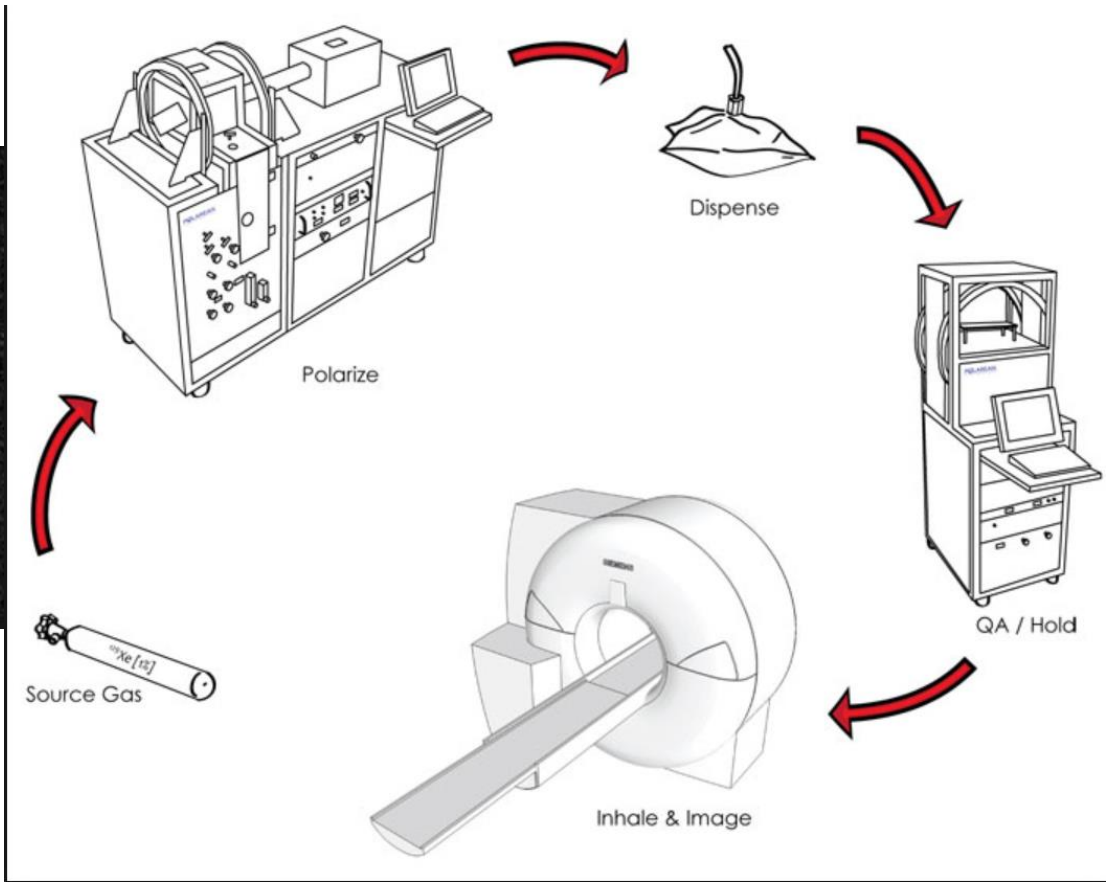
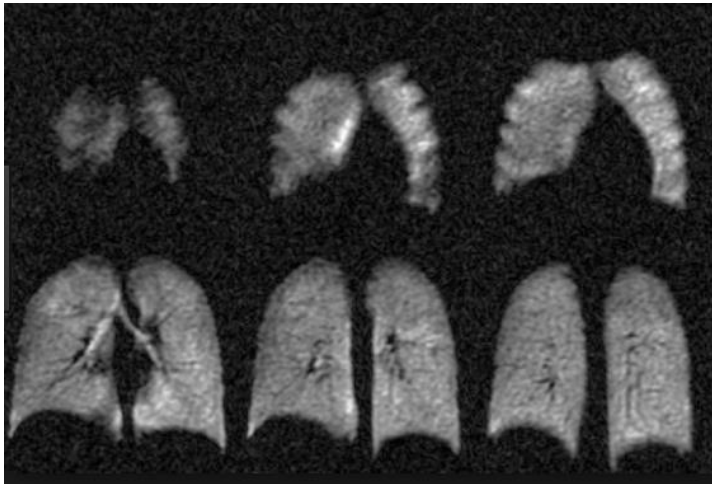




Magnetic resonance imaging

MRI with hyperpolarized nuclei

- MRI: high resolution, but small sensitivity
- Hyperpolarization: increase in sensitivity by up to $1e5$
- Best example: ^{129}Xe :
 - Polarized via spin-exchange with laser-polarized Rb
 - Applications: lung and brain MRI, encapsulation and use in body liquids

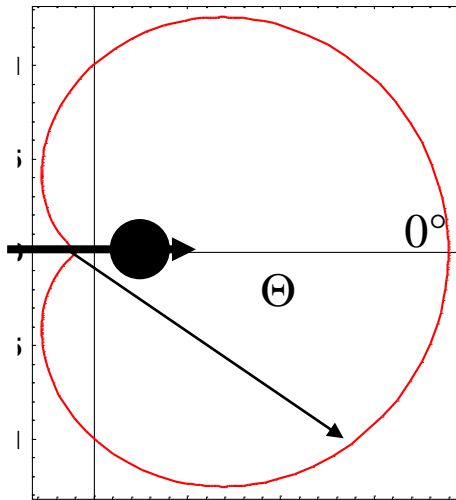


1st medical applications of ^3He :
W. Heil et al, Mainz, Nature 1996

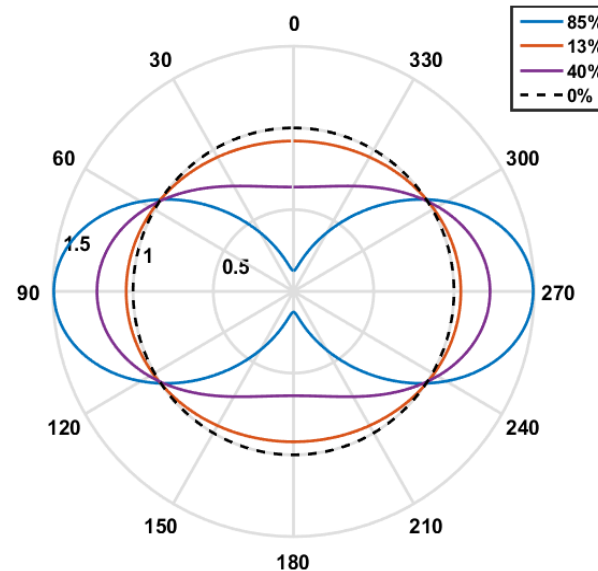
Gamma-decay asymmetry

- Gamma rays emitted by de-exciting nuclear states are anisotropic in space:
 - $I > 1/2$ nuclei
 - Asymmetry between spin direction and perpendicular to it
- Change of asymmetry -> very sensitive way to record NMR or MRI resonances
 - Increase in sensitivity: $1e5$ vs hyperpolarized MRI with stable nuclei

Beta decay, $I > 0$



Gamma decay, $I > 1/2$



New modality: gamma-MRI

PET/SPECT and MRI have complementary features:

	Detection efficiency	Spatial resolution
PET and SPECT	high	Low (e.g. >5mm for ^{82}Rb)
MRI	low	High

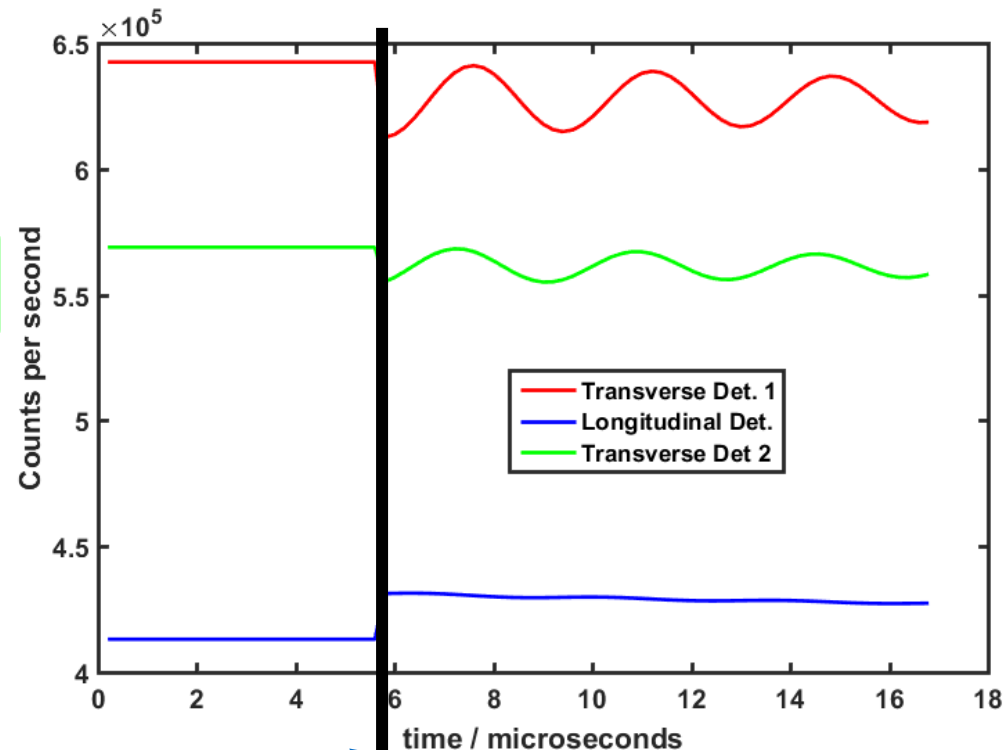
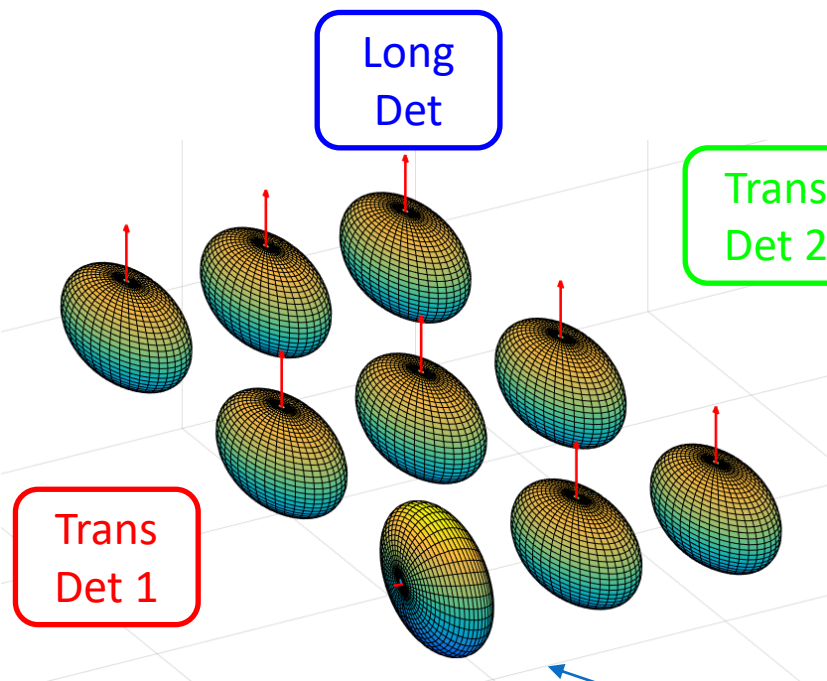
Solution: **gamma-MRI (or simultaneous SPECT-MRI):**

- What - Record MRI signals from PET/SPECT-type nuclei
- How - Hyperpolarize spins and observe asymmetry of gamma decay
- Result - **high efficiency (gamma detection) and high resolution (MRI)**
- Status: method shown to work: Y. Zheng, et al., Nature 537, 652 (2016)

- **Gamma-MRI Equipment:**
 - $I > 1/2$ gamma-emitting nuclei
 - Spin-polarizer
 - MRI magnet
 - **Gamma detectors inside B field**

Gamma MRI – spatial resolution

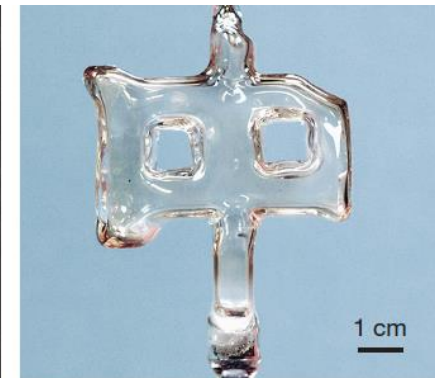
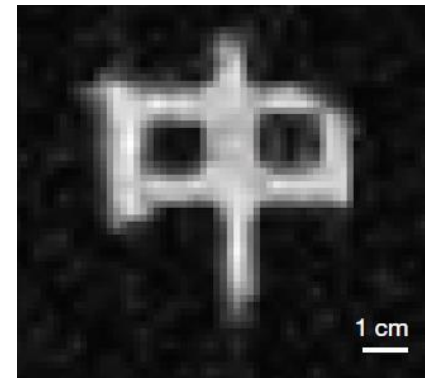
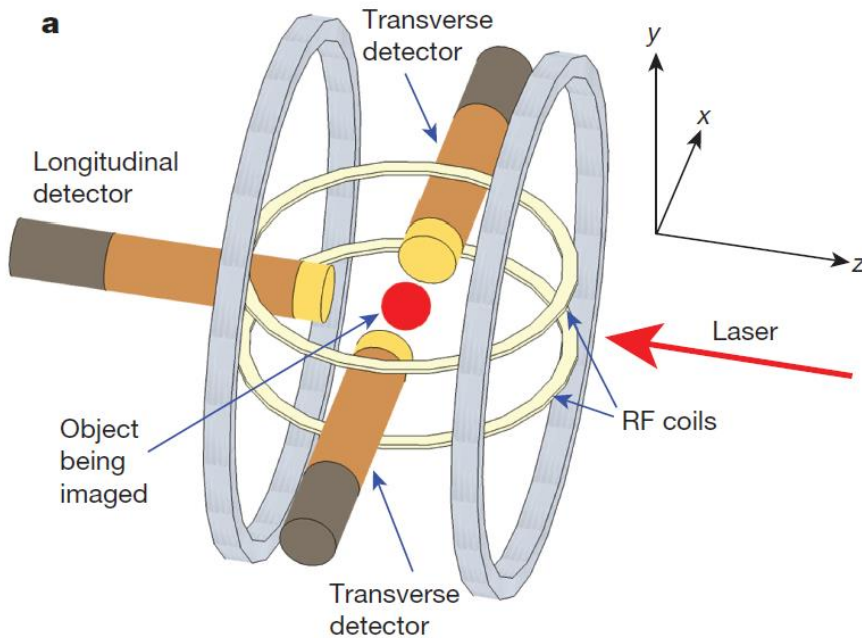
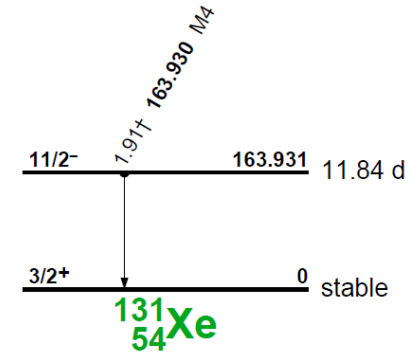
- Pixel size
 - defined by slope of B-field gradients and spectral width of rf pulse
 - more nuclei -> smaller pixels possible up to B gradient and rf limit
- 1 pixel in resonance:
 - change in total gamma counts visible in each detector
 - Degree of change proportional to number of nuclei in addressed pixel



First gamma-MRI

Y. Zheng, G.W. Miller, W.A. Tobias, G.D. Cates, Nature 537, 652 (2016)

- **$^{131\text{m}}\text{Xe}$** : $t_{1/2} = 12$ days
- **Setup**: low B-field
- **Results**: space-resolved signal (recorded pixel after pixel) with $1e13$ nuclei vs $1e24$ normally

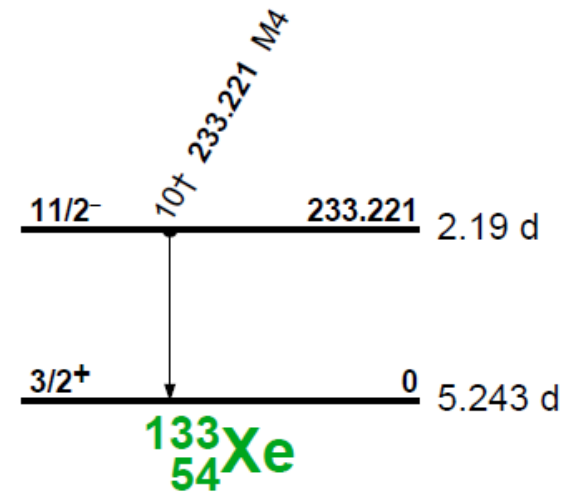
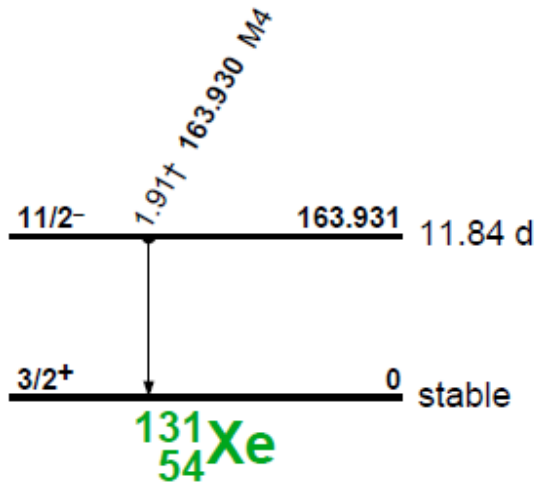


Our gamma-MRI project

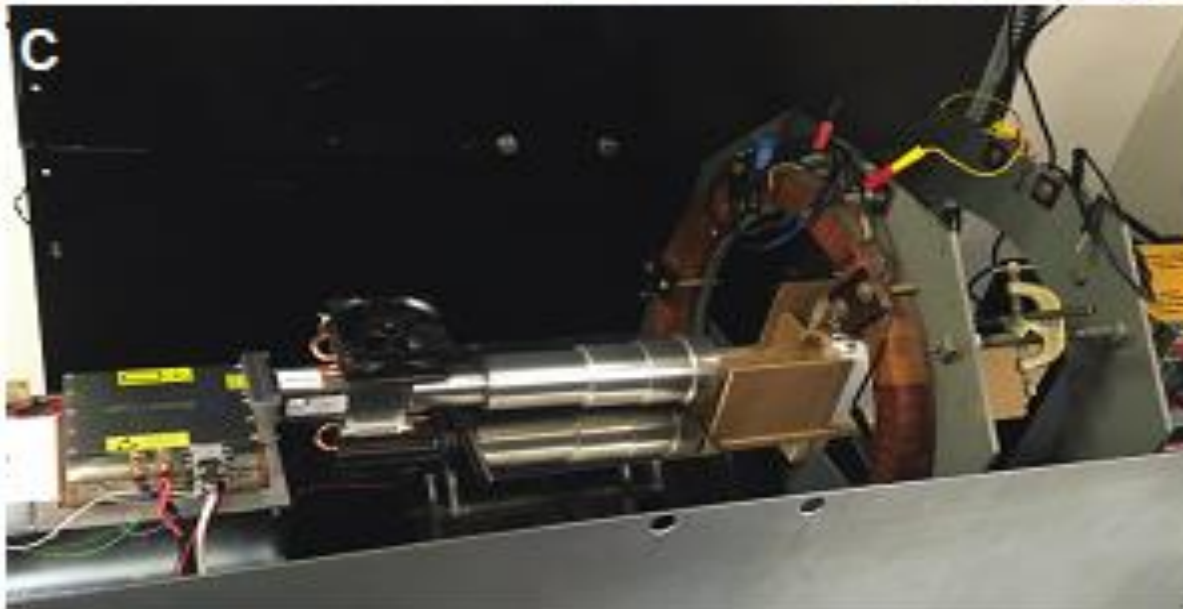
- Work on feasibility of the technique:
 - Use PET/SPECT isotopes or their isomeric states
 - Optimising rf pulses
 - Maintaining of polarization
 - First detectors
- => lower dose required to record signals
- Work on proof-of-principle experiment with commercial MRI scanner

Our 1st isotopes

- Lung and brain studies



Our test gamma-MRI setup



Summary and outlook

- NMR in nuclear physics and biology
 - Valuable, very different, and facing same challenges – need for high sensitivity
- NMR and metal ions in biology
 - Sheds light on interactions with different biomolecules
- NMR low sensitivity can be increased by orders of magnitude with beta-NMR
 - Laser spin hyperpolarization
 - Detection of asymmetry in beta decay
- Beta-NMR in biological samples
 - Experimental setup at CERN
 - First biological experiments on Na interaction with DNA G-quadruplex structures
- More studies with Na and other metal ions coming up
- Increase in MRI sensitivity with gamma-detected MRI
 - Ideal for noble gas imaging, e.g. He or Xe
 - Project starting in Geneva

Acknowledgements

Experimental setup:

CERN: J. Croese, R. Harding, S. Pallada, K. Dziubinska-Kuehn, F. Wienholtz, M. Jankowski, A. Javaji, P. Wagenknecht, R. Engel

KU Leuven: G. Neyens, W. Gins, F. Gustafsson, X. Yang, H. Heylen, A. Kanellakopoulos, V. Araujo Escalona

U Manchester/CERN: M. Bissell

AMU Poznan: M. Baranowski, M. Walczak

U Tennessee: M. Madurga Flores, X. Zhang

NPI Rez: D. Zakoucky

Biology (and conventional NMR):

NIC, Ljubljana: J. Plavec, V. Kocman

AMU Poznan: M. Kozak, J. Wolak, K. Szutkowski

U Copenhagen: L. Hemmingsen, F.H. Larsen,

UNIGE: L. Cerato, D. Jeannerat, E. Sistate



UNIVERSITÉ
DE GENÈVE



THE UNIVERSITY OF
TENNESSEE
KNOXVILLE

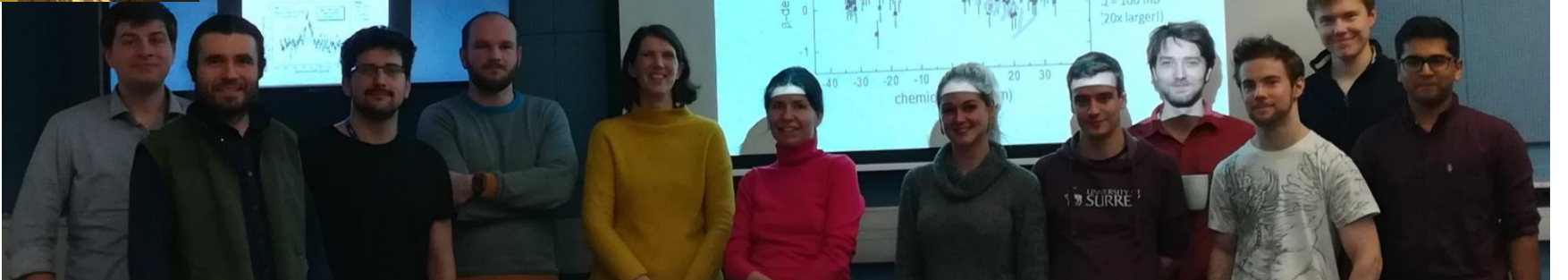
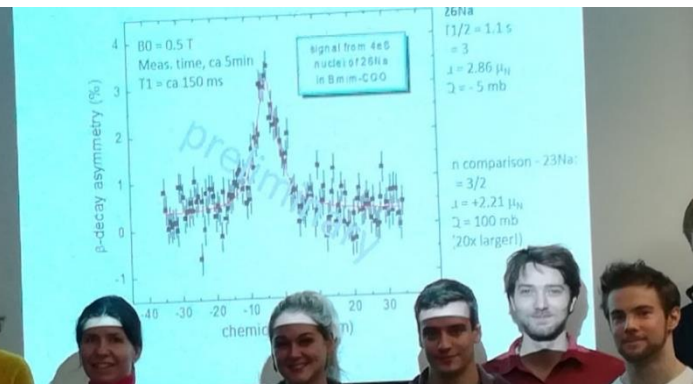
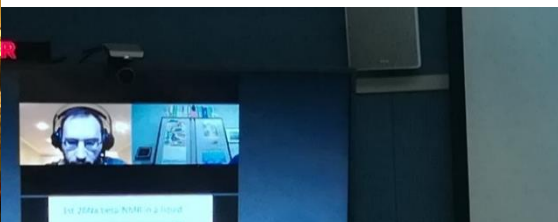
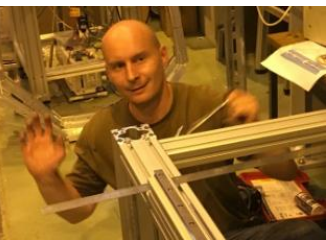
Gamma-MRI:

UNIGE/CERN: R. K. Kulesz

HESGE: J-N. Hyacinthe, E. Vinckenbosch

CERN: S. Pallada, J. Croese, T. Stora

Madrid: L. Fraile et al





NMR in nuclear physics

Method to determine precisely magnetic & quadrupole moments of short-lived nuclei

● **Observables:** Larmor frequency

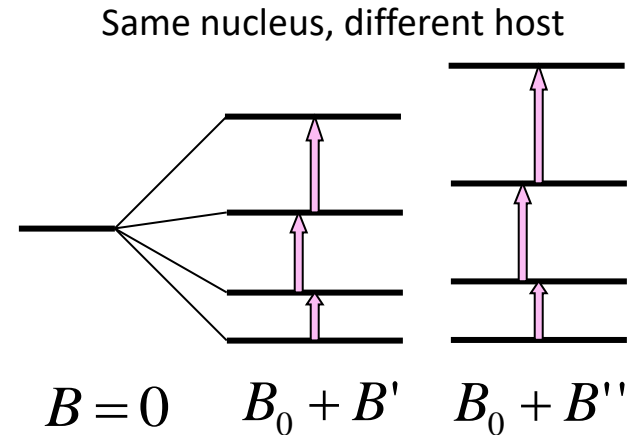
● **Determined properties**

- Magnetic dipole and electric quadrupole moment of the studied nucleus

Depends on nucleus

$$\Delta E_{mag} = |g_I| \cdot \mu_N \cdot B + \frac{1}{2} Q \cdot V_{zz}$$

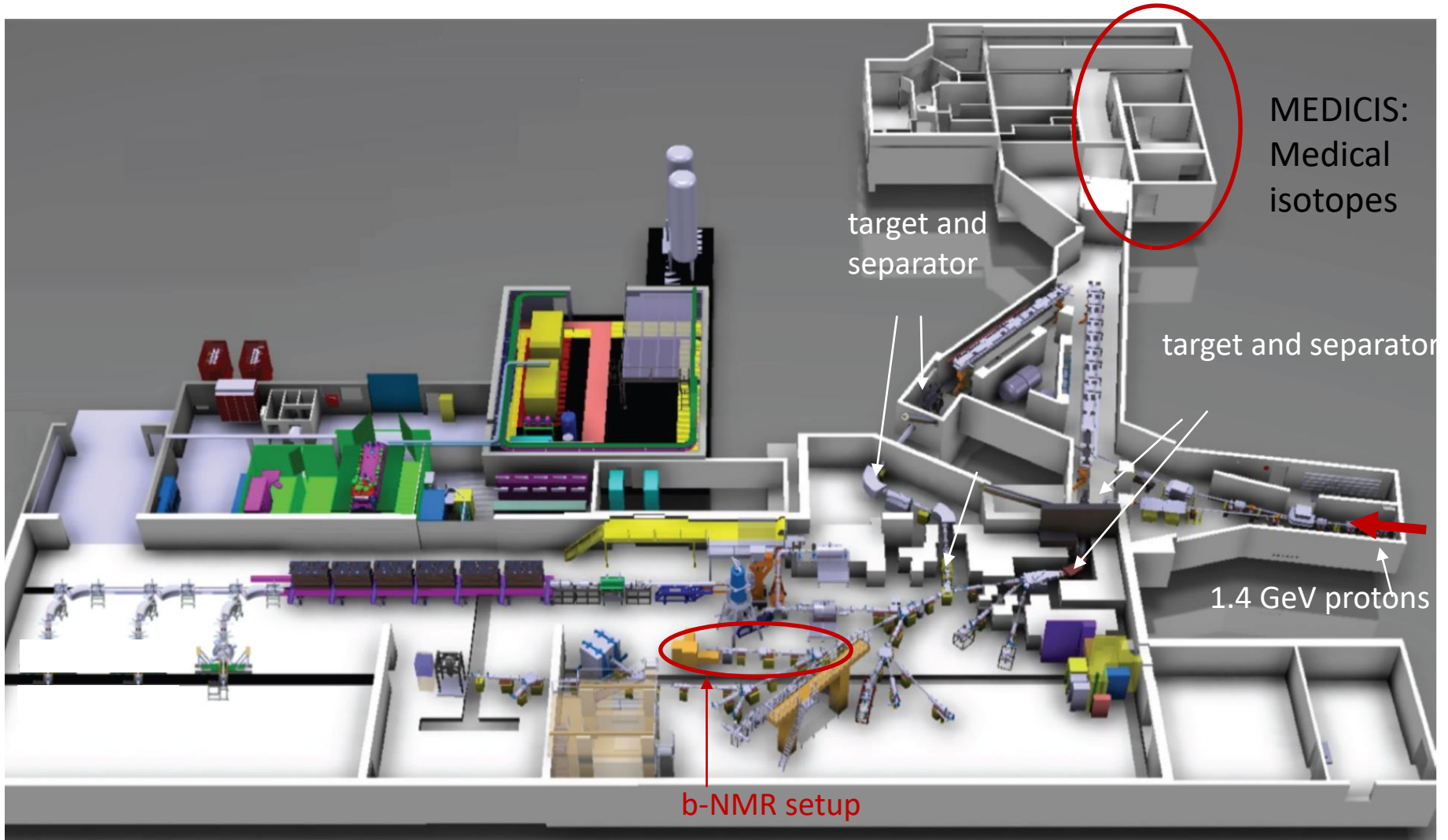
known

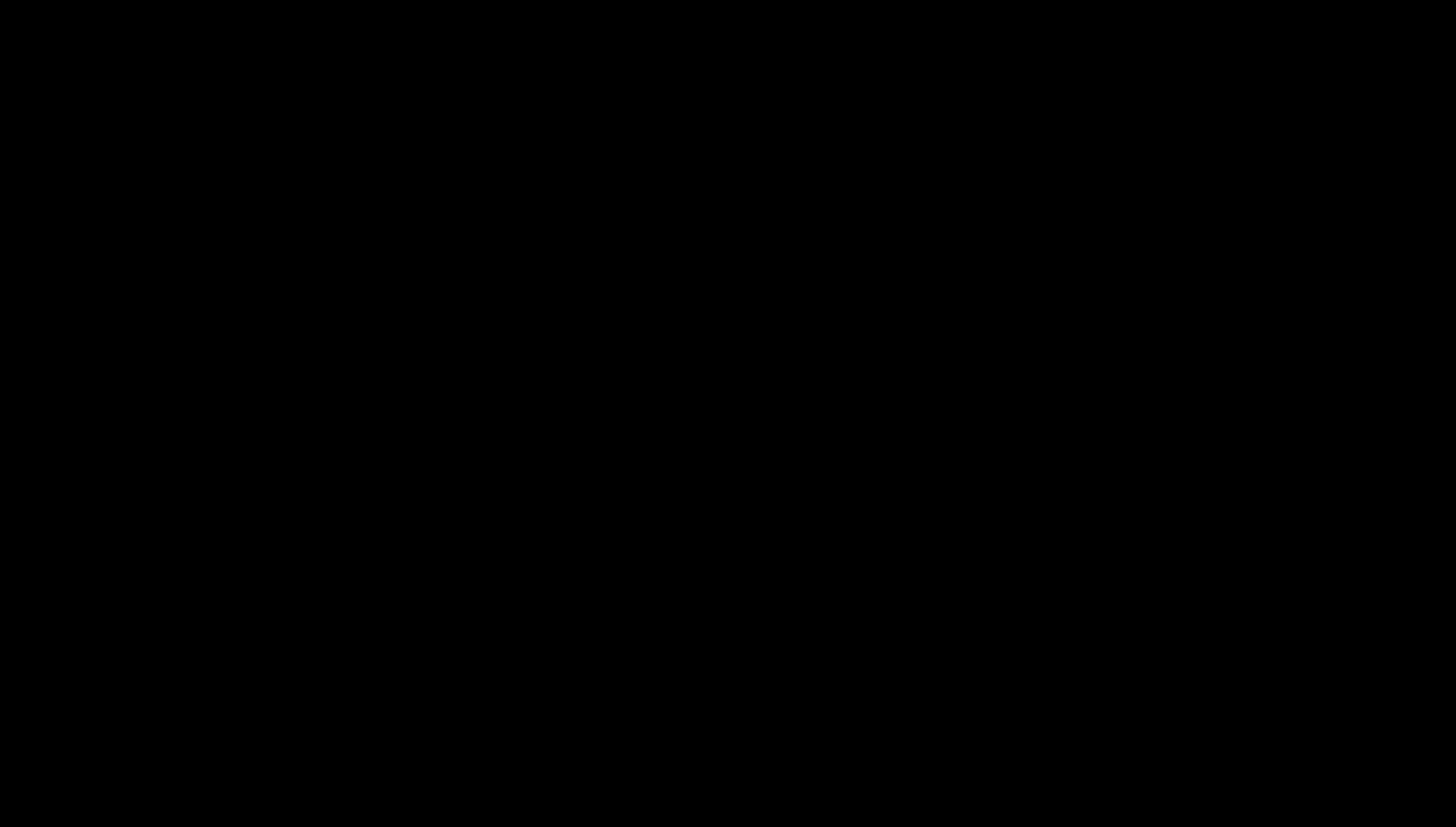


● **Derived information:**

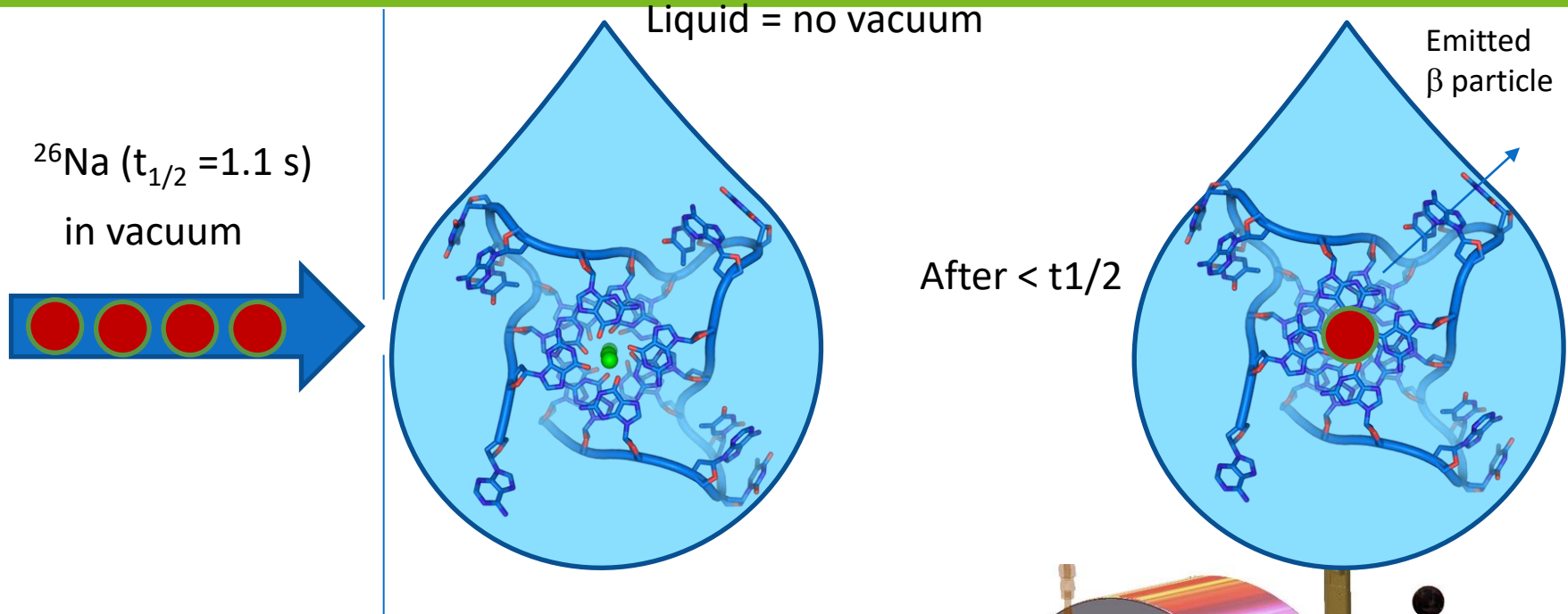
- Magnetic moment – orbitals occupied by valence nucleons
- Quadrupole moment – collective properties

ISOLDE laboratory



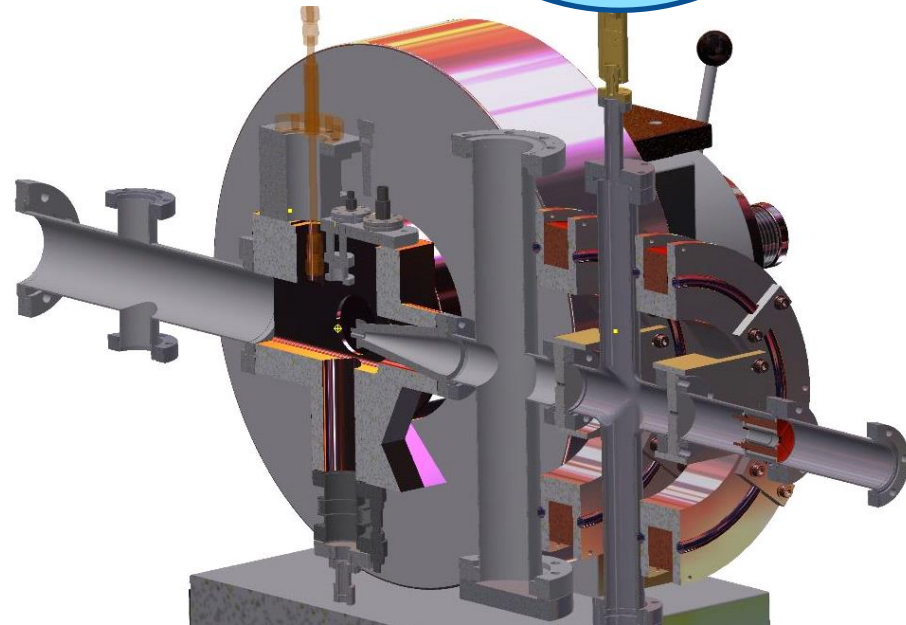


Getting probe nuclei into liquid samples



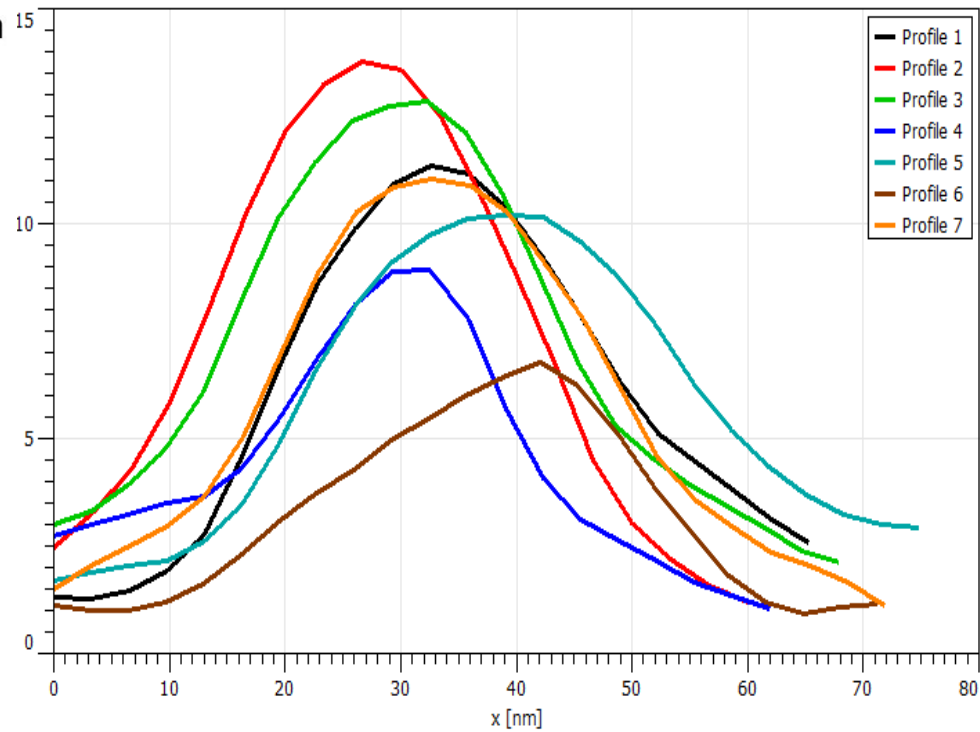
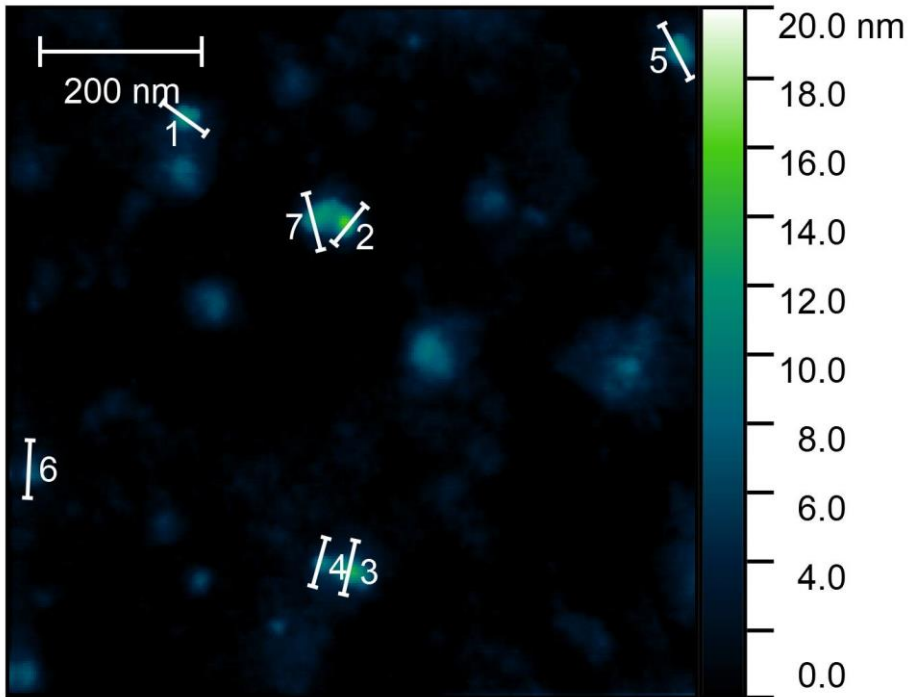
Challenges and constraints:

- Vacuum/liquid interface with little loss in atom beam and polarization
- Binding to biomolecule before decaying -> choose suitable systems to study



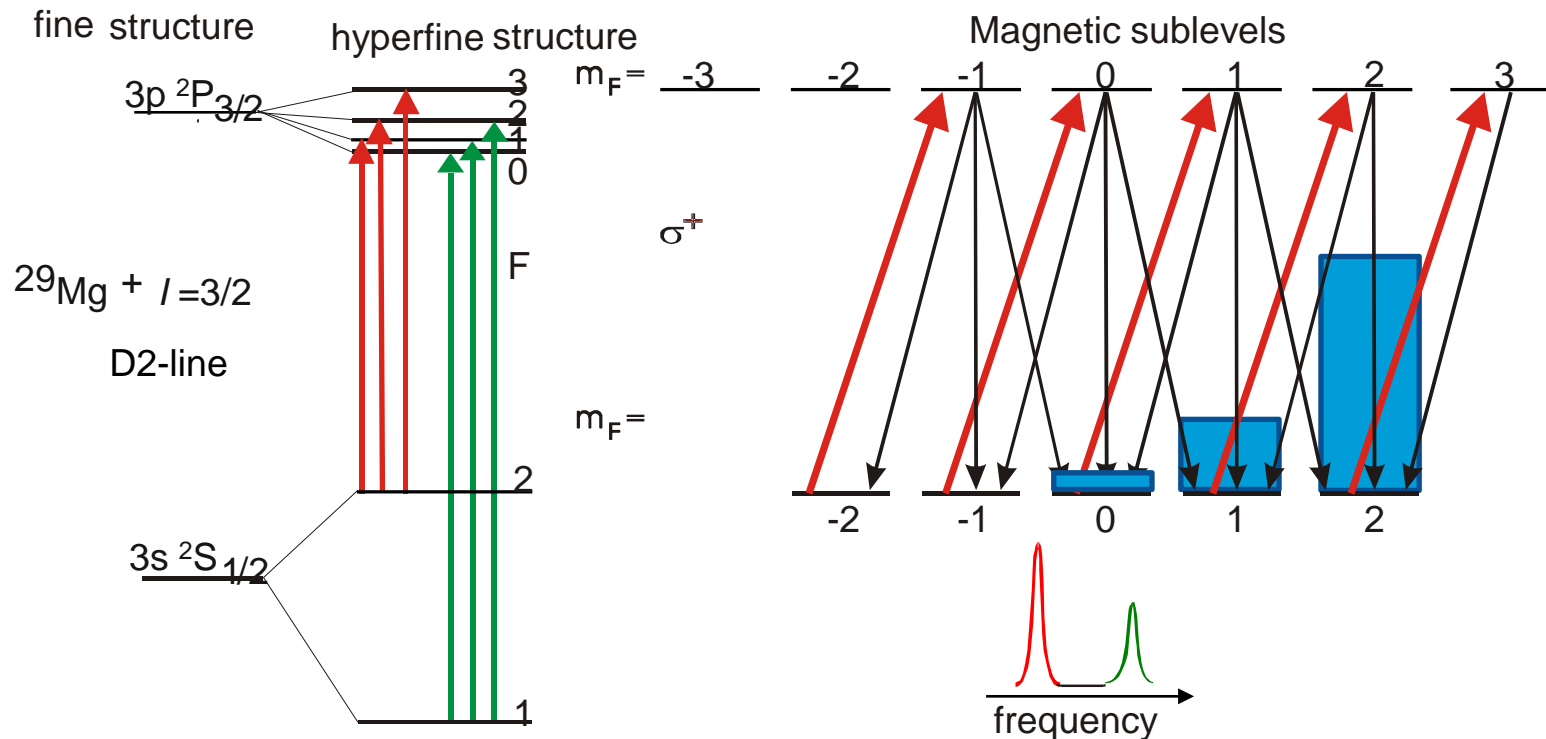
AFM measurements

Folded G4T4G4 in Emim-DCA



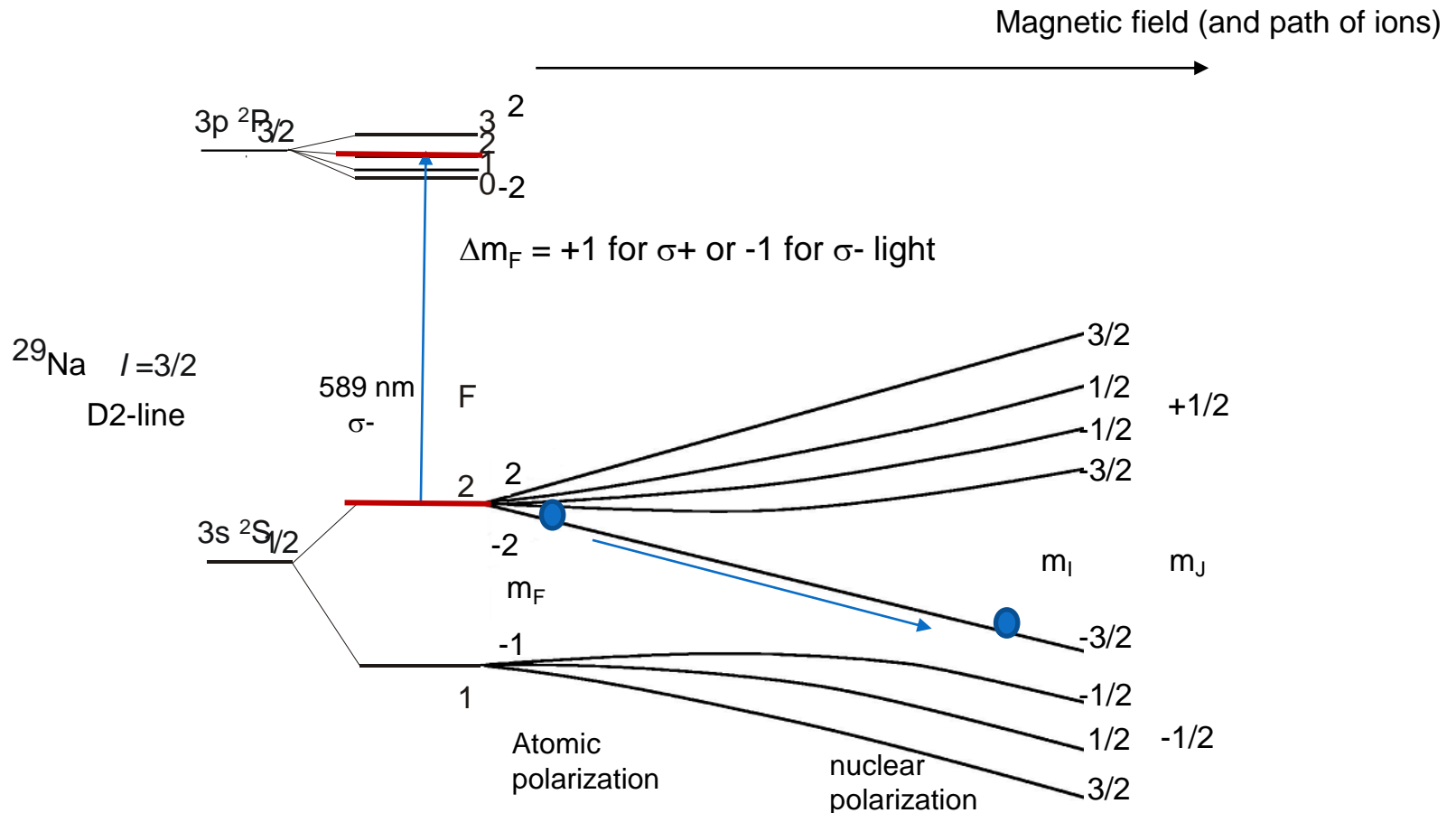
Hyperpolarization via optical pumping

- Multiple excitation cycles with circularly-polarized light
- Photon angular momentum transferred to electrons and then nuclei
 - Works best for 1 valence electron
 - nuclear spin-polarization of 10-90%
 - Polarization buildup time < us



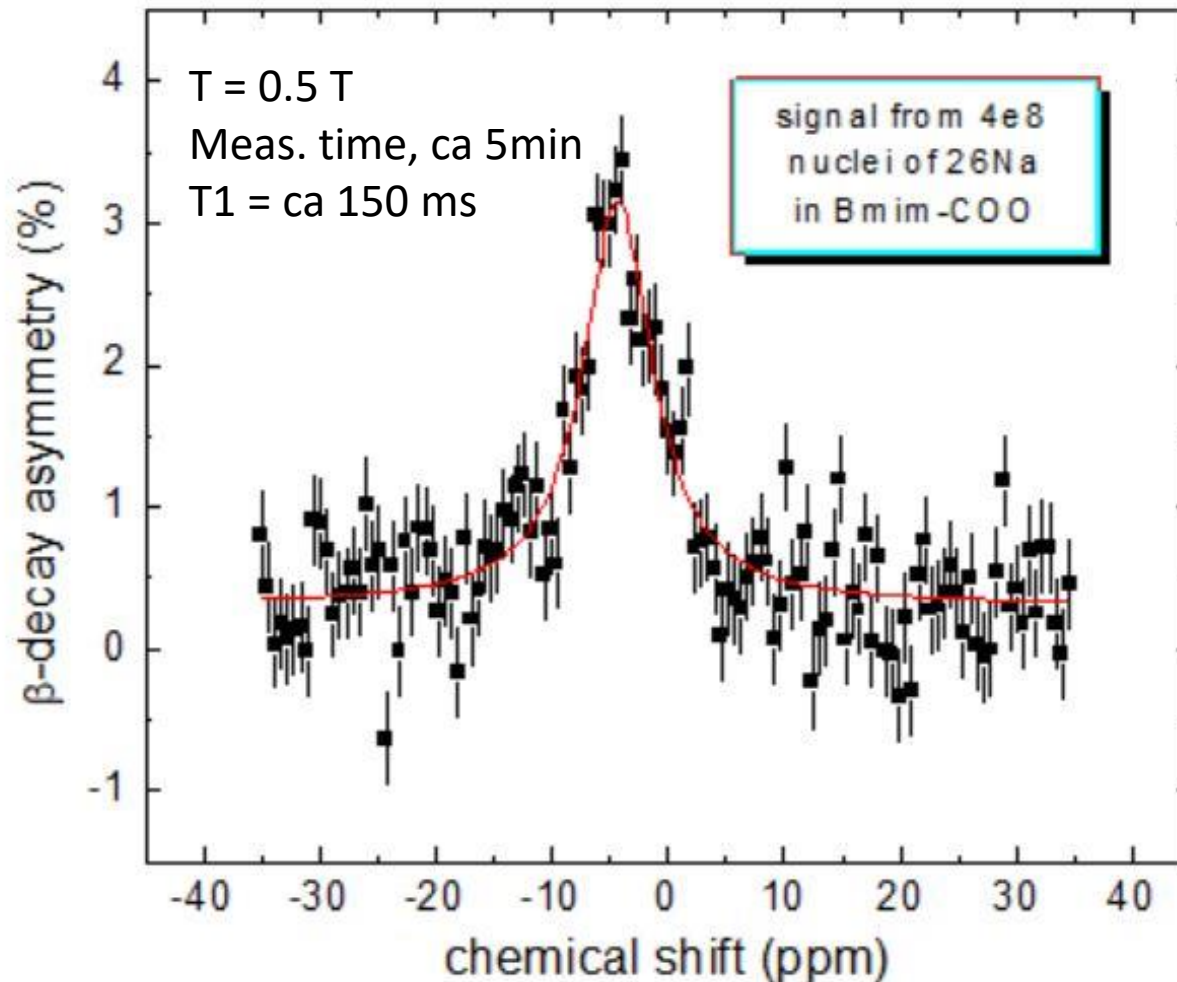
Optical pumping and nuclear spin

- Polarization of atomic spins with circularly polarized laser ($\Delta m_F = +1$ for σ^+ or -1 for σ^- light)
- Resulting polarization of nuclear spins via hyperfine interaction (PF \rightarrow PI):
- Resulting beta-decay asymmetry



First NMR results in liquids

- Dec 2017: First Na beta-NMR signals in liquid hosts compatible with vacuum (ionic liquids)



²⁶Na

T_{1/2} = 1.1 s

I = 3

μ = 2.86 μ_N

Q = - 5 mb

In comparison - ²³Na:

I = 3/2

μ = +2.21 μ_N

Q = 100 mb

(20x larger!)

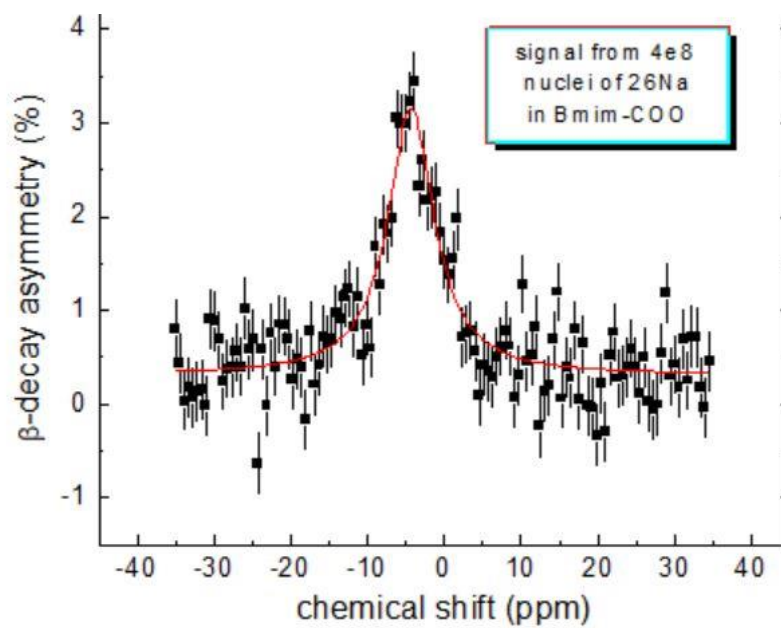
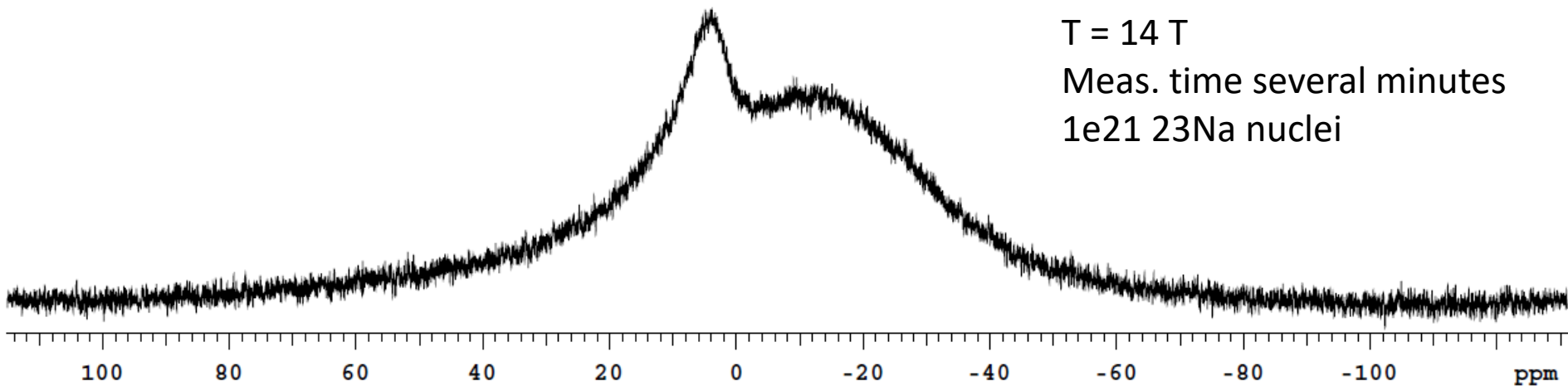
Comparison to conventional NMR

- ^{23}Na spectrum in Bmim-Ac ionic liquid (Bmim-COOH study ongoing)

T = 14 T

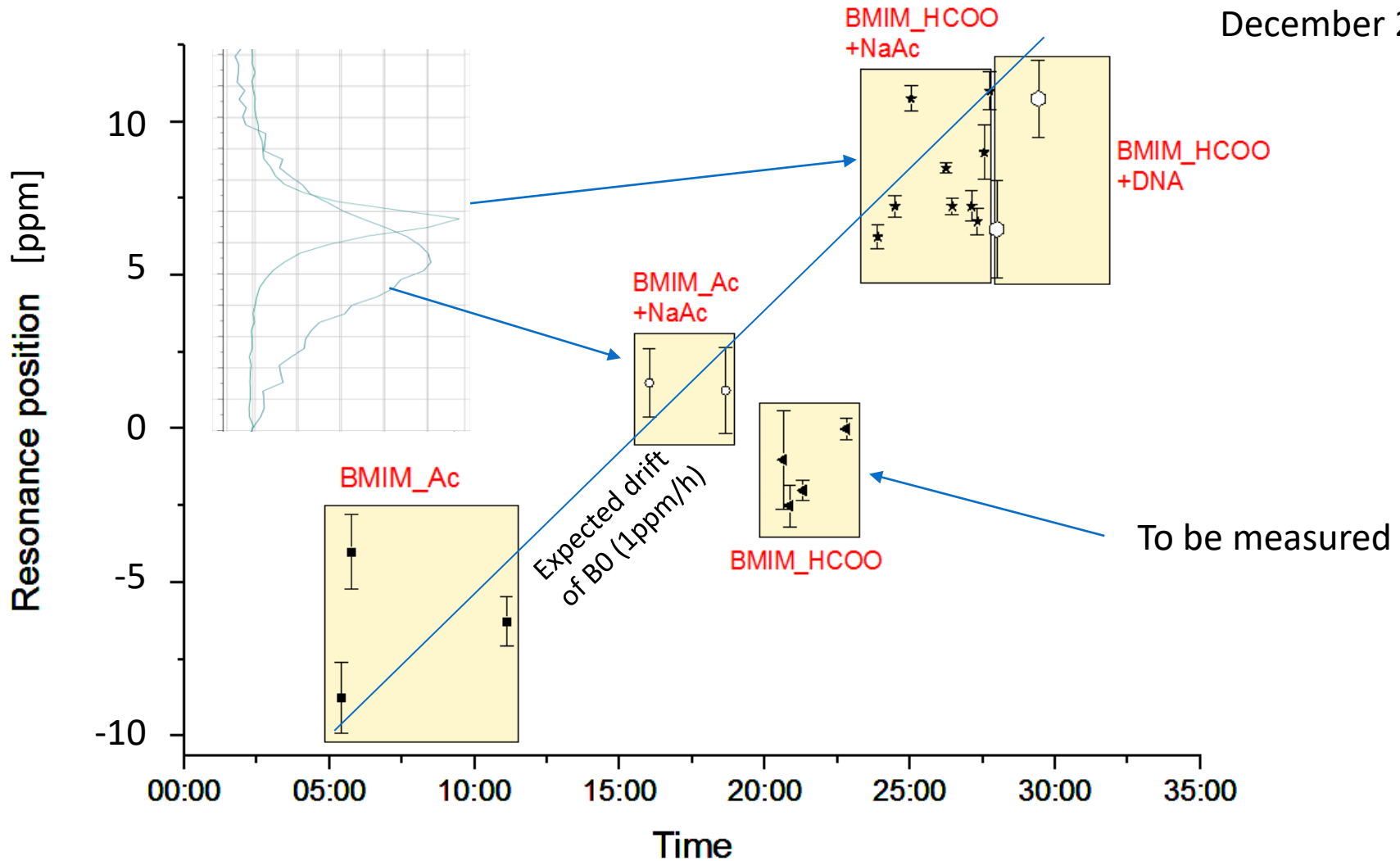
Meas. time several minutes

$1e21$ ^{23}Na nuclei



Latest results

December 2017

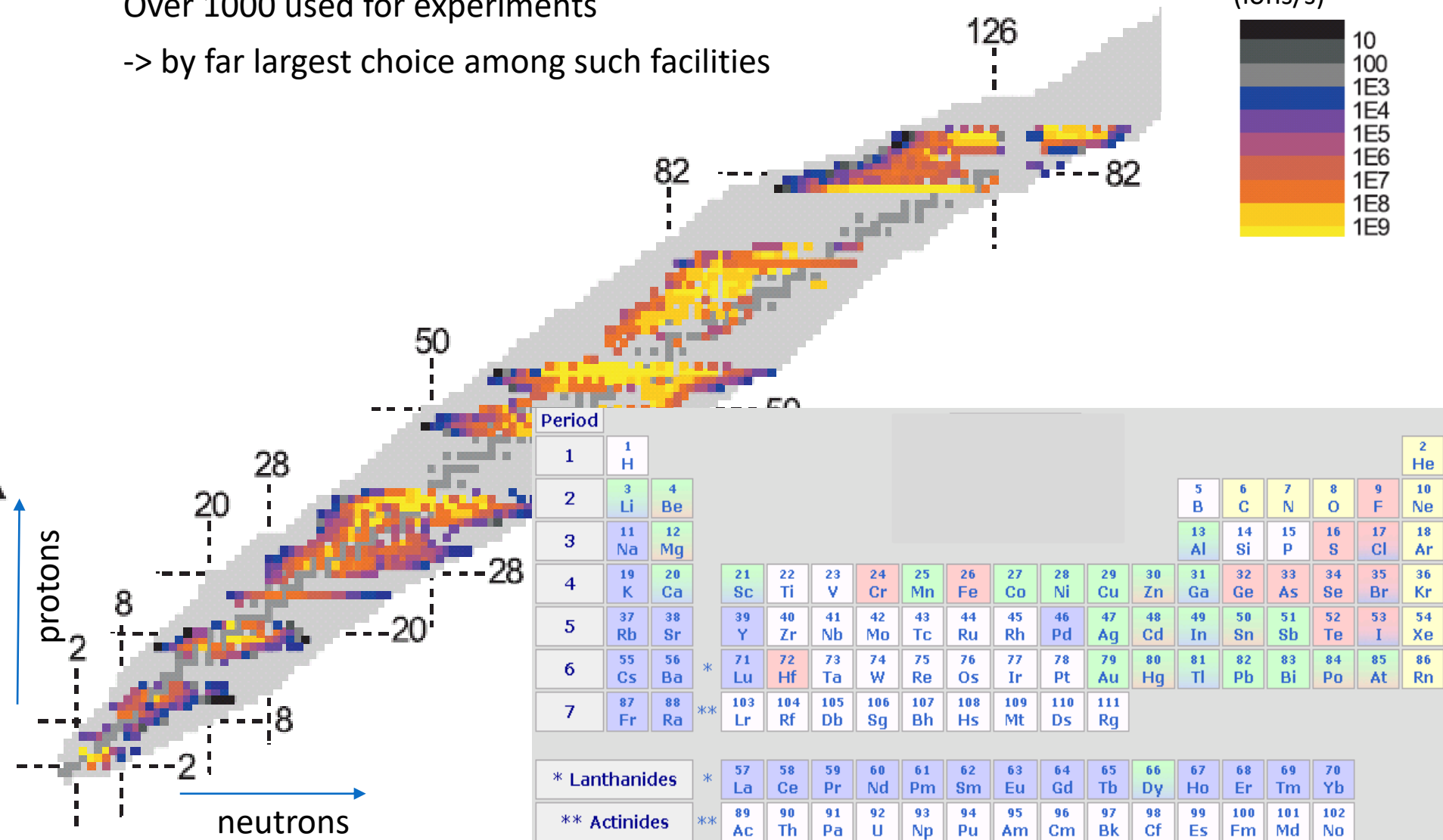
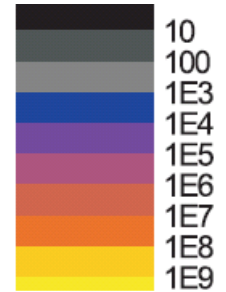


In addition: conventional ^{23}Na studies performed 1.5 weeks ago

ISOLDE radionuclei

Nearly 1300 isotopes available from over 75 chemical elements
 Over 1000 used for experiments
 -> by far largest choice among such facilities

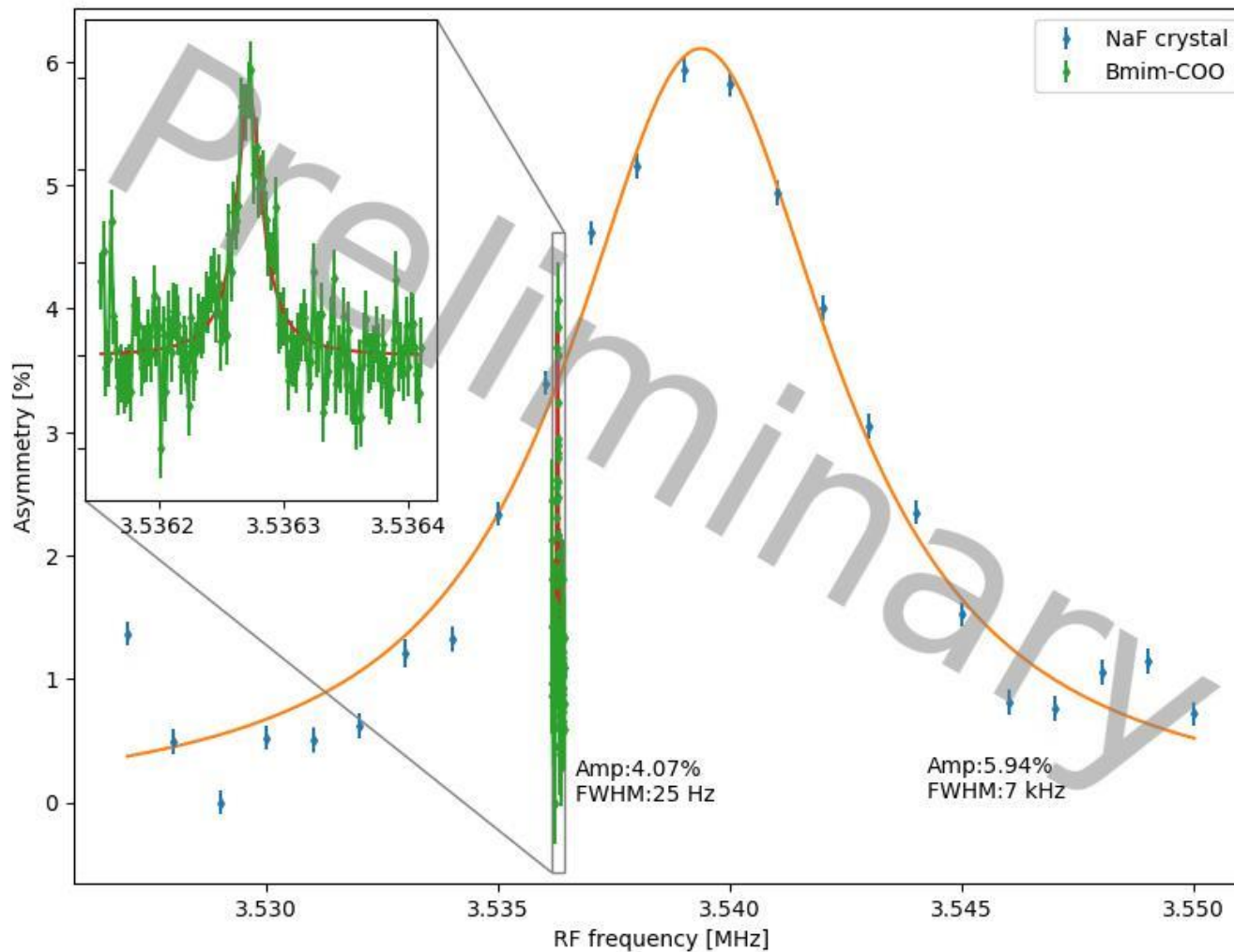
Production
 (ions/s)



Results: First Na beta-NMR in liquids

Solvent: ionic liquids (organic salts liquid at 1e-6 mbar vacuum)

Dec 2017



^{26}Na

$T_{1/2} = 1.1 \text{ s}$

$I = 3$

$\mu = 2.86 \mu_N$

$Q = -5 \text{ mb}$

(20x smaller than ^{23}Na)

Resonance much narrower than in solid samples used for nuclear physics

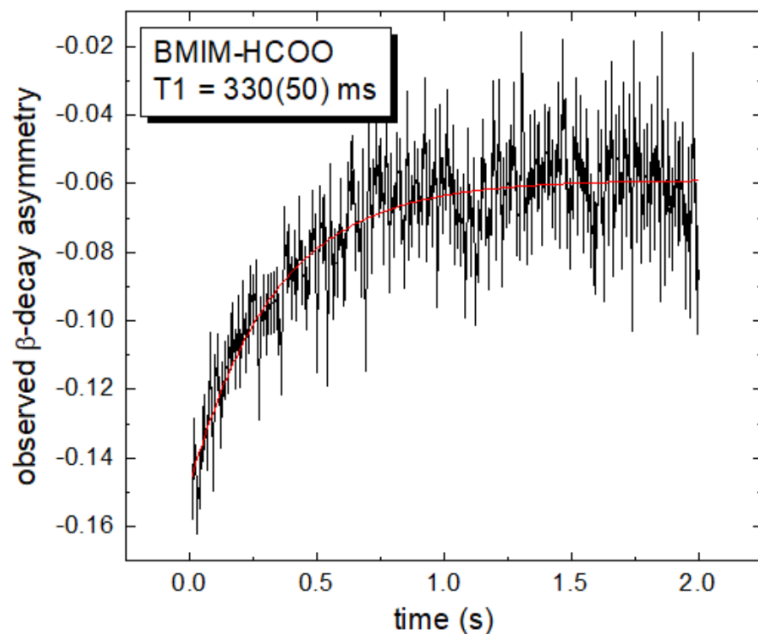
Conventional ^{23}Na NMR vs ^{26}Na beta-NMR

^{23}Na NMR
in BMIM-HCOO

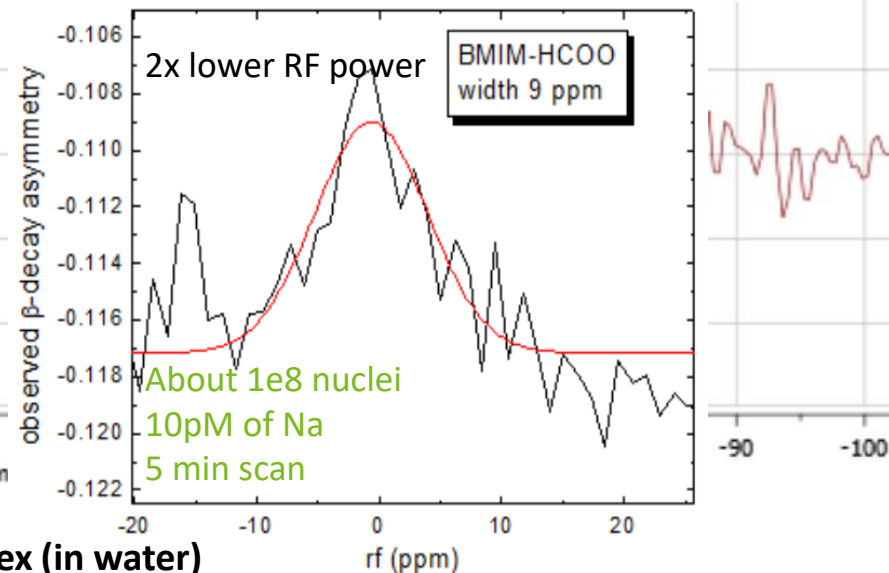
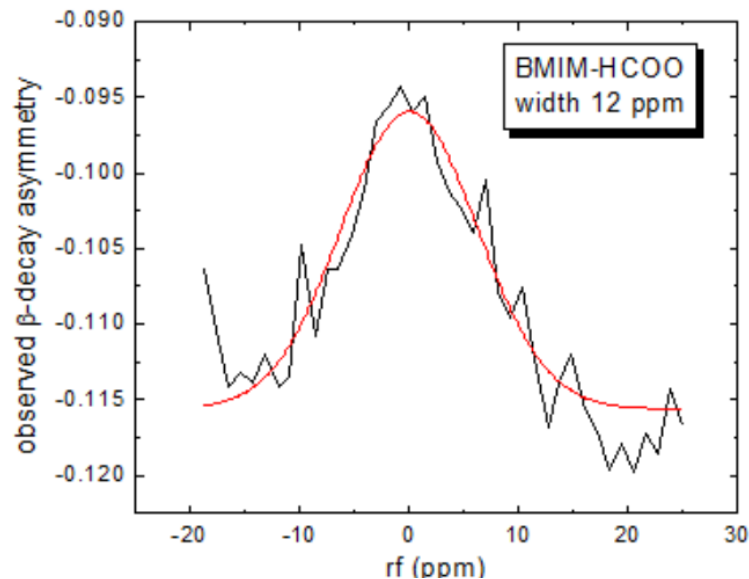
0.3M of Na^+

4×10^{22} nuclei

15 scans (2 s each)



^{26}Na beta-NMR, December 2017, May 2018



Comparable resonance width to ^{23}Na NMR

Can resolve 20 ppm shifts expected for G-quadruplex (in water)

Asymmetry in beta-particle emission

Angular distribution of beta-radiation:

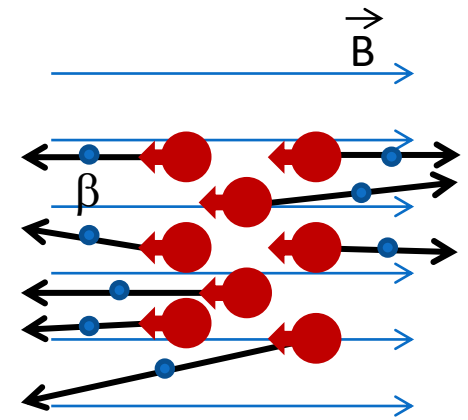
Velocity of beta-particle (v/c close to 1)

Angle between beta-particle emission and direction of spin polarization

$$D(\theta) = 1 + a \frac{v}{c} \frac{\langle L_z \rangle}{I} \cos(\theta)$$

Asymmetry factor $(-1,1)$, depends on details of beta decay

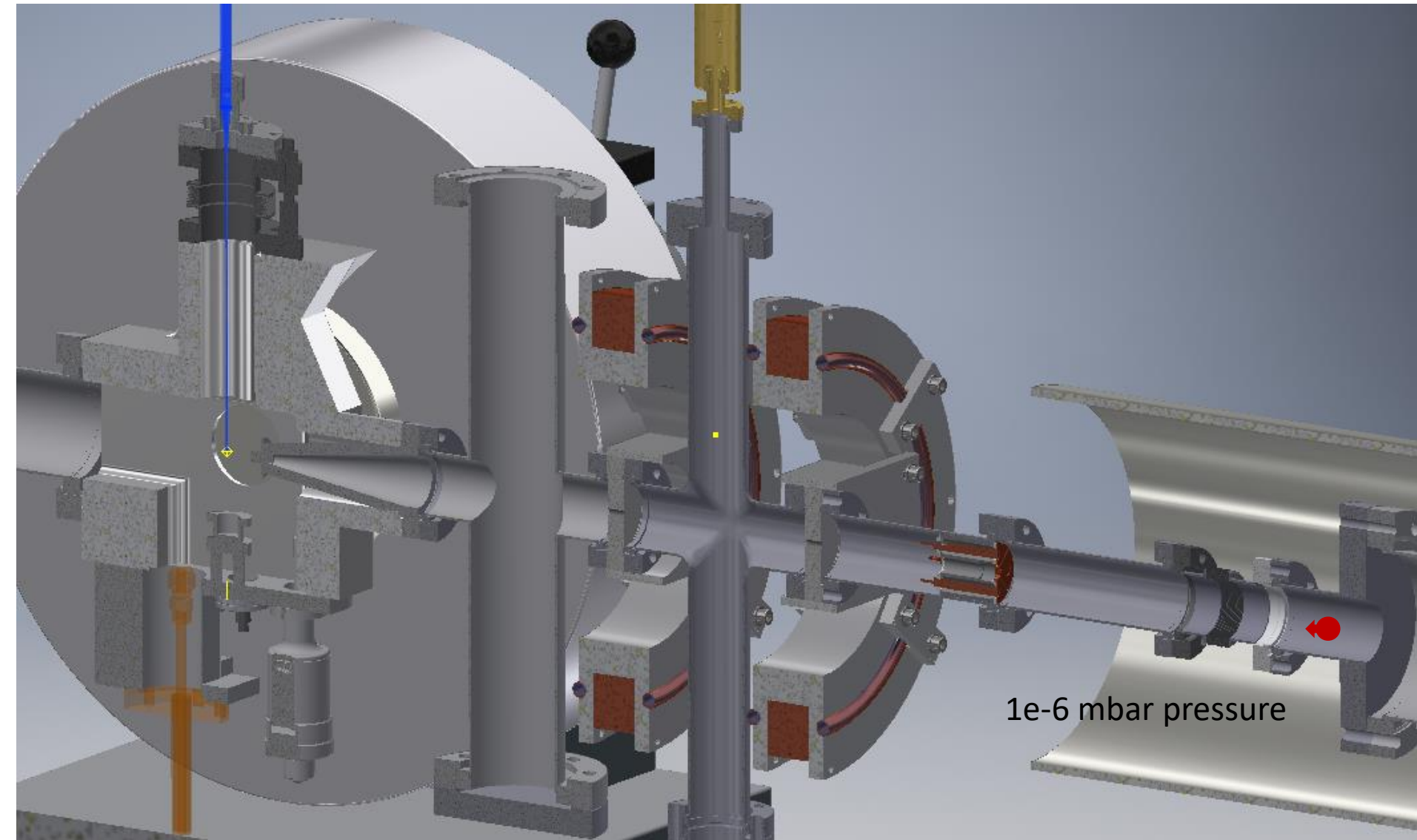
PI (0-100%): degree of spin polarization



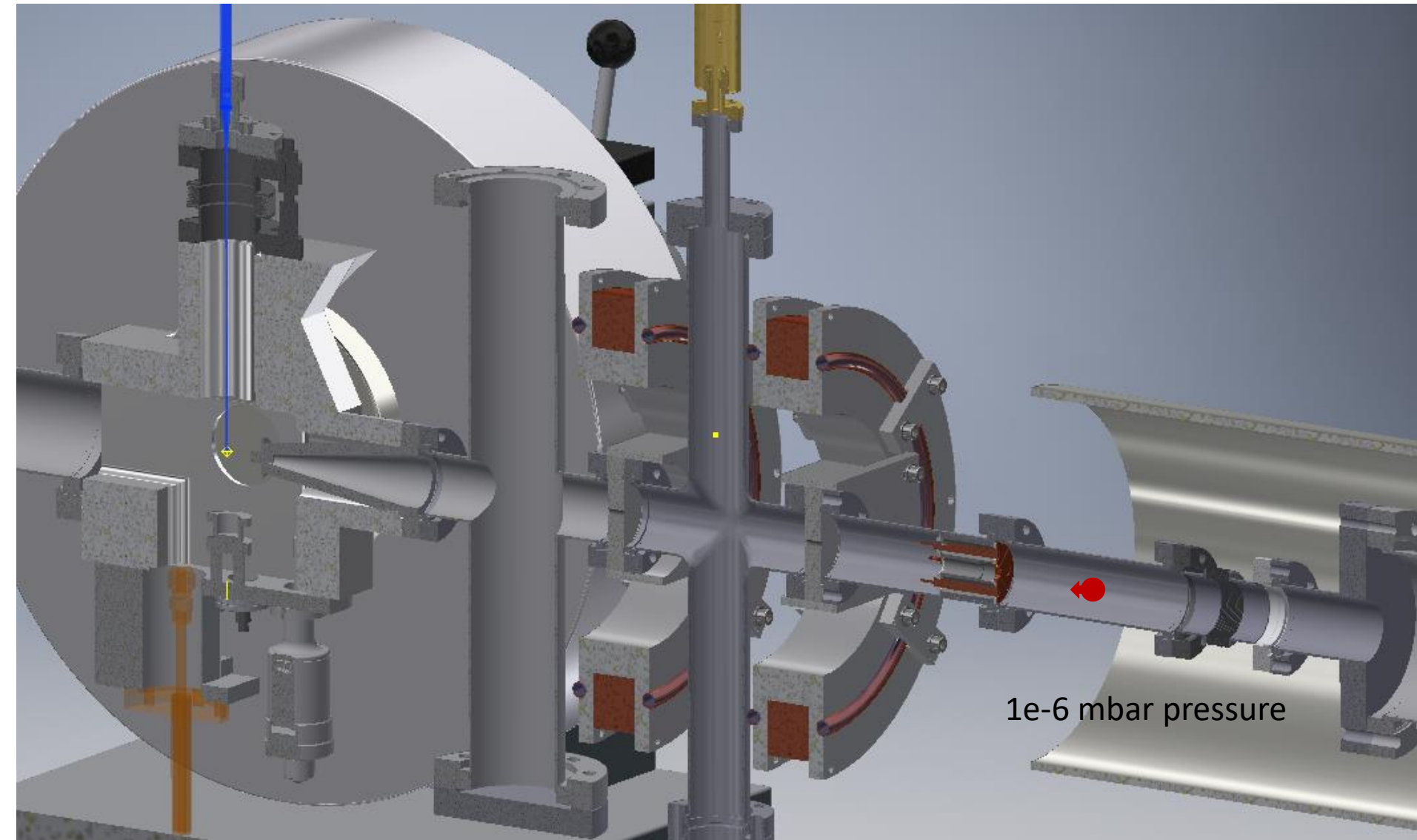
Asymmetry factor for β -decay:

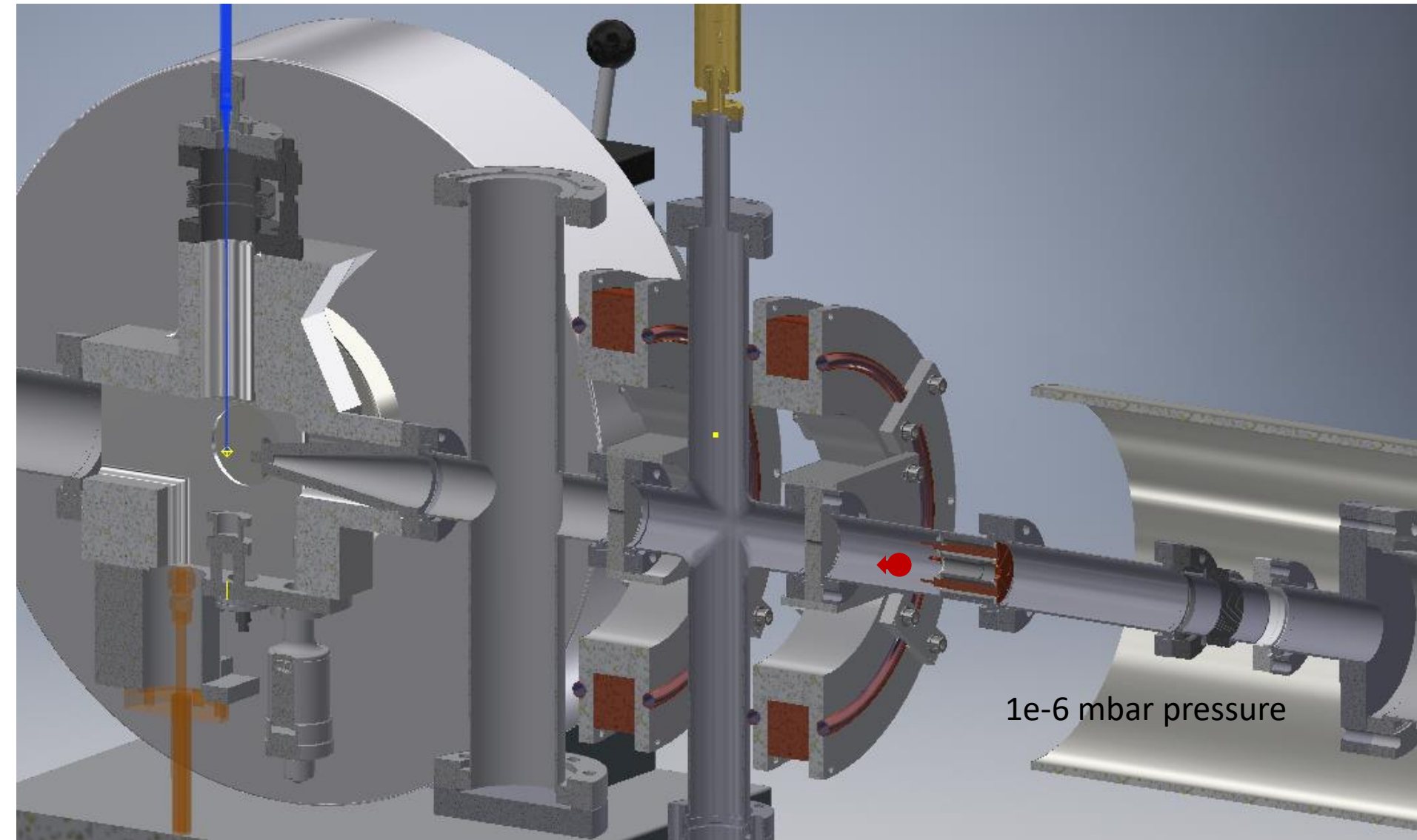
- 1 for $\Delta l = -1$
- $l_i / (l_i + 1)$ for $\Delta l = +1$
- $-l_i / (l_i + 1)$ for $\Delta l = 0$ (Gamow Teller)
- 0 for $\Delta l = 0$ (Fermi)

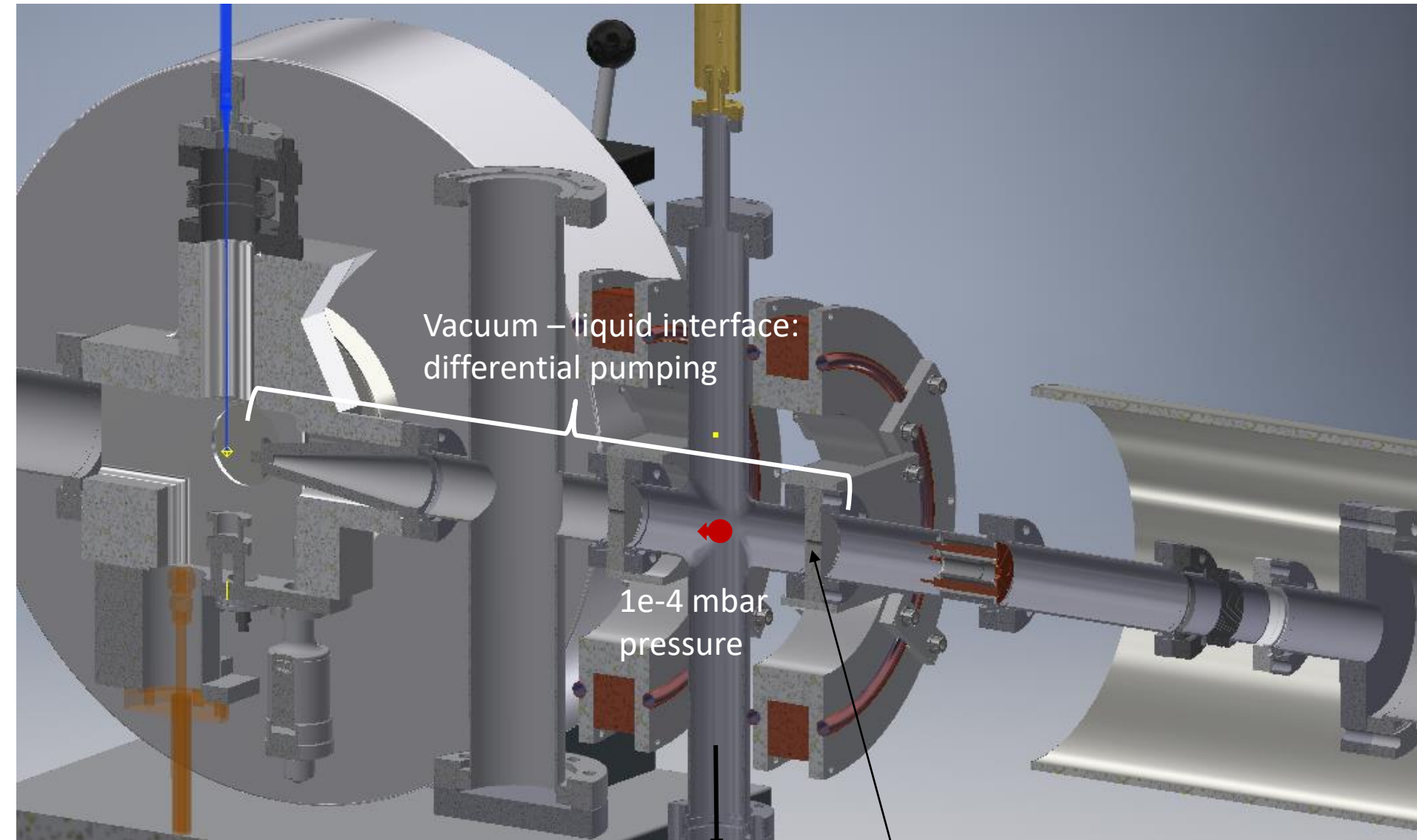
Measured β -decay asymmetry:
$$A = \frac{N(0^\circ) - N(180^\circ)}{N(0^\circ) + N(180^\circ)} = \frac{N_1 - N_2}{N_1 + N_2}$$



1e-6 mbar pressure

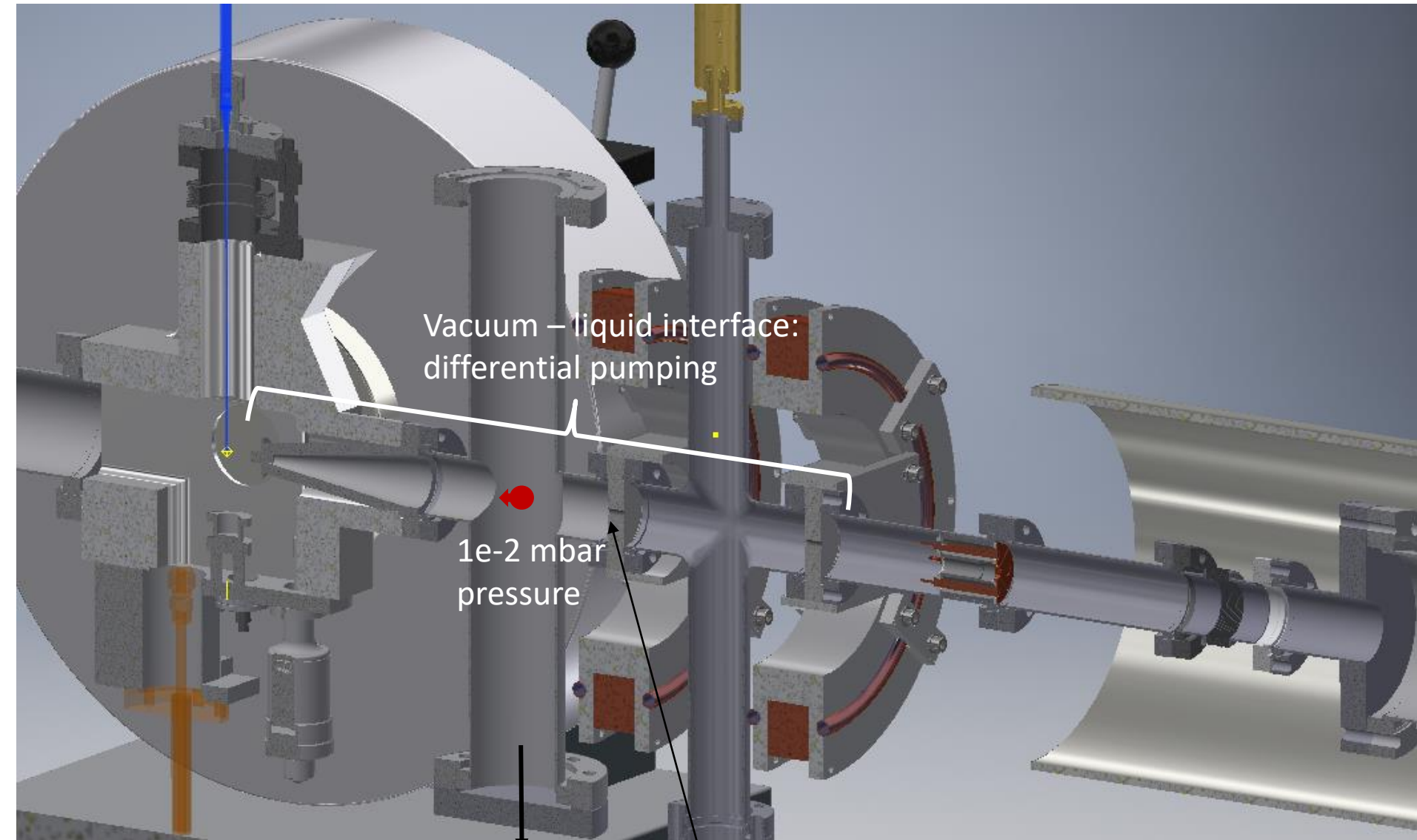






to vacuum pump

3 mm opening

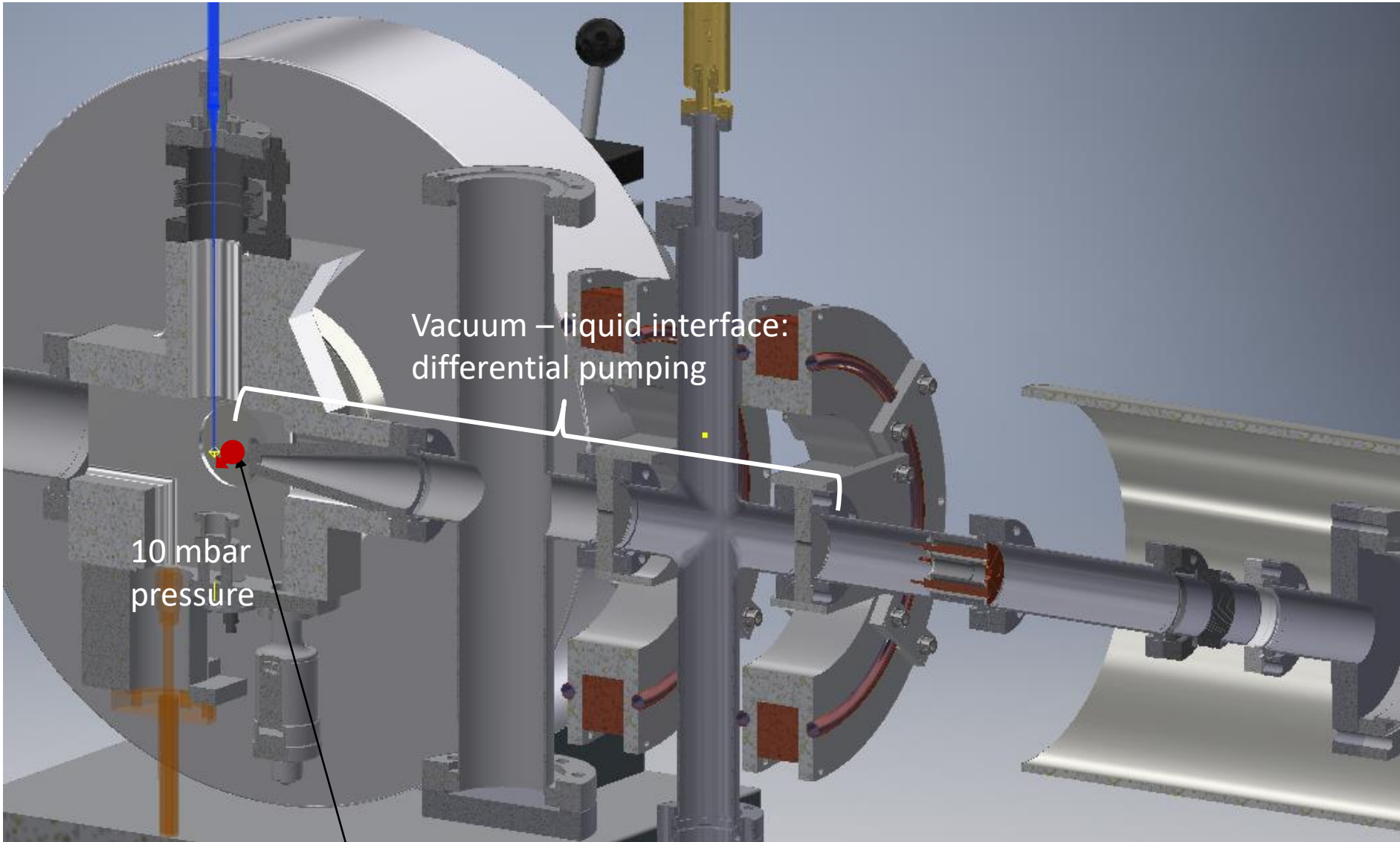


Vacuum – liquid interface:
differential pumping

$1e-2$ mbar
pressure

to vacuum pump

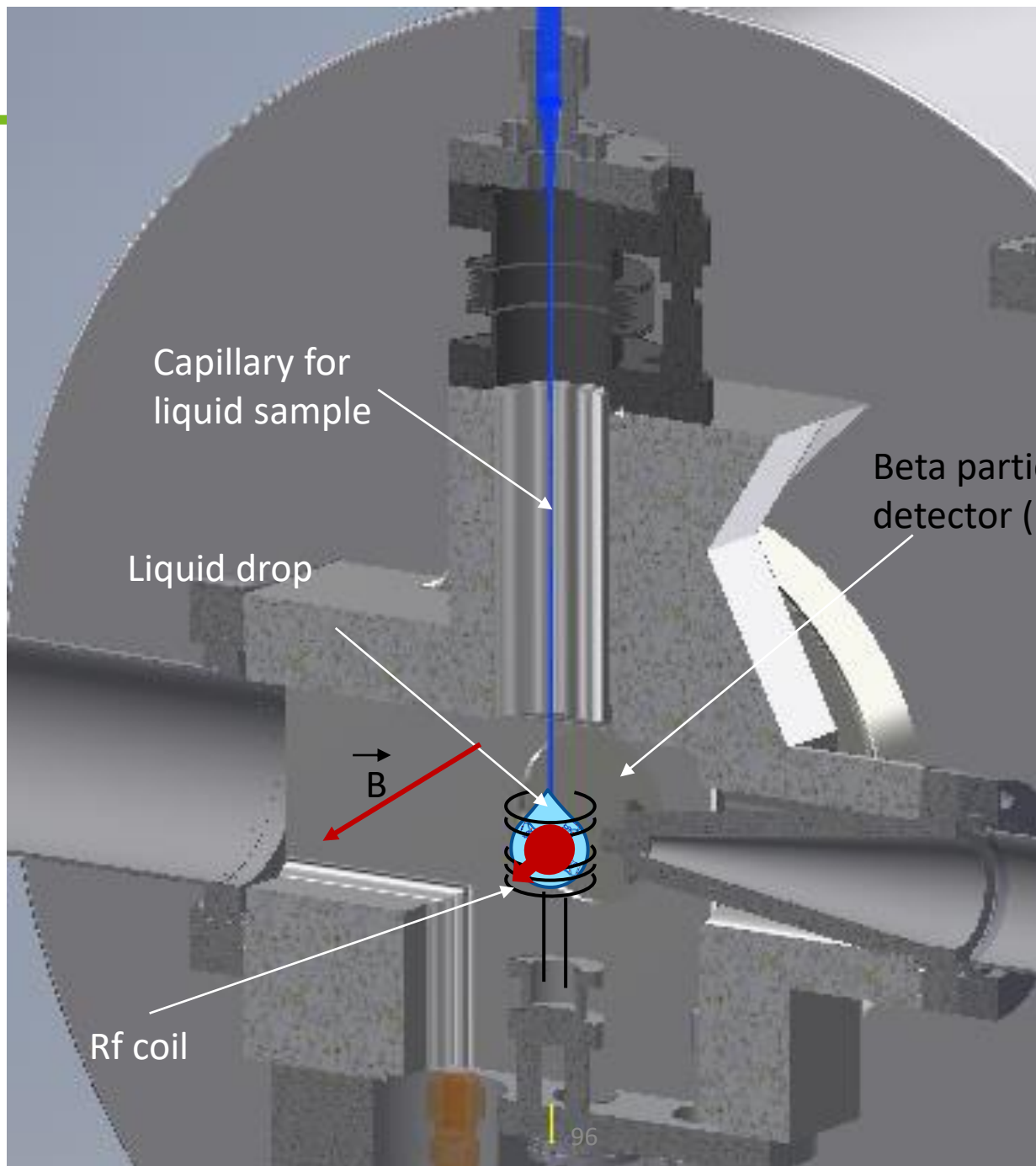
3 mm opening

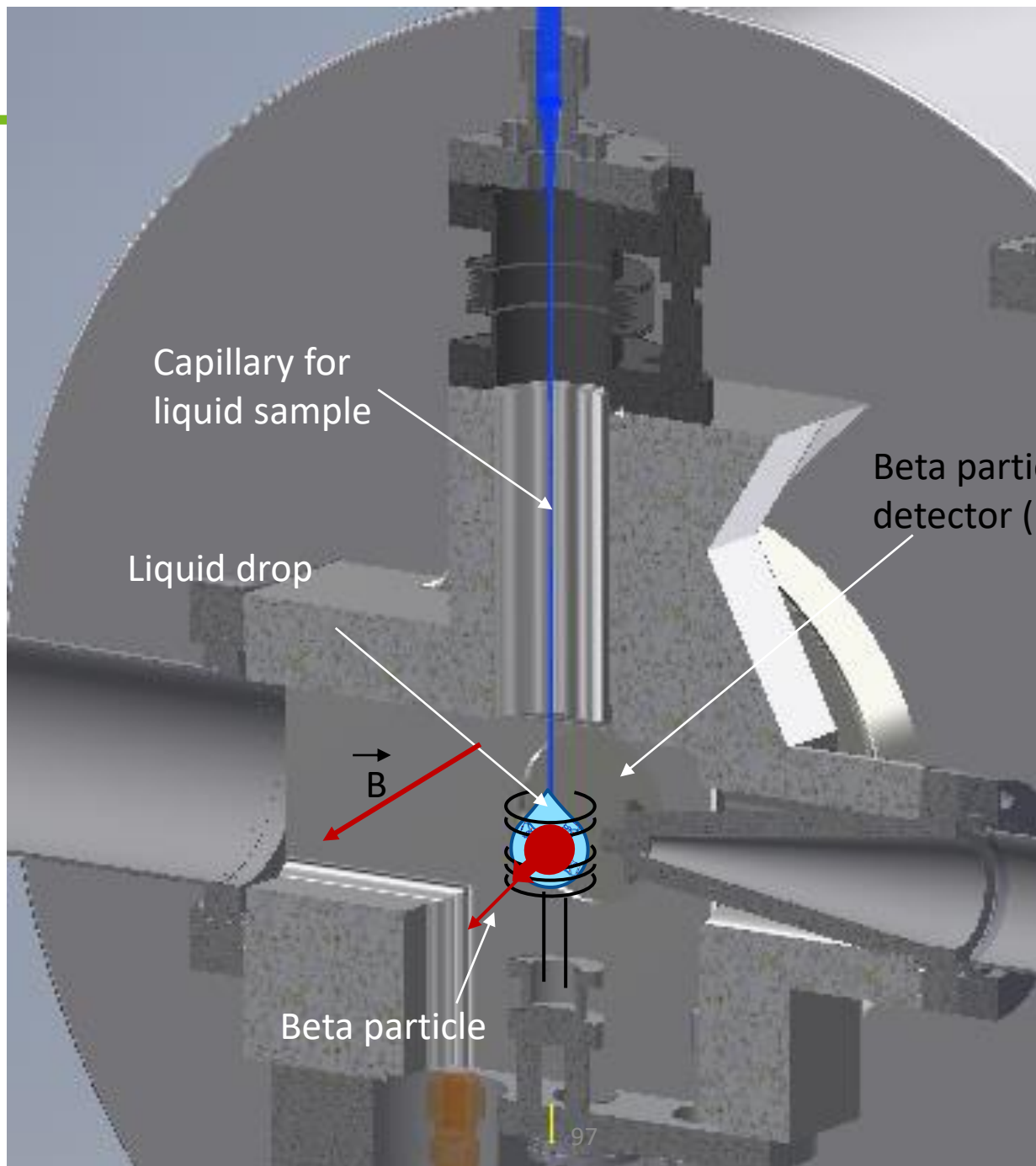


Vacuum – liquid interface:
differential pumping

10 mbar
pressure

3 mm opening

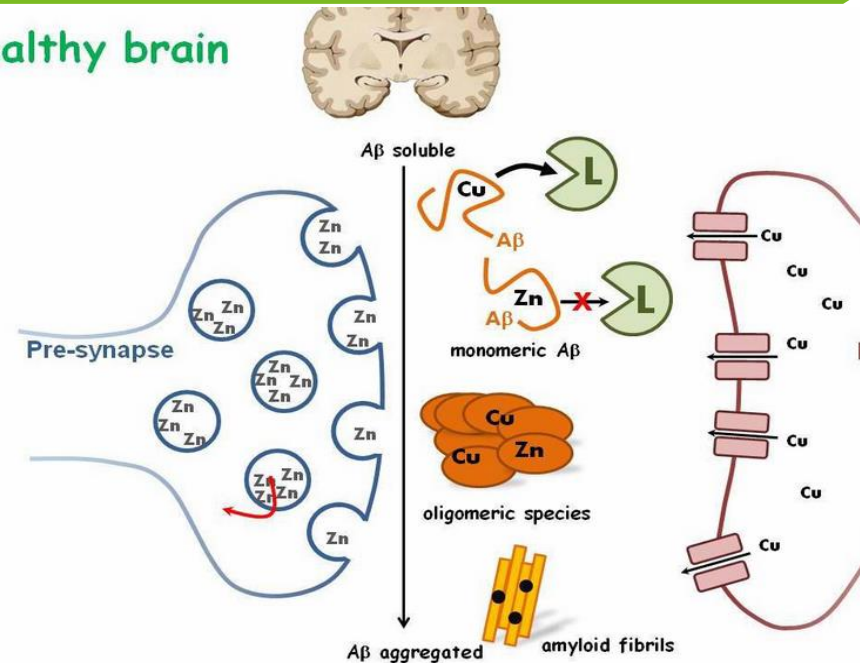




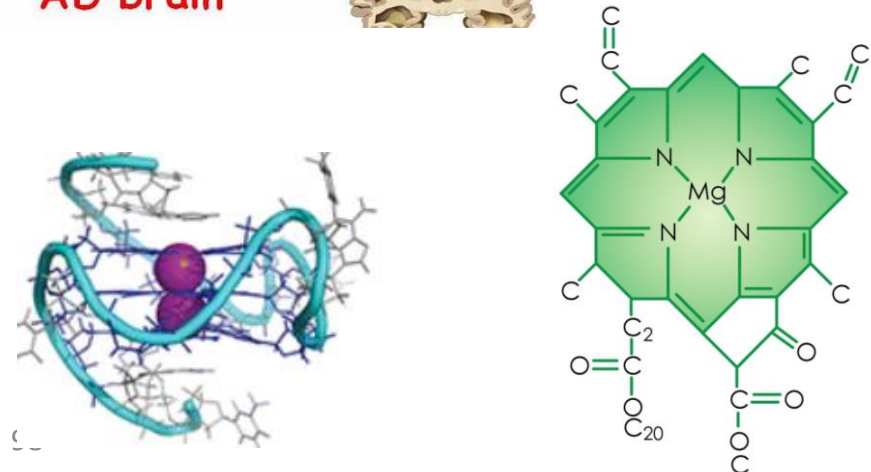
Studying metal ions in biology

- Role of metal ions in human body depends on adopted coordination environment
- Right concentration crucial for correct functioning of cellular processes
 - Na, K: transport of sugars and amino acids into cells; regulate flow of water across membranes
 - Mg: RNA- and DNA-processing enzymes and ribozymes
 - Cu: present in many enzymes involved in electron transfer and activation of oxygen
 - Zn: 2nd most abundant trace element in human body; catalytic and structural role, regulation of genetic message transcription and translation

healthy brain



AD brain



Probe nuclei

Already polarized at ISOLDE

Nucleus	half-life	spin	magn mom (μ_N)	quadr mom (mb)	beta asym
8Li	0.84 s	2	1.65	31	5%
9Li	0.18 s	3/2	3.44	-31	
11Be	13.8	1/2	-1.68	0	1%
26Na	1.1 s	3	2.86	-5	30%
27Na	0.3 s	5/2	3.89	-7	30%
28Na	30 ms	1	2.43	40	40%
29Mg	1.2 s	3/2	0.98	160	3%
31Mg	0.25 s	1/2	-0.88	0	8%

Feasible and planned soon

Nucleus	half-life	Nuclear spin	magn mom (μ_N)	Quadr mom (mb)
37K	1.2 s	3/2	+0.20	
49K	1.3 s	1/2	+1.34	0
39Ca	0.8 s	3/2	1.02	+38
51Ca	0.36 s	3/2	-1.05	+36
58Cu	3.2 s	1	0.57	-150
74Cu	1.6 s	2	-1.07	260
75Cu	1.2 s	5/2	1.01	-270
75Zn	10 s	7/2		
75mZn	5 s	1/2		0
77Zn	2 s	7/2		
77mZn	1.1 s	1/2		0